

وزارة التعليم والبحث العلمي
MINISTERE DE L'ENSEIGNEMENT ET DE LA RECHERCHE SCIENTIFIQUE

lex

ECOLE NATIONALE POLYTECHNIQUE

DEPARTEMENT GÉNIE CIVIL

المدرسة الوطنية المتعددة التقنيات
BIBLIOTHEQUE —
المكتبة —
Ecole Nationale Polytechnique

PROJET DE FIN D'ETUDES

S U J E T

PONT BIAIS A POUTRES

MULTIPLES EN B.P.E.L

Proposé par :

E.N.G.O.A.

Etudié par :

M. SID

N. BELMAHDI

Dirigé par :

M^r ZOUKH

PROMOTION : JUIN 1986

DEDICACES

A mes chers parents
A mes frères et sœurs
A ma grand-mère
A Mohamed.
A tous mes amis.

Nadia

6
7
8
9

A mes chers parents
A mes frères et sœurs
A tous mes amis (eo)

Mohamed

REMERCIEMENTS

Que tous, ceux qui ont contribué de près ou de loin à l'élaboration de ce projet et particulièrement Nosse promoteurs M^E ZOUKHT enseignant à l'école nationale polytechnique, M^E KHODJA et KHALDI ingénieurs à l'E.N.G.O.A, trouvent ici nos vifs remerciements.

BELMAHDI
NADIA

SID
MOHAMED

SOMMAIRE

I Introduction.....	1-
Caractéristiques des matériaux utilisés	1-
II Caractéristiques géométriques des poutres	3-
III Charges et surcharges	5-
IV Calcul des coefficients de majoration dynamique	7-
V Calcul des efforts dans le poutre sous charges et surcharges	9-
VI Etude de la répartition transversale	12-
VII Etude de la torsion	13-
VIII Calcul aux états limites de service	25
- Etude de la précontrainte des poutres	26-
- Pertes et chutes de tension	30-
- Vérifications des contraintes normales	35-
- Ferrailage passif longitudinal	38-
- Vérification des contraintes tangentes	39-
IX Calcul aux états limites ultimes	43-
- justification de la résistance vis à vis des contraintes normales	
- justification de la résistance vis à vis des sollicitations tangentes	46-
X Etude de la zone d'about	47-
XI Etude du Platelage	48-
XII Calcul des déformations	56-
XIII Calcul des appareils d'appui	58-
XIV Répartition des efforts horizontaux par l'infrastructure	59-
XV Vérification des appareils d'appui	61-
XVI Etude de la culée	62-
XVII Calcul des fondations	70-
BIBLIOGRAPHIE	75

I - INTRODUCTION

L'ouvrage d'art faisant l'objet de notre projet de fin d'étude est un pont liaison (66,66 gr) à poutre multiple en béton précontraint et sera implanté entre BEN-AKNOUN et ZERALDA.

Le pont est constitué d'une trave unique de 34 m de long et 12,75 m de largeur totale et comporte :

4 voies de circulation de 3,50 m de large chacune

2 bandes de guidage de 0,50 m de part et d'autre de la chaussée.

2 trottoirs de 1,625 m de largeur chacun.

Caractéristiques du pont :

Tablier : le tablier est constitué par :

Un plancher formé d'un hourdis de 20 cm d'épaisseur revêtu d'une couche d'asphalte et d'une couche d'étanchéité d'épaisseur totale 8 cm. L'hourdis étant coulé sur place, il est prévu de barrer l'amorce latérale du tablier sur la table de la poutre pour la liaison poutre-table.

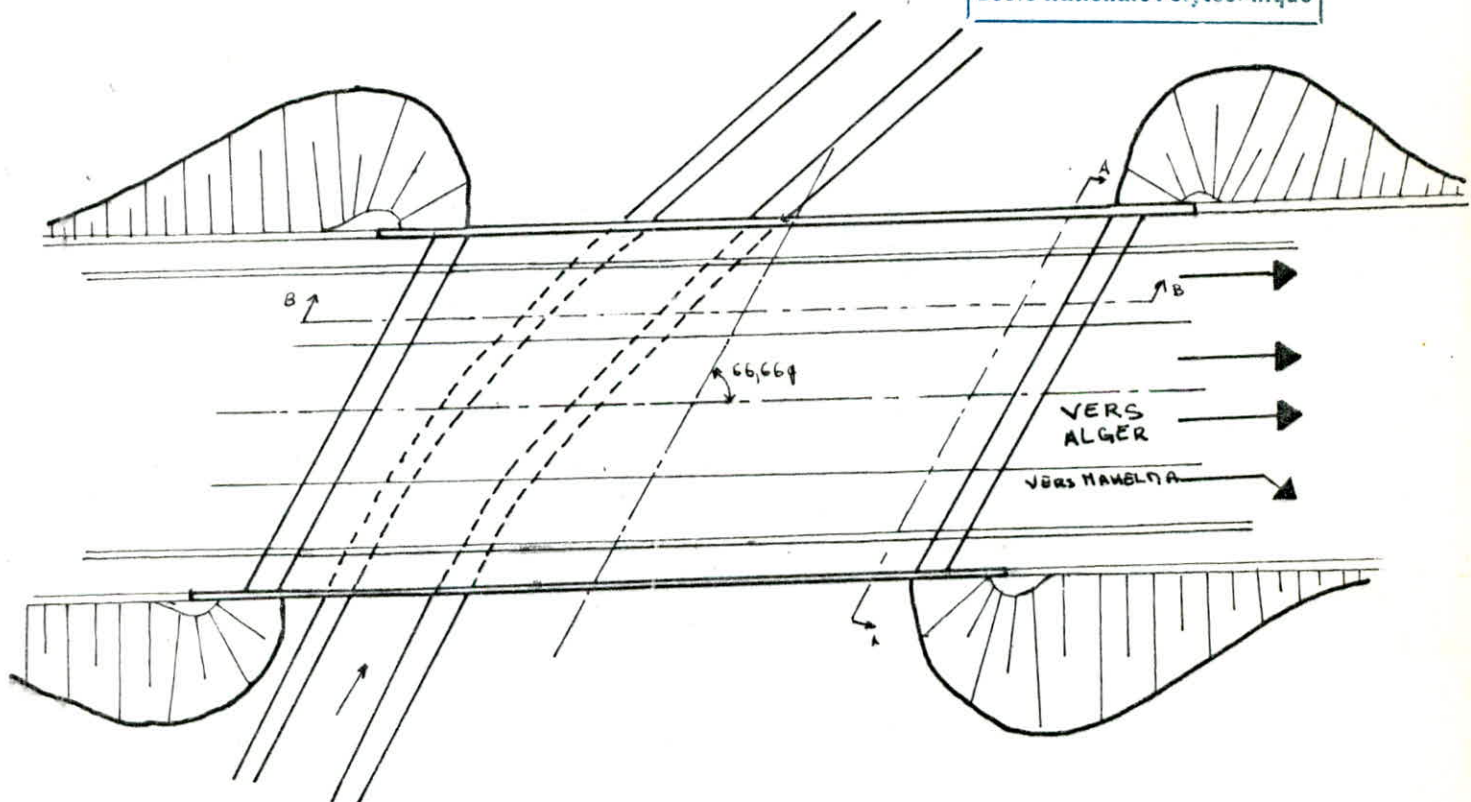
Poutre ou poutre-pont : constitué le support du plancher et se compose de 13 poutres préfabriquées en béton précontraint d'entre axe 1,435 m.

Les appareils d'appuis sont des plaques en élastomère fretté du type GUMBEL fixés sur les dis d'appui en béton armé.

Culée : élément essentiel de l'ouvrage qui supporte les efforts transmis par le tablier et les transmet aux fondations.

Fondations : les sondages effectués ont montré que le terrain se compose de 3 couches de ~~argile et marne~~ argile et ^{marne} ayant d'arriver à la couche de marne assez compacte qui se trouve à une profondeur de 11 m environ où les fondations seront en piliers de 10 m de profondeur.

المدرسة الوطنية المتعددة التقنيات
BIBLIOTHEQUE — المكتبة
Ecole Nationale Polytechnique



Caractéristiques des matériaux utilisés:

1- Béton armé:

Le béton utilisé dans la construction de cet ouvrage sera conforme aux règles B.A.E.L B.A.E.L (80)

Béton de poule et boudin:

Contrainte de compression à 28 jours $\sigma_{28}' = f_{c28} = 350 \text{ kg/cm}^2$
 Modèle de déformations instantané du béton $E_r = 3,5 \%$
 Modèle de déformation différée $E_{ej} = 24000 \sqrt{\sigma_{28}} (\text{kg/cm}^2)$
 $E_{ej} = \frac{E_r}{3} (\text{kg/cm}^2)$.
 Béton de culées et pieux $\rightarrow f_{ez} = 270 \text{ kg/cm}^2$

A l'état limite de service les contraintes limites sont:

Contrainte de traction $\bar{\sigma}_m = -f_{tz} \text{ ou } f_{tj}$ dans la section d'encolbage.
 $= -1,5 f_{tj}$ hors de la section d'encolbage.

Contrainte limite de compression $\bar{\sigma}_H = 0,6 f_{cj}$ pour toute la section.

A l'état limite ultime la contrainte limite $\sigma'_L = \frac{0,85 f_{c28}}{\gamma_L} (\gamma_L = 1,5)$
 masse volumique du béton 2500 kg/m^3 .

2. Caractéristiques des aciers:

a) Caractéristiques des armatures de précontrainte.

Contrainte de rupture garantie	18490 kg/cm^2
Contrainte caractéristique de déformation garantie	14790 "
Modèle d'élasticité E_a	$2 \cdot 10^6$ "
Relaxation à 1000 heures σ_{1000}	2,5 cm
Relaxation à l'air fris σ_{200}	2 cm
Diamètre de la gaine d_g	7,0 cm
Réel d'acierage ρ_g	0,6 "
Section du câble A_p	9,73 cm^2
Décalage du câble à l'intérieur de la gaine	0,6 mm
Rayon de courbure minimal	8 m

b) Caractéristiques des armatures passives.

Acier type Fe440 : $\sigma_{eu} = 4200 \text{ kg/cm}^2 \quad \phi \leq 20 \text{ mm}$
 $\sigma_{eu} = 4000 \text{ " } \quad \phi > 20 \text{ mm}$.

A l'état limite de service:

fissuration prévisible : $\bar{\sigma}_a = \frac{2}{3} \sigma_{eu}$.

A l'état limite de rupture (ultime) : $\sigma_a = f(E_s)$
 $\sigma_p = f(E_p)$.

Les câbles utilisés sont du type FT15 T.B.R

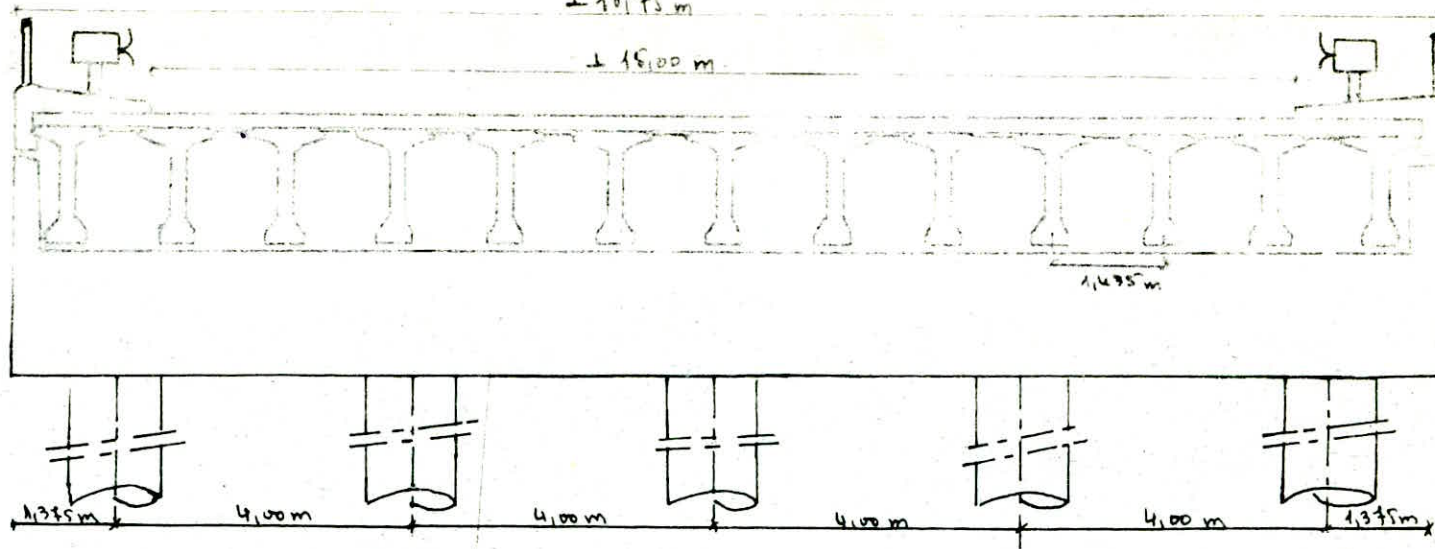
L'ancrage est du type actif-actif.

Coupe A-A

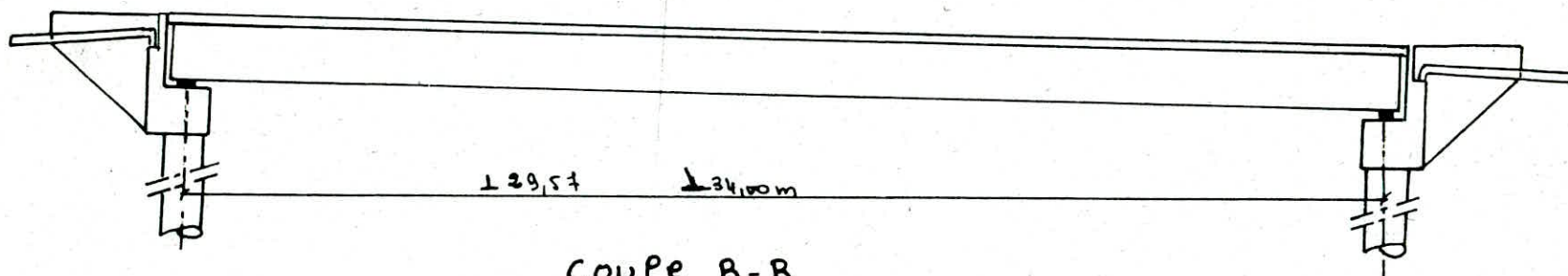
Echelle 1/100

± 18,75 m

± 18,00 m



Echelle 1/50



Coupe B-B

II. caractéristiques géométriques des sections

* prédimensionnement : $\frac{1}{18} \leq \frac{h}{L} \leq \frac{1}{15} \rightarrow 1,90 \leq h \leq 2,26 \text{ m}$.

"h" hauteur totale de la poutre, "L" sa portée

Nous adoptons la hauteur proposée par l'entreprise pour des raisons techniques soit $h = 1,50 \text{ m}$.

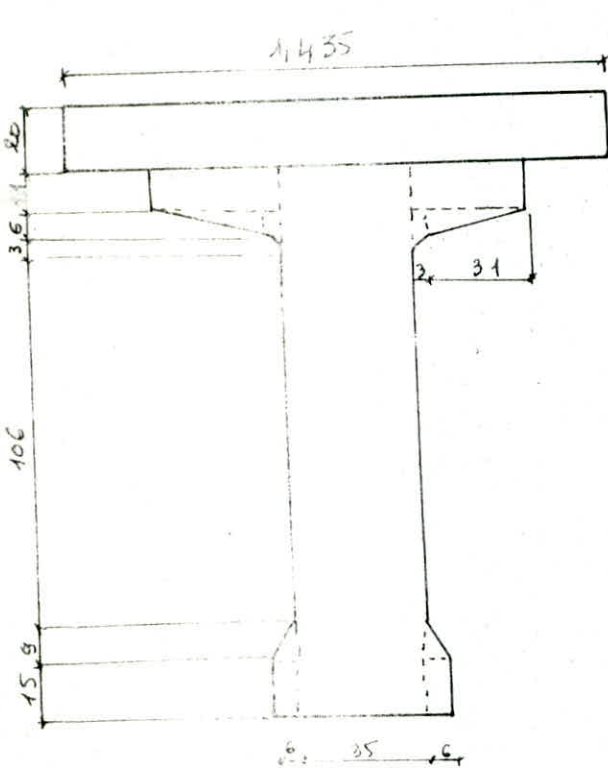
* épaisseur de l'âme de la section en travée : $e \geq 3 \phi_g = 21 \text{ cm}$.

(ϕ_g = diamètre de la gaine).

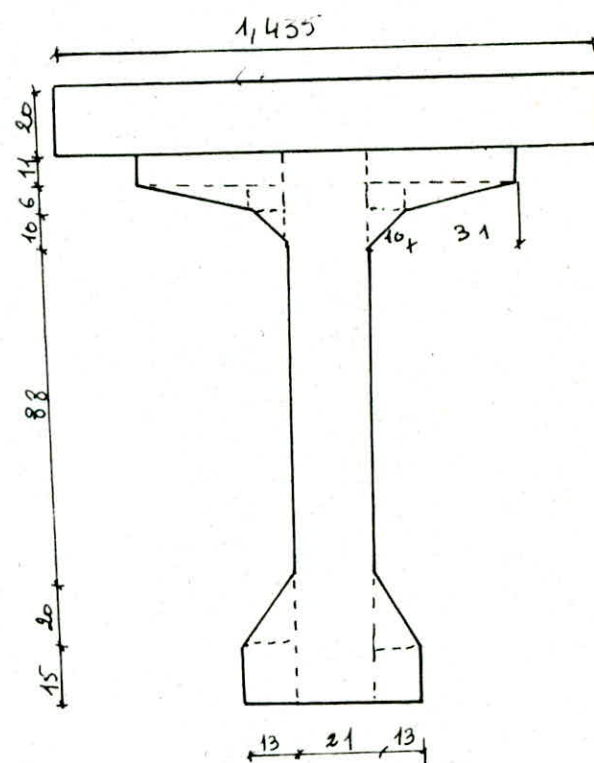
* épaisseur de l'âme de la section d'about : c'est une épaisseur imposée par la plaque de répartition sur laquelle s'appuie le socle du vérin lors de la mise en tension on prendra $e = 35 \text{ cm}$.

* Largeur de la poutre $b = 1,03 \text{ m}$

* épaisseur du fonds $e_h = 20 \text{ cm}$.



Section d'about



Section médiane.

caractéristiques		B (cm ²)	S ₀ (cm ³)	I (cm ⁴)	V (cm)	V' (cm)	i ² (cm ²)
Section médiane	poutre seule	5108	429917,2	13634292,6	65,835	84,165	2708,36
	poutre + hourdis	1988	890717,2	24521481	58,5	111,507	3302,7
Section d'about	poutre seule	6463	535724	14539745	67,11	82,89	2311,6
	poutre + hourdis	3343	996524	28810760	63,341	106,66	3083,67

S_0 = moment statique de la section, considéré par rapport à la fibre inférieure

V = distance entre le centre de gravité de la section et la fibre inférieure.

V' = " superérieure.

I = moment d'inertie de la section par rapport à son centre de gravité

$\sqrt{i^2}$ = rayon de giration de la section $i^2 = \frac{I}{B}$.

* Section équivalente de la poutre:

soit : s_1 = section d'about . L_1 : longueur correspondant à s_1 ,

s_2 = section en travée L_2 : " " " " " " " " s_2

ΔL : longueur de transition.

L : longueur totale de la poutre.

la section équivalente est donnée par la relation suivante :

$$S_{eq} \cdot L = S_1 L_1 + \frac{s_1 + s_2}{2} \cdot \Delta L + L_2 \cdot s_2$$

$$L_1 = 7,425 \text{ m. } L_2 = 20,47 \text{ m. } \Delta L = 7 \text{ cm.}$$

$$S_{eq} = 5660 \text{ cm}^2.$$

* Rendement de la section:

le rendement de la section est donné par la formule: $\gamma = \frac{I}{B \cdot V \cdot V'}$

	poutre seule	poutre + hourdis
section médiane	0,49	0,47
section d'about	0,42	0,46

II. Charges et surcharges

I] charges permanentes:

poids propre de 13 poutres: $2,5 \cdot 0,5660 \cdot 13 = 18,4 \text{ t/m}^2$

" " de la dalle: $8,6 \cdot 1,2 \cdot b = 2,5 \cdot 0,2 \cdot 18,25 = 9,125 \text{ t/m}^2$

" " de préballus: $7,6 \cdot 1,2 \cdot b_1 \approx n = 2,5 \cdot 0,05 \cdot 0,525 \cdot 12 = 0,8 \text{ t/m}^2$

$$\Sigma = 28,3 \text{ t/m}^2$$

Superstructure:

revêtement: $0,04 \cdot 2,2 \cdot 15 = 2,31 \text{ t/m}^2$

charge: $0,01 \cdot 2,2 \cdot 15 = 0,33 \text{ t/m}^2$

trottoirs: $(1,625 \cdot 2,5 \cdot 0,26)2 = 2,12 \text{ t/m}^2$

corniches: $2(0,40 \cdot 2,5 \cdot 0,25) = 0,875 \text{ t/m}^2$

gabions + garde corps: $0,25 \text{ t/m}^2$

$$\Sigma = 5,9 \text{ t/m}^2$$

II] Surcharges:

* caractéristiques du pont:

Largur chargeable: $l_s = L_r - 2 \cdot 0,5 = 14 \text{ m}$

Nombre de voies de circulation: $N = \epsilon \left(\frac{l_s}{3}\right) = 4 \rightarrow l_v = \frac{l_s}{N} = \frac{14}{4} = 3,5 \text{ m}$

classe du pont: $l_s = 14 \text{ m} > 7 \rightarrow$ pont de 1^{ère} classe.

* charge de chaussée:

surchARGE A: $A = K \cdot A(l) \cdot \frac{l_0}{l_v}$; $l_0 = 3,50$ (pont de 1^{ère} classe).

l_v : largeur d'une voie = 3,50 m.

K: est un coefficient qui dépend du nombre de voies chargées et de la classe du pont

	1	2	3	4	≥ 5
K	1	1	0,9	0,75	0,7

$$A(l) = 230 \cdot \frac{36000}{L+12} \text{ (kg/m}^2\text{)}$$

$$L = 34 \text{ m}$$

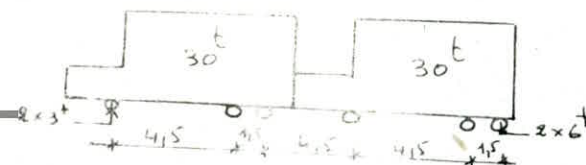
$$A(l) = 230 \cdot \frac{36000}{34+12} = 1012,6 \text{ kg/m}^2$$

$$K = K \cdot A(l) \cdot \frac{l_0}{l_v} = K \cdot 1012,6 \cdot 1 = 1012,6 \cdot K \text{ kg/m}^2$$

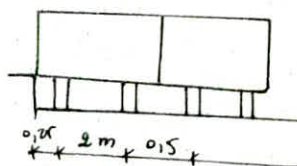
La surcharge A n'est pas frappé de majoration dynamique, il en a été tenu compte dans l'établissement de la formule donnant A_L

Surcharge B

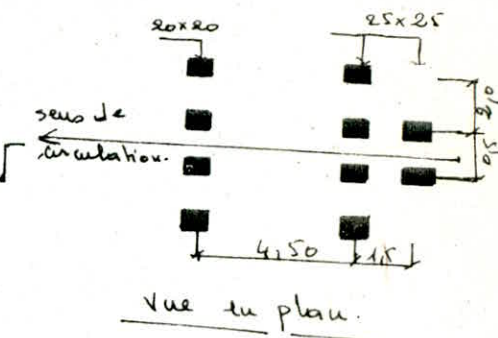
Système B: se compose de camions type; dans le sens longitudinal le nombre de camion est limité à 2, dans le sens transversal il sera disposé sur la chaussée au total de 2 voies que de voies de circulation.



coupé longitudinal



coupé transversal



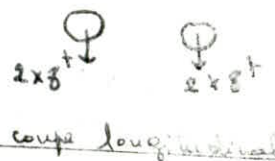
Vue en plan

Les surcharges B sont pondérables par un coefficient bc fonction de la classe du pont et du nombre de voies chargées.

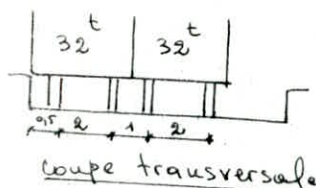
Nbre de file	1	2	3	4	≥ 5
bc	1,2	1,1	0,95	0,8	0,7

Système Bf

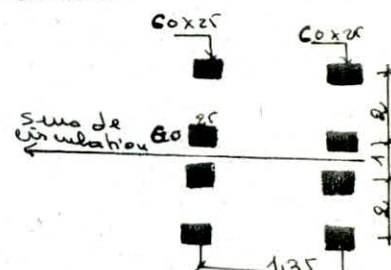
Le système Bf se compose de deux essieux, chaque tandem est supposé circuler dans une bande de 3m de large. Le nbre de tandem est limité à deux dans le sens transversal et à 1 dans le sens longitudinal.



coupé longitudinal

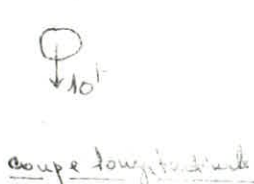


coupé transversal

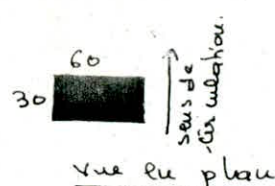
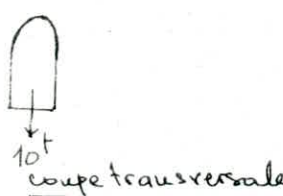


Vue en plan

Système Bf



coupé longitudinal



Vue en plan

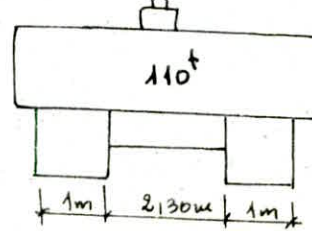
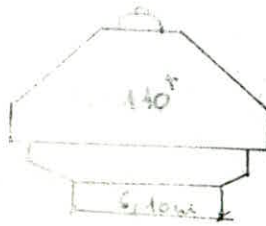
Surcharge militaire: Mc120

Un véhicule type Mc120 comporte 2 chenilles dont la masse totale est de 110t longueur de chenille 6,10 m l'entre axe des chenilles est de 3,30 m

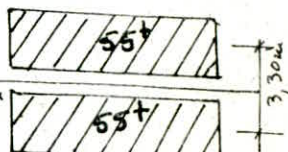
coupé longitudinal

coupé transversal

Vue en plan



sens de circulation



Surcharge exceptionnelle: Convoi D

Il porte une remorque de trois éléments de quatre lignes à 2 essieux. Le poids total est de 240t. Ce poids est supposé réparti au niveau de la chaussée sur un rectangle uniformément chargé de 3,20 m de large et 18,6 m de long. Cette surcharge n'est pas frappée de majoration pour effet dynamique, elle est supposée ne développer aucune réaction de freinage.

Surcharge de trottoirs

Il y a plusieurs types de charges différentes suivant que l'on envisage le calcul du tablier ou le calcul des poutres principales.

Calcul du tablier:

on considère une charge uniforme de 450 kg/m², elle sera disposée tout en longueur qu'en largeur pour produire l'effet maximal envisagé. Ses effets peuvent éventuellement être équilibrés avec ceux du système B ou de la charge militaire.

Calcul des poutres:

on appliquera sur les trottoirs une surcharge uniforme de 150 kg/m² de façon à produire l'effet maximal cherché.

III - Calcul des coefficients de majoration dynamique.

Le coefficient de majoration dynamique δ est calculé pour chaque élément de l'ouvrage et est donné par l'expression suivante :

$$\delta = 1 + \frac{0,4}{1+0,2L} + \frac{0,6}{1+4 \cdot \frac{P}{s}}$$

Pour le ponts principales :
 L : portée de la travée.

P est le poids total correspondant à la travée.

s est la charge maximale que l'on peut appliquer sur le tablier de cette travée pour la dalle.

soit b la largeur roulable.

l : entre axe des poutres de rives.

$$l_1 = \min(b, l_2)$$

si $l_1 < L \rightarrow "L"$ de la formule de δ est égal à l_1
 si $l_1 > L \rightarrow "L" \dots \dots \dots L$

P est le poids total du tablier (sauf le ponts principale) correspondant à la surface B_T & la largeur totale du pont

s est la charge maximale que l'on peut disposer sur la distance l après soustraction.

	B_C	B_T	B_T	M_{C120}
Sainte	1,18	1,123	1,06	1,145
Portée	1,076	1,06	1,052	1,066

V. calcul des efforts dans les poutres sous charge et surcharges

sous charges permanents:

$$q_G = 34,5 \text{ t/ml}$$

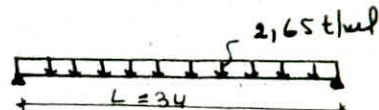
poids propre n'ayant à une poutre: $\frac{q_G}{13} = 2,65 \text{ t/ml}$

les efforts dans une section quelconque x sont:

$$M(x) = q \cdot \frac{x}{2} (L-x)$$

$$T(x) = q \left(\frac{L}{2} - x \right)$$

sections effets	0	L/8	L/4	3L/8	4L
M(t _m)	0	169	291	363	383
T(t)	45,4	34	22,26	11,6	0



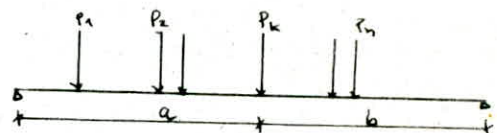
calcul des efforts M et T sous la surcharge:

a- surcharge B_k:

le moment M sera maximal dans une section "s" donnée lorsqu'on place une charge P_k au droit de cette section de manière à ce que quand on passe de gauche à droite de "s" l'inégalité ci-dessous change de sens.

$$\frac{\sum_{i=1}^k P_i}{a} < \frac{\sum_{i=1}^n P_i}{b}$$

avec P_k placé à droite de la section.



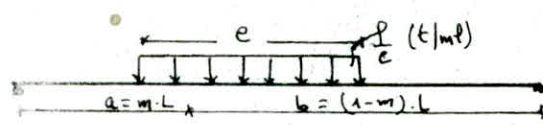
b- surcharge A:

q_A est l'intensité en t/ml ; q_A = n · l_v · A · K n = nombre de voies chargées

l_v = largeur d'une voie.

Nous déterminons les efforts M et T pour les différents cas de chargement de la chaussée

c- surcharge militaire Mc120 et couvoi exceptionnel D:



pour le syst. Mc120 : e = 6,10 m

" " couvoi D : e = 18,16 m.



$$Sv = -\frac{x^2}{2} + \frac{e-x}{L} x + \frac{a \cdot e}{L} \left(b - \frac{e}{2} \right)$$

$$Sv = Sv_{max} \Rightarrow \frac{dv}{dx} = 0 \Rightarrow x = \frac{a \cdot e}{L} = m \cdot e$$

donc pour une section quelconque le moment M est donné par $m(1-m)(L - \frac{e}{2}) \cdot P$

Tableau donnant les efforts M et T sous Bc :

	Ligne d'influence de " M "	Ligne d'influence de " T "	efforts
$x = 0$			$M = 0$ $T = \sum P_i y_i = 23,8t$
$x = \frac{L}{3}$			$M = \epsilon P_i y_i = 85,17tm$ $T = 20,034t$
$x = \frac{L}{4}$			$M = 140,62tm$ $T = 16,28t$
$x = \frac{3L}{8}$			$M = 173,28tm$ $T = 11,50t$
$x = \frac{L}{2}$			$M = 176,25tm$ $T = 8,80.t$

tableau des moments fléchissants sous "A":

place de la charge	q (kg/m^2)	0	$L/8$	$L/4$	$3L/8$	$L/2$
1	3544	0	224	380	480	512
2	7088	0	448,26	768	960,45	1024,26
3	9565	0	605,15	1034,06	1296,16	1382,17
4	10632,3	0	692,14	1152,13	1440,97	1536,14

tableau des efforts tranchants sous "A":

position	place de la charge	1	2	3	4
0	A (kg/m^2)	1012,16	1012,16	911,134	759,145
	q_A (kg/m^2)	3844	7088,2	9567,07	10632,3
	T (t)	60125	12015	162167	180175
$L/8$	A (kg/m^2)	1092,13	1092,13	983,07	812,12
	q_A (kg/m^2)	3823	7646	10322,24	11469,15
	T (t)	19176	79166	134,4	149,33
$L/4$	A	1190	1190	1041	892,15
	q_A	4165	8330	11245,15	12495
	T	30,83	79,66	107,54	119,48
$3L/8$	A	1312,71	1312,71	1181,44	984,73
	q_A	4594	9188,97	12405	13483,42
	T	30,51	61,05	82,37	91,52
$L/2$	A	1441,14	1441,14	1324,26	1103,55
	q_A	5149,83	10299,8	13904,73	15449,7
	T	21,88	43,474	59,095	65,66

tableau donnant M et T sous M_{el20}

	0	$L/8$	$L/4$	$3L/8$	$L/2$
M (tm)	333,6	333,6	643,67	804,14	851
T (t)	400,08	86,38	72162	56	45,12

surcharges de trottoirs

	0	$L/8$	$L/4$	$3L/8$	$L/2$
T	0	15,42	26,62	33,02	35,22
	4,14	3,17	2,34	1,62	1,04
M	0	35,6	52,83	66,04	70,44
	6,29	6,34	6,68	3,24	2,07

tableau donnant M et T sous le laval D

	0	$L/8$	$L/4$	$3L/8$	$L/2$
M (tm)	0	645,15	1108,15	1389,15	1481,63
T (t)	465,15	444,95	114,32	84,34	45

VI - Etude de la répartition transversale

$$\text{Rigidité d'une entretoise } r = \frac{n}{2} \frac{a}{L} \sqrt{\frac{I_p}{I_E}}$$

n : nombre de poutres principales
 a : distance entre 2 poutres
 L : portée des poutres principales
 I_p : moment d'inertie propre d'une poutre
 I_E : moment d'inertie propre d'une entretoise

Si $r < 0,3$ l'entretoise est infiniment rigide l'effet de la résistance du pont à la torsion est négligeable d'où l'application de la méthode de Courbou.

Si $r > 0,3$ on tiendra compte de l'effet de la résistance du pont à la torsion d'où l'application de la méthode de GUYON-PASSONNET pour la rigidité de l'entretoise :

$$n = 13 ; \quad a = 1,435 \text{ m} ; \quad L = 34 \text{ m}.$$

$$I_p = I_0 + (I - I_0) \cdot \frac{8}{3\pi} = 14,6 \cdot 10^6 \text{ cm}^4$$

I_0 : moment d'inertie de la section d'about.

On note que la dalle joue le rôle de l'entretoise d'où :

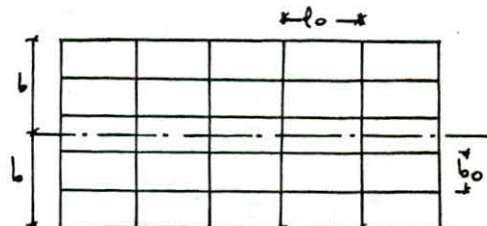
$$I_E = \frac{b h^3}{12} = 100 \cdot \frac{20^3}{12} = 6,67 \cdot 10^4 \text{ cm}^4.$$

$$\text{et } r = 1,055 > 0,3$$

$r > 0,3$ donc on tiendra compte de la rigidité torsionnelle de l'entretoise d'où l'application de la méthode de GUYON-PASSONNET

Paramètres fondamentaux α et δ .

Le pont est constitué de n poutres espacées de b_0 et de m entretoises espacées de b_0 .



Sous $B_p = E I_p$ rigidité flexionnelle des poutres

$B_E = E I_E$ " " " rigidité des entretoises

$C_p = G I_p$ " " " rigidité torsionnelle des poutres

$C_E = G I_E$ " " " rigidité torsionnelle des entretoises.

Le pont à structure continue équivalent au pont réel aura pour rigidité flexionnelle par unité de longueur $f_p = \frac{B_p}{b_0}$, $f_E = \frac{B_E}{b_0}$ et pour rigidité torsionnelle par unité de longueur :

$$\gamma_p = \frac{C_p}{b_0} \text{ et } \gamma_E = \frac{C_E}{b_0}.$$

Le paramètre d'entretoisement sera égal à $\delta = \frac{b}{L} \sqrt{\frac{f_p}{f_E}}$ et le paramètre de torsion sera égal à $\alpha = \frac{\gamma_p + \gamma_E}{2\sqrt{\gamma_p \gamma_E}}$

8 et d détermine donc le comportement de la construction.

Méthode des coefficients de répartition transversale

Hypothèses:

- 1- La construction réelle est remplacée par une dalle orthotrope présentant les mêmes rigidités moyennes de flexion et de torsion et qui au niveau technique est exactement dérivable par le calcul différentiel.
- 2- La répartition transversale réelle du chargement est remplacée par celle qui crée sous une charge répartie le long de l'axe longitudinal de la construction une minuscule de la forme $p(x) = p \cdot \sin \frac{\pi x}{L}$

Propriétés:

Le coefficient de répartition transversale et le rapport: $K(y) = \frac{W(x,y)}{W_0(x)}$

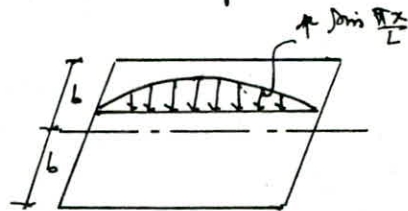
$$K(y) = \frac{W(y)}{W_0}$$

$W(x,y)$ est la déformation sous une charge linéaire répartie appliquée à la construction parallèlement à l'axe longitudinal et d'excentricité e suivant la minuscule $p(x) = p \cdot \sin \frac{\pi x}{L}$.

$W_0(x) = W_0 \sin \frac{\pi x}{L}$ est la déformation de surface cylindrique sous une charge répartie uniformément sur la largeur $2b$ de la construction.

Le coefficient K dépend donc de:

- la valeur du paramètre d'enfouissement θ
- la valeur du paramètre de torsion α
- l'excentricité e de la charge linéaire
- l'ordonnée y du point considéré.



Les tables numériques à double entrée présentées en annexe de l'ouvrage de MM. BARES - PASSONNET "Calcul de grillage de poutre et dalle orthotropes" donnent les valeurs de $K_0 (d=0)$ et $K_1 (d=1)$

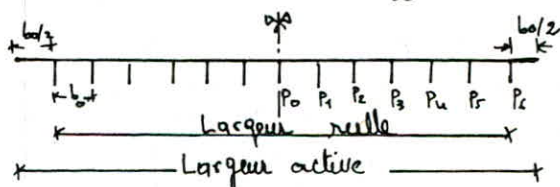
formules d'interpolation:

$$\begin{aligned} \text{si } 0 < \theta \leq 0,1 \quad K_d &= K_0 + (K_1 - K_0) \frac{\theta^{0,05}}{1 - \frac{0,065 - \theta}{0,663}} \\ 0,1 < \theta \leq 1 \quad K_d &= K_0 + ((K_1 - K_0) \alpha)^{\frac{1}{2}} \\ 0 > 1,0 \quad K_d &= K_0 + (K_1 - K_0) \sqrt{\theta} \end{aligned}$$

Largeur active et position active:

La méthode citée ci-dessus n'est applicable que si nous considérons une largeur $2b$ de la construction supérieure à l'écartement réel des poutres à savoir à une moitié de l'écartement des poutres $\frac{b_0}{2}$ pour chacun des bordes.

La position active est égale à $\frac{(n-1)}{n}$ fois la position réelle



positions réelles des poutres: $-b; -\frac{5}{6}b; -\frac{4}{6}b; -\frac{3}{6}b; -\frac{2}{6}b; -\frac{1}{6}b; 0; \frac{1}{6}b; \frac{2}{6}b; \frac{3}{6}b; \frac{4}{6}b; \frac{5}{6}b; +b$

" actives des poutres: $-\frac{12}{13}b; -\frac{10}{13}b; -\frac{9}{13}b; -\frac{6}{13}b; -\frac{4}{13}b; -\frac{2}{13}b; 0; \frac{2}{13}b; \frac{4}{13}b; \frac{6}{13}b; \frac{8}{13}b; \frac{10}{13}b; \frac{12}{13}b$

La largeur active est: $2b = n b_0 = 13 \cdot 1,435 = 18,665 \text{ m.}$

Application de la méthode au projet.

Calcul des paramètres:

Propriétés flexionnelles par unité de longueur:

$$I_p = 14,6 \cdot 10^6 \text{ cm}^4. \quad I_E = 6,67 \cdot 10^4 \text{ cm}^4. \\ l_0 = 1,435 \text{ m} \quad l_0 = 1 \text{ m}$$

$$f_p = \frac{14,6 \cdot 10^6}{143,5} E = 101442,16 E.$$

$$f_E = \frac{6,67 \cdot 10^4}{100} E = 6,67 \cdot 10^2 E.$$

Propriétés torsionnelles par unité de longueur:

$$c_p = \frac{G_I}{3} \sum b_i h_c = \frac{G_I}{3} [143,5 \cdot 31^3 + \frac{1}{2} \cdot 88 \cdot 21^3 + 47 \cdot 15^3] \\ = 1613705,83 G_I$$

$$\gamma_p = 14245,34 G_I.$$

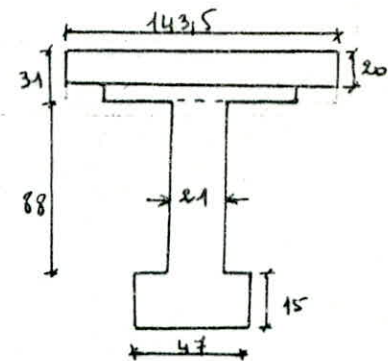
$$c_E = \frac{G_I}{3} (\frac{1}{2} \cdot 143,5 \cdot 20^3) = 19133 G_I.$$

$$\gamma_E = 1913 G_I.$$

$$G_I = \frac{E}{2(1+\nu)} \quad \nu = 0,15 \text{ coefficient de poisson.}$$

$$\rightarrow \gamma_p = 4889,3 E$$

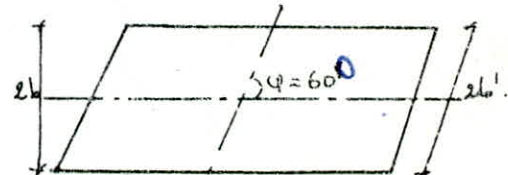
$$\gamma_E = 831,74 E.$$



paramètre d'entretorsement θ .

Malheureusement cette cas ouvrage (réunion des ingénieurs cours de ponts édition 73) lorsque le biais varie entre 60 et 90° la méthode de Guyon n'est pas applicable ou considérant la longueur biseautée, cette méthode ne sera donc qu'une méthode approchée.

$$\theta = \frac{b!}{L} \sqrt{\frac{f_p}{f_E}} = 1,113.$$



paramètre de torsion α :

$$\alpha = \frac{\gamma_p + \gamma_E}{2\sqrt{f_p f_E}} = \frac{4889,3 + 831,74}{2\sqrt{10142,16 \cdot 6,67}} = 0,35.$$

$$\theta = 1,113 > 1 \rightarrow K = k_0 + (k_1 - k_0) \sqrt{\alpha}$$

calcul des efforts dans les poutres

Ligne d'influence du coefficient de répartition k.

$y \setminus e$	-b	-3b/4	-b/2	-b/4	0	b/4	b/2	3b/4	b
0	-0,0359	0,382	0,93	1,63	2,093	1,63	0,93	0,382	-0,0359
b/4	-0,0783	0,119	0,418	0,924	1,63	2,118	1,67	0,95	0,30
b/2	-0,1033	0,0278	0,148	0,418	0,93	1,67	2,223	1,894	1,300
3b/4	0,0272	0,014	0,028	0,119	0,382	0,95	1,894	2,193	3,42
b	0,088	0,0272	-0,019	-0,078	-0,0359	0,13	1,304	3,42	6,72

Pour déterminer la ligne d'influence du coefficient de répartition positifs actifs, nous procéderons par interpolation linéaire.

$p_1 (y = \frac{2}{13}b)$	les valeurs de k devont calculer entre $y=0$ et $y=b/4$
$p_2 (y = \frac{4}{13}b)$	" " " " " " " " " " $y = b/4$ et $y = b/2$
$p_3 (y = \frac{6}{13}b)$	" " " " " " " " " " $y = b/4$ et $y = b/2$
$p_4 (y = \frac{8}{13}b)$	" " " " " " " " " " $y = b/2$ et $y = 3b/4$
$p_5 (y = \frac{10}{13}b)$	" " " " " " " " " " $y = \frac{3b}{4}$ et $y = b$
$p_6 (y = \frac{12}{13}b)$	" " " " " " " " " " $y = \frac{3b}{4}$ et $y = b$

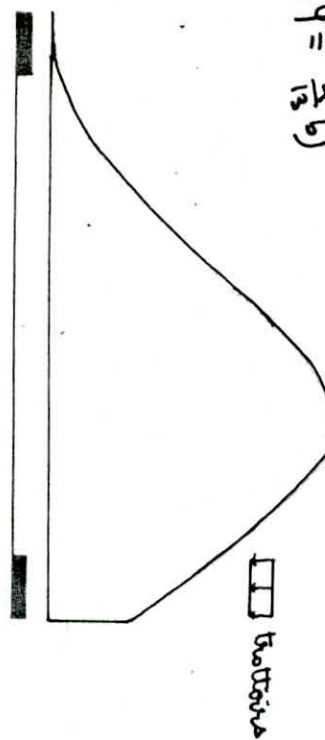
$y \setminus e$	-b	-3b/4	-b/2	-b/4	0	b/4	b/2	3b/4	b
0	-0,0359	0,382	0,93	1,63	2,093	1,63	0,93	0,382	-0,0359
2/13 b	-0,062	0,22	0,615	1,195	1,808	1,93	1,385	0,173	-0,17
4/13 b	-0,06	0,098	0,356	0,807	1,147	1,780	1,18	1,17	0,153
6/13 b	-0,039	0,048	0,180	0,496	1,038	1,740	2,114	1,75	1,15
8/13 b	0,000	0,02	0,093	0,28	0,68	1,34	2,074	2,37	2,28
10/13 b	0,000	0,015	0,023	0,1038	0,349	0,900	1,840	2,126	3,17
12/13 b	0,069	0,023	0,0208	-0,017	0,092	0,15	1,485	3,126	5,704

Pour la raisons de symétrie nous ne tracerons que la ligne d'influence poutre citée ci-dessous.

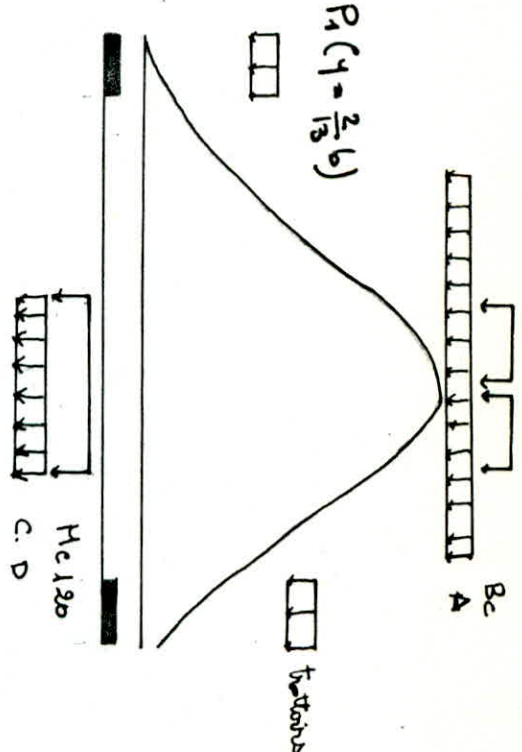
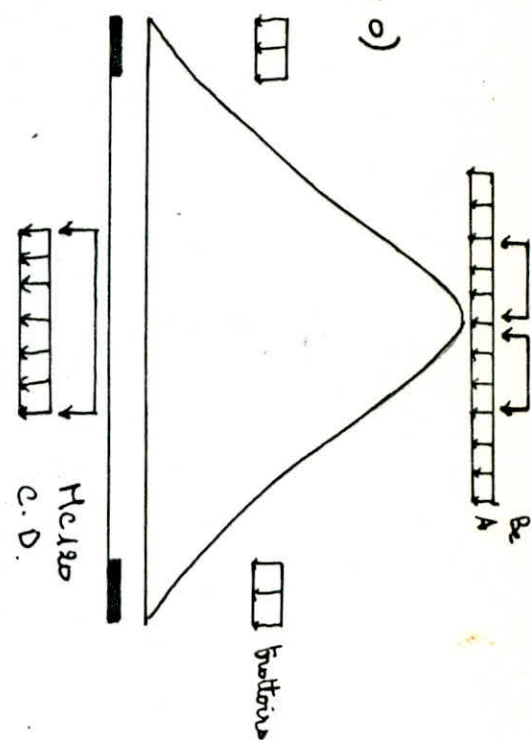
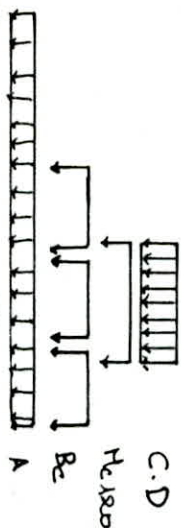
Pour déterminer la valeur maximale des efforts, nous disposerons la charge transversale sur la ligne d'influence de la poutre considérée de manière à avoir l'effet le plus défavorable.

regime w influence on coefficient ρ_2

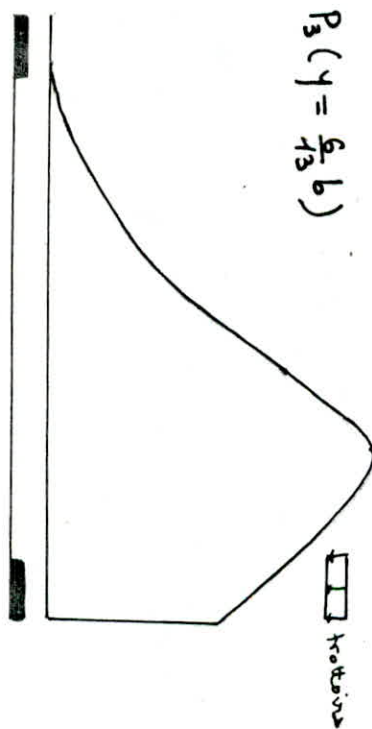
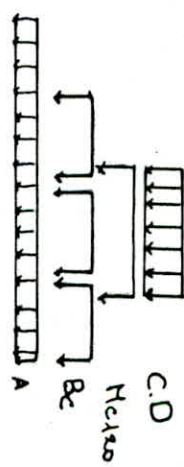
$w \in \mathbb{R}$



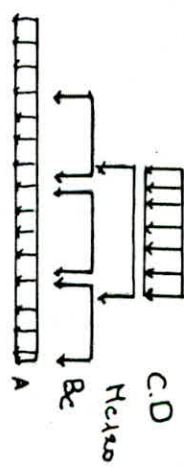
$$P_2(\gamma = 0, b)$$

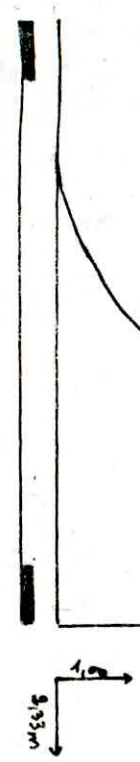


$$P_2(\gamma = 2/3 b)$$

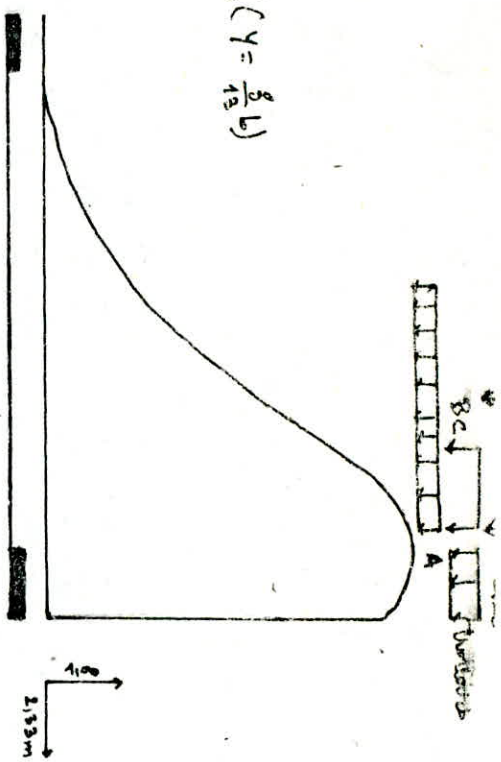
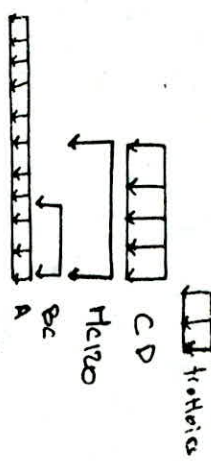


$$P_3(\gamma = 6/7 b)$$

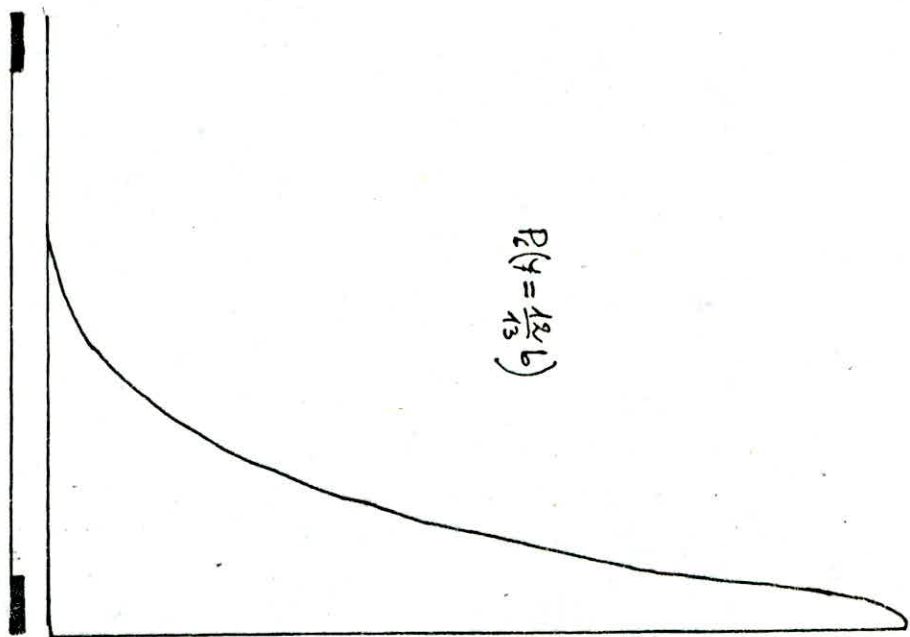
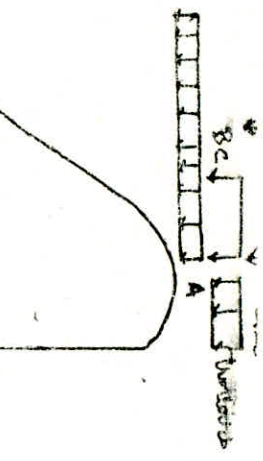




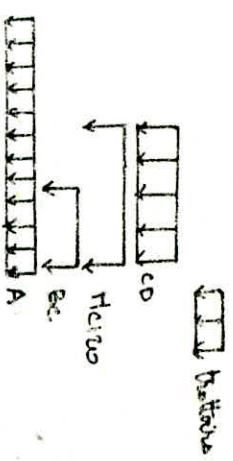
$$P_r(\gamma = \frac{1}{13} \cdot 1)$$



$$P_r(\gamma = \frac{6}{11} \cdot 1)$$



$$P_r(\gamma = \frac{12}{21} \cdot 1)$$



\rightarrow
1.00
0.993m

tableau des valeurs du coefficient de répartition K_{max} pour les différents chargements

surcharge		P_0	P_1	P_2	P_3	P_4	P_5	P_6
Surcharge A	1 voie chargée	0,66	1,17	1,534	2,015	2,23	2,34	2,47
	2	1,24	1,65	1,640	1,86	1,78	1,645	1,42
	3	1,44	1,604	1,450	1,486	1,355	1,18	1,02
	4	1,37	1,365	1,176	1,16	1,04	0,88	0,77
Surcharge B _c	1 convoi	1,85	1,9	1,825	2,075	2,3	2,65	2,875
	2	1,86	1,71	1,425	2,0	2,06	2,09	2,037
	3	1,687	1,675	1,69	1,817	1,76	1,725	1,47
	4	1,43	1,146	1,55	1,56	1,456	1,37	1,11
Surcharge C Surcharge D	1 trottoir chargé	0,31	1,154	0,1795	1,417	2,33	3,41	4,30
	2 H. chargé	0,31	0,614	0,410	0,708	1,17	1,70	2,40
Mc120		2,138	2,03	1,92	2,19	2,22	2,14	1,80
C.D.		2,13	2,10	1,98	2,16	2,123	2,120	1,86

pour la surcharge B_c le coefficient de répartition transversale est égal à
 $K = \frac{\sum k_i}{n}$ avec n nbre de roues disposées transversalement.

Pour la surcharge A le coefficient k_A a été calculé en utilisant la méthode des trapèzes.

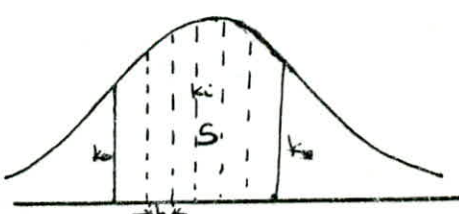
Le même procédé a été utilisé pour la surcharge militaire Mc120 et la charge exceptionnelle D et la surcharge de trottoirs.

$$K_A = \frac{S}{L}$$

$$S = (k_0 + 2 \sum_{i=1}^{n-1} k_i + k_n) \cdot \frac{h}{2}$$

L = largeur surchargée.

pour une meilleure approximation nous avons pris $h = 0,5 \text{ m}$.



Le moment fléchissant M_x est donné par la formule suivante :

$$M_x = \frac{M_{ox}}{n} \cdot K_{max}(y)$$

De même pour l'effort tranchant : $T_x = \frac{T_{ox}}{n} \cdot K_{max}(y)$

M_{ox} = moment fléchissant total sur la travée

T_{ox} = effort tranchant total sur la travée

n = nombre de portes.

P_0	K	effort	o	L18	L14	3L18	L12	
G	1	M	o	169	281	363	383	
		T	44	33,8	22,5	11,3	0	
Surcharge S = 1046	1	0,66	M	o	11,38	19,5	24,39	26,0
	2	1,24	M	o	42,75	73,27	94,61	97,90
	3	1,44	M	o	67,03	114,87	143,62	153,16
	4	1,37	M	o	69,52	118,13	148	158,84
Surcharge S = 1046	1	1,85	M	o	31,13	51,68	63,68	64,18
	2	1,86	M	o	57,7	95,25	117,37	119,4
	3	1,69	M	o	64,9	112,12	136,16	140,53
	4	1,43	M	o	64,52	106,52	131,26	133,51
H_{max} $S = 1066$	2,38	M	o	74,86	125,62	156,93	166,1	
		T	18,53	16,86	14,47	11,52	8,80	
C.D.	2,30	M	o	114	195	245	262	
		T	33,67	29,13	23,20	17,16	9,14	
Surcharge S = 1046	1	0,31	M	o	0,421	0,73	0,91	0,97
	2	0,31	M	o	0,84	1,46	1,82	1,94
		T	0,123	0,135	0,13	0,109	0,106	

P_0	K	effort	o	L18	L14	3L18	L12	
G	1	M	o	169	281	363	383	
		T	44	33,8	22,5	11,3	0	
Surcharge S = 1046	1	1,14	M	o	20,17	34,57	43,2	46,1
	2	1,65	M	o	51,8	4,49	2,75	1,97
	3	1,61	M	o	56,89	94,5	121,9	130
	4	1,37	M	o	15,15	10,44	7,74	5,56
Surcharge S = 1046	1	1,9	M	o	74,8	128,19	160,3	170,92
	2	1,41	M	o	19,45	16,63	13,29	10,18
	3	1,68	M	o	68,52	119,1	149,0	158,84
	4	1,46	M	o	32,15	53,08	68,14	66,55
Surcharge S = 1046	1	1,41	M	o	8,99	7,56	6,16	4,34
	2	1,41	M	o	14,82	12,15	10,14	7,16
	3	1,68	M	o	67,5	111,5	137,34	139,7
	4	1,46	M	o	19,0	15,88	12,92	9,63
H_{max} $S = 1066$	2	M	o	62,19	105,56	131,8	139,3	
		T	16,4	14,17	11,9	9,67	7,40	
C.D.	2	M	o	99,26	169,8	213	227,75	
		T	27,18	23,97	18,94	14,10	7,46	
Surcharge S = 1046	1	1,154	M	o	1,35	2,35	2,93	3,62
	2	0,614	M	o	0,42	0,32	0,24	0,16
		T	0,145	0,135	0,126	0,118	0,111	

P_{2g}	G	K	effort	o	L18	L14	3L18	L2
		1	M	0	169	291	363	383
			T	44	33,8	22,5	11,2	0
		1	1,83	M	0	26,45	45,32	56,64
			T	6,97	5,9	4,69	3,60	2,58
		2	1,64	M	0	56,54	96,91	121,16
			T	14,91	12,56	10,05	7,70	5,52
		3	1,45	M	0	64,03	115,67	144,62
			T	14,82	15,0	12,0	9,18	6,66
		4	1,78	M	0	59,67	102,26	124,85
			T	16,05	19,51	10,81	8,27	5,94
		1	1,83	M	0	30,96	51,12	63,0
			T	8,66	7,28	5,94	4,18	3,12
		2	1,73	M	0	53,67	88,6	109,7
			T	15,0	12,62	10,26	7,25	5,54
		3	1,69	M	0	67,9	112,12	138,16
			T	19,10	15,97	13,0	9,69	7,0
		4	1,55	M	0	69,93	115,5	142,3
			T	19,54	16,44	13,37	9,44	7,23
		Mc120	1,92	M	0	60,14	101,34	126,6
			T	15,76	13,6	11,43	9,29	7,16
		C-D	1,98	M	0	101,16	143,0	217,0
			T	28,0	24,4	18,8	14,28	7,16
		1	0,79	M	0	0,84	1,62	2,03
			T	0,28	0,22	0,165	0,11	0,07
		2	0,41	M	0	1,11	1,03	2,14
			T	0,13	0,13	0,172	0,118	0,075

P_{3g}	G	K	effort	o	L18	L14	3L18	L2
		1	M	0	169	291	363	383
			T	44	33,8	22,5	11,2	0
		1	2,01	M	0	35,35	60,57	75,69
			T	9,32	7,87	6,27	4,82	3,45
		2	1,86	M	0	64,13	109,91	137,4
			T	16,01	14,25	11,4	8,73	6,27
		3	1,5	M	0	69,17	118,54	148,2
			T	18,26	15,38	12,28	9,41	6,76
		4	1,16	M	0	59,08	101,24	126,57
			T	15,89	13,38	10,70	8,18	5,88
		1	2,08	M	0	35,18	58,10	71,6
			T	9,84	8,275	6,75	4,76	3,63
		2	2,0	M	0	62,04	102,42	126,2
			T	17,33	14,60	11,36	8,38	6,41
		3	1,82	M	0	73,12	120,74	149,0
			T	20,46	17,20	14,10	10,44	7,54
		4	1,56	M	0	70,14	116,12	143,2
			T	19,67	16,55	13,45	9,70	7,28
		Mc120	2,19	M	0	68,88	115,6	146,14
			T	17,97	15,5	13,04	10,6	8,10
		C-D	2,26	M	0	112,14	191,87	240,76
			T	31,0	27,08	21,4	15,8	8,43
		1	1,42	M	0	7,82	3,33	4,16
			T	0,52	0,4	0,3	0,2	0,13
		2	0,41	M	0	1,02	3,33	4,16
			T	0,182	0,14	0,13	0,14	0,13

P_4	K	effort	0	L18	L14	3L18	L12
G1	1	M	0	169	291	363	383
	T	44	33,8	22,5	11,2	0	
A Surcharge	2	2,33	M	0	38,44	65,88	82,34
	T	10,14	8,56	6,82	5,24	3,75	
	2	1,79	M	0	61,72	105,77	132,24
	T	16,27	13,41	10,97	8,20	6,03	
	3	1,36	M	0	63,07	103,09	135,15
	T	16,65	14,02	11,21	8,58	6,16	
	4	1,04	M	0	52,06	80,77	113,48
	T	14,26	12,6	9,58	7,34	5,27	
B Surcharge	1	2,13	M	0	38,91	64,24	79,17
	T	10,08	9,15	7,46	5,26	4,01	
	2	2,06	M	0	71,74	116,4	145,91
	T	20,04	16,87	13,71	9,68	7,41	
	3	1,76	M	0	70,71	116,76	143,9
	T	19,90	16,63	13,54	10,09	7,3	
	4	1,45	M	0	65,42	108,0	133,1
	T	18,28	15,40	12,10	8,83	6,76	
MC120	212	M	0	68,83	114,2	146,38	154,92
	T	18,20	15,73	13,21	10,74	8,22	
CD	2,24	M	0	110,23	188,5	236,5	252,8
	T	30,17	26,6	21,02	15,55	8,30	
Surcharge C to E of G + F	1	2,33	M	0	21,76	41,78	51,92
	T	0,174	0,157	0,142	0,129	0,119	
	2	1,77	M	0	3,20	4,75	5,90
	T	0,145	0,157	0,142	0,130	0,118	

P_5	K	effort	0	L18	L14	3L18	L12
G1	1	M	0	169	291	363	383
	T	44	33,8	22,5	11,2	0	
A Surcharge	1	2,37	M	0	40,38	70,02	87,51
	T	10,77	9,08	7,25	5,57	4	
	2	1,645	M	0	76,71	97,2	121,58
	T	14,95	12,60	10,08	7,72	5,54	
	3	1,18	M	0	54,98	84,13	117,69
	T	14,15	12,21	9,76	7,47	5,36	
	4	0,88	M	0	64,65	76,52	95,67
	T	12,01	10,11	8,09	6,18	4,44	
B Surcharge E	1	2,65	M	0	44,84	74,03	91,22
	T	12,53	10,54	8,16	6,06	4,63	
	2	2,05	M	0	64,83	107,0	132
	T	18,11	15,24	12,4	7,75	6,70	
	3	1,73	M	0	69,15	114,8	141,43
	T	19,14	16,35	13,31	9,92	7,17	
	4	1,37	M	0	61,82	102,05	125,77
	T	17,12	14,53	11,81	8,34	6,11	
MC120	214	M	0	64,3	113	141	169,3
	T	14,56	15,20	12,74	10,13	8,10	
CD	212	M	0	109	186,6	234,13	250,63
	T	31,43	27,4	21,69	16	8,53	
Surcharge C to E of G + F	1	3,41	M	0	4,0	6,93	8,66
	T	1,086	0,83	0,61	0,42	0,27	
	2	1,70	M	0	4,6	8,93	8,66
	T	0	1,026	0,83	0,61	0,422	0,27

	K	effort	0	L13	L14	3L13	L12
G	K=1	M	0	169	291	363	383
		T	44	33,8	22,5	11,2	0
A surcharge	1	2,147	M 0	42,19	72,97	91,2	97,3
		T	11,22	9,47	7,55	5,86	4,15
	2	1,42	M 0	49	84	105	112
		T	13	10,87	8,7	6,67	4,178
B surcharge	3	1,02	M 0	47,15	81,37	101,73	103,15
		T	12,54	10,55	8,43	6,46	4,64
	4	0,77	M 0	39,07	66,96	83,71	89,28
		T	10,51	8,85	7,08	5,41	3,89
A/C surcharge	1	2,07	M 0	48,56	80,17	98,79	100,53
		T	13,57	11,41	9,31	6,56	5,10
	2	2,04	M 0	63,3	104,46	128,73	131
		T	14,68	14,90	12,09	8,54	6,54
C/D surcharge	3	1,47	M 0	53,06	97,52	120,12	122,24
		T	16,53	14,10	11,31	8,43	6,09
	4	1,11	M 0	50,08	82,68	101,9	103,60
		T	14,10	11,80	9,60	6,76	5,18
Fet 20		1,80	M 0	56,63	95	118,7	125,15
		T	14,77	12,74	10,69	8,63	6,66
CD		1,86	M 0	53,15	166,16	208,5	226,9
		T	26,19	23,45	18,53	13,71	7,3
trotting	1	4,77	M 0	51,66	9,69	12,1	12,9
		T	15,2	1,16	2,86	0,60	0,38
2	2,14	M 0	51,66	9,69	12,1	12,9	
		T	1,77	1,35	1,0	0,68.	0,43

III - Etude de la torsion.

cet ouvrage est dépourvu d'entretoises et présente un bras de 60° donc les parties sont soumises à la torsion.

Le moment de torsion est donné par la formule suivante :

$$M_{xy}(x,y) = \frac{2 \gamma_p}{\gamma_p + \gamma_e} \frac{L}{\pi} \sum_{m=1}^{\infty} C_{dm} \frac{P}{m} \cos m \frac{\pi x}{L}$$

P_m : intensité de la charge.

C_{dm} : coefficient sans dimension qui dépend des paramètres α et θ ; de l'excentricité de la charge et de l'ordonnée y du point cherché. Les coefficients C_{dm} sont donnés en fonction de C_1 (qui est fonction de θ et $\alpha = 1$) et α tel que :

$$C_\alpha = C_1 \sqrt{\alpha}$$

Nous limiterons nos calculs à celui de la partie la plus sollicitée soit : $P_0 (y=0)$.

x	α	-6	-3L/4	-L/2	-L/4	0	L/4	L/2	3L/4	L
$C_{dm=1}$	1,113	-0,0275	-0,0364	-0,0495	-0,064	0	0,094	0,0695	0,0364	0,0275
$C_{dm=3}$	3,339	-0,000065	-0,000061	-0,000052	-0,000042	0	0,0282	0,000412	0,000461	0,000065

Le tableau précédent permet de tracer les lignes d'influence C_{dm} pour la partie P_0 et de déterminer les valeurs C_{dm} pour chaque type de chargement. Les valeurs de C_{dm} ont été calculé par interpolation linéaire entre $\theta = 1,0$ et $\theta = 1,2$.

Tableau de valeurs de C_{dm} :

Surcharge		$C_{dm=1}$	$C_{dm=3}$
A	équipes chargées	0,0529	0,00094
M _{C120}	—	0,0648	0,0157
CD	—	0,0668	0,0162
Bc	1	0,074	0,0171

Calcul des moments de torsion

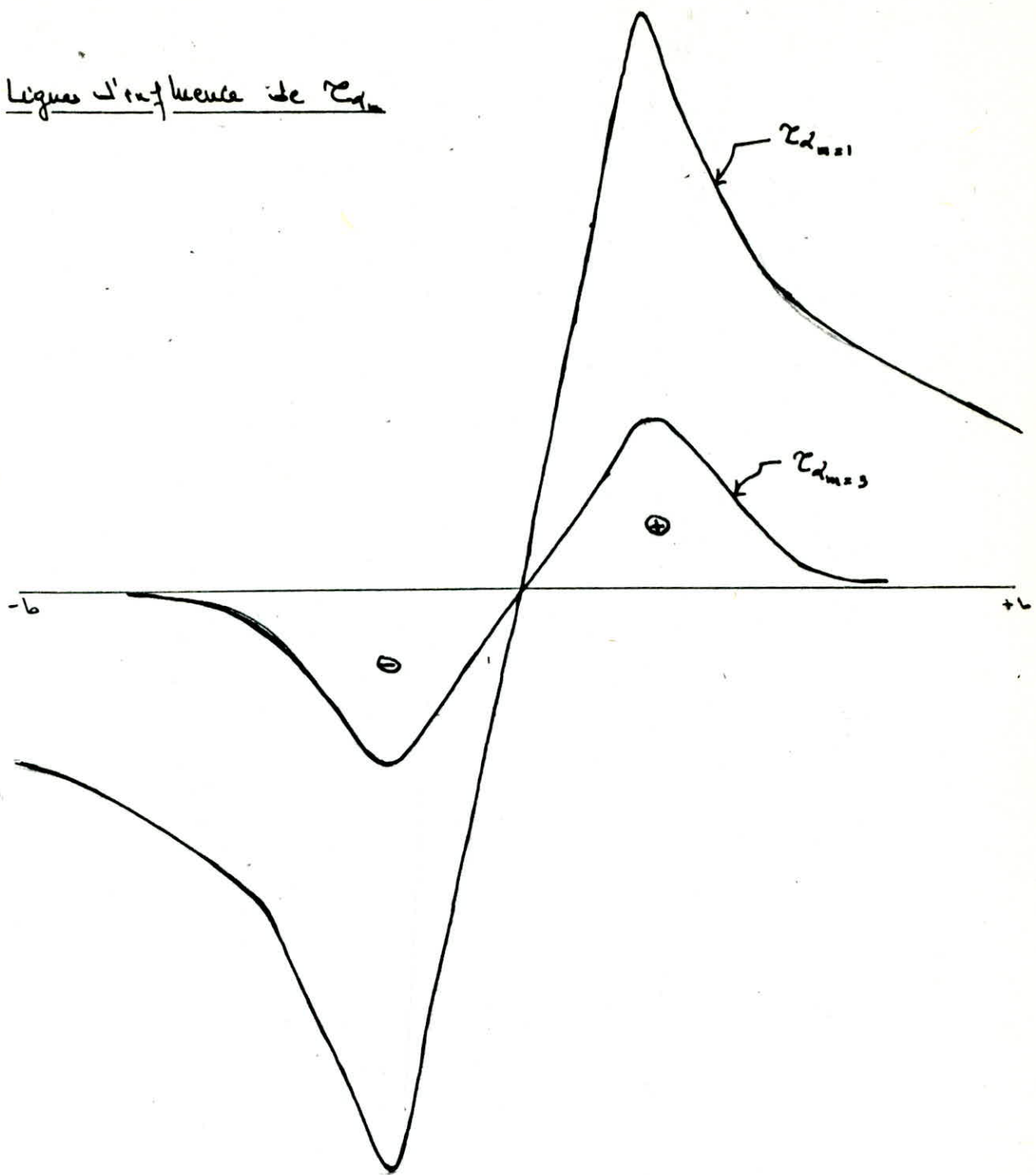
$$M_{xy} = \frac{2 \gamma_p}{\gamma_p + \gamma_e} \frac{L}{\pi} \sum C_{dm} \frac{P}{m} \cos m \frac{\pi x}{L} ; \quad \frac{2 \gamma_p}{\gamma_p + \gamma_e} \frac{L}{\pi} = 18,5.$$

Tableau des valeurs de moments M_{xy} (Nm)

Surcharge A	M _{C120}	CD
Section à l'about	7,11	4,44
Section à l'extrémité du rebord "z"	6,28	5,06
Section à l'extrémité du rebord "x"	5,93	5,31
Section L/4	5,19	5,25
$x = L/2$	0	0

Ce moment servira à calculer la contrainte de cirailement due à la tension et qui sera cumulée à celle due à l'effort tranchant

Lignes d'influence de τ_{d_m}

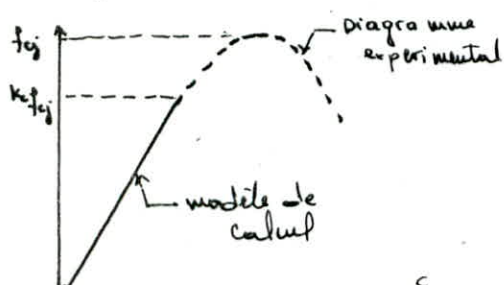


VIII - Calcul aux états limites de service.

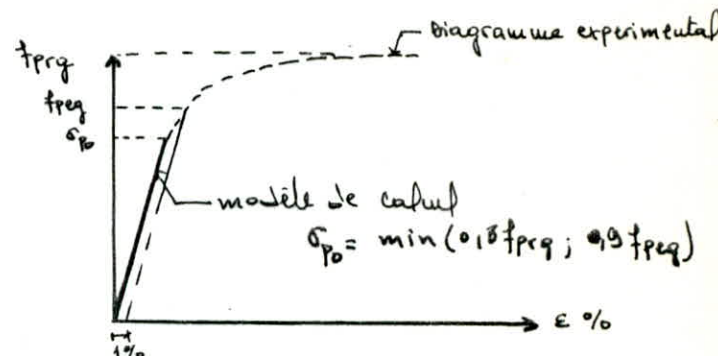
Hypothèses fondamentales :

- les contraintes dans les matériaux restent proportionnelles aux déformations.
- les sections droites restent planes.
- les armatures passives et actives ne subissent aucun glissement relatif par rapport au béton.
- En section non fissurée le béton tendu résiste à la traction.

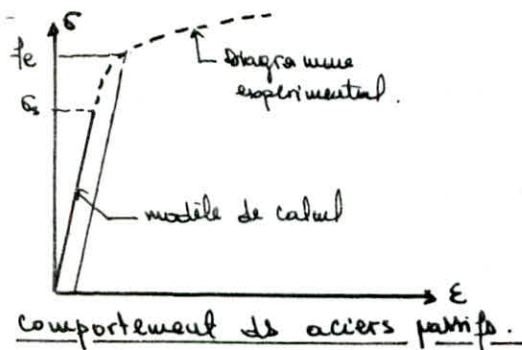
Comportement des matériaux :



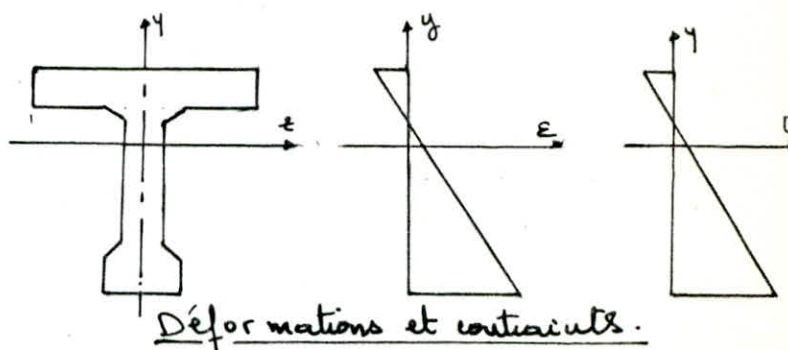
Comportement du béton dans le cas de G.L.S.



Comportement de aciers de précontrainte



Comportement des aciers passifs



Valeurs limites des contraintes normales

contrainte	situation combinai- zone sous:	exploitation			construction
		Rares	fréquentes	quasi- permanente	
$\bar{\sigma}_m$	Dans la section d'eurocode	$-f_{t2g}$	0		
	Hors section d'eurocode	$-1,5 f_{t2g}$			$-1,5 f_{tj}$
$\bar{\sigma}_M$	Pour toute la section	$0,15 f_{t2g}$			$0,15 f_{tj}$

$$\text{avec } f_{tj} = 0,685 f_{t2g} \log(j+1)$$

et $f_{tj} = 6 + 0,06 f_{cj}$ (kg/cm^2). à condition que $f_{cj} \leq 160 \text{ kg/cm}^2$
combinatoire d'actions :

$G + Q$ lorsque la charge routière est considérée avec caractère particulier
 $G + 1,2(Q+T_r)$ dans le cas des charges routières sans caractère particulier.

Etude de La Précontrainte des Poutres

conditions que doit respecter la précontrainte

$$B \bar{\epsilon}_m + \frac{M_m - M_{m'}}{s_h} \leq P \leq B \bar{\epsilon}_{m'} - \frac{M_m - M_{m'}}{s_h}$$

$$-a' - \frac{M_{m'}}{P} \leq \epsilon_p \leq a - \frac{M_m}{P}$$

B est la section droite de la poutre.

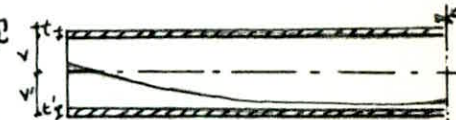
$\bar{\epsilon}_m$, $\bar{\epsilon}_{m'}$ sont les contraintes limites respectivement de la compression et de la traction.

M_m = moment fléchissant dû aux charges permanentes et aux surcharges.

$M_{m'}$ = " " " " " " " "
a et a' définissent le domaine à l'intérieur duquel peut se déplacer le centre de pression pour que les contraintes limites $\bar{\epsilon}_m$ et $\bar{\epsilon}_{m'}$ soient dépassées dans la section considérée.

limites pratiques imposées à l'excavacité

$$-v' + t' \leq \epsilon_p \leq v - t$$



t et t' sont les distances minimales respectivement à la fibre supérieure et à la fibre inférieure qui doivent être respectées par le câble moyen.

La précontrainte minimale doit être égale au maximum de (P_I , P_{II}) telle que :

$$P_I = B \cdot \bar{\epsilon}_m + \frac{M_m - M_{m'}}{s_h}; \quad P_{II} = \frac{\bar{\epsilon}_m \frac{I}{V_i} + M_m}{c + v' - t'}$$

Si $P_I > P_{II}$ alors la section est sous-critique, le fusil de passage est strictement situé hors de la zone d'enroulage définie par t et t' et $\epsilon_p = -a' - \frac{M_{m'}}{P_I}$.

Si $P_{II} > P_I$ alors la section est sur-critique et le fusil de passage de la précontrainte a une de ses frontières qui coupe la zone d'enroulage et $\epsilon_p = -v' + t'$.

Valeur caractéristique de la précontrainte

Le domaine à l'intérieur duquel s'inscrit la valeur probable de la précontrainte est :

$$\text{à la mise en tension : } P_1 = 1,02 P_0 - 0,8 K_{s_1} P_0 = K_{t_1} P_0$$

$$P_2 = 0,98 P_0 - 1,2 K_{s_2} P_0 = K_{t_2} P_0$$

$$\text{en exploitation à long terme : } P_1 = 1,02 P_0 - 0,8 K_{s_1} P_0 = K_{s_1} P_0$$

$$P_2 = 0,98 P_0 - 1,2 K_{s_2} P_0 = K_{s_2} P_0$$

$$\text{Dans le cas de la post-tension ; } K_{s_1} = 0,94 \quad K_{s_1} = 0,82 \\ K_{t_1} = 0,86 \quad K_{s_2} = 0,68$$

$$\text{avec } S_p = \min(0,8 f_{psq}; 0,9 f_{psq}) = 133,11 \text{ kg/cm}^2.$$

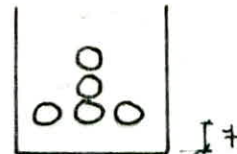
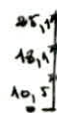
Application au projet.

Euroborage minimum:

on suppose qu'il y'a 3 lits de gaines et que l'euroborage minimum est d'au moins ϑ_1 et que les câbles sont décalés vers le haut de gaine d'environ 6mm

$$d' = \frac{\sum d_i}{5} = \frac{3.10,5 + 18,1 + 25,1}{5}$$

$$\vartheta' = 14,94 \text{ cm.}$$



Détermination de la précontrainte

La valeur minimale que la précontrainte doit être respectée dans tous les cas, le plus défavorable et celui qui apparaît en exploitation à long terme sous l'effet de la précontrainte minimale susceptible d'exister.

$$0,68 P_0 \geq P_{\min} = \max(P_I, P_{II}).$$

$$P_I = 7988(-27) + \frac{262 \cdot 10^3}{0,14t \cdot 170} = 212,4 t.$$

$$P_{II} = \frac{-27 \left(\frac{262 \cdot 10^3}{111,507} \right) + 645 \cdot 10^3}{52,41 + 111,507 - 14,94} = 393 t.$$

$$M_H - M_m = M_{ext} = 262 \text{ cm}$$

$$M_H = M_m + M_{ext} = 283 + 262 = 645 \text{ cm}$$

$$c' = \vartheta' = 0,14t \cdot 111,507 = 52,41 \text{ cm.}$$

$$P_{\min} = \max(212,4, 393) = 393 t$$

la section est donc M.H utilisée donc $\epsilon_p = -\vartheta' + \vartheta' = -96,567 \text{ cm.}$

$$0,68 P_0 \geq P_{\min} \Rightarrow P_0 = \frac{P_{\min}}{0,68} = \frac{393}{0,68} = 578 t.$$

nouvelles de câbles:

$$n = \frac{P_0}{\sigma_{p_0} \cdot A_p} = \frac{578 \cdot 10^3}{13311 \cdot 9,73} = 4,46$$

on placera 5 câbles T15 et $P_0 = 5 \cdot 13311 \cdot 9,73 = 64 t, 6 t.$

vérification rapide de la section médiane:

$$\vartheta = 68,5 \text{ cm } \vartheta' = 111,507 \text{ cm.}$$

$$I_{ext} = 22676299 \text{ cm}^4$$

$$Boutte = 7795,6 \text{ cm}^2 \quad \} \text{ poutre + dalle.}$$

$$\begin{aligned} \vartheta &= 65,835 \text{ cm } \vartheta' = 86,165 \\ I &= 13854292,6 \text{ cm}^4 \\ a &= 8108 \text{ cm}^2 \end{aligned}$$

à la mise en tension $P_1 = 0,94 P_0 = 608,14 t.$

$$\begin{aligned} F.S : \frac{3}{5} \frac{P_1}{B} + \left(\frac{3}{5} P_1 \cdot \epsilon_p + M_m \right) \frac{\vartheta}{I} &= \frac{3}{5} \frac{608,14 \cdot 10^3}{13311} + \left(\frac{3}{5} (608,14 \cdot 10^3) (-69,325) + 262 \cdot 10^3 \right) \cdot \frac{64,767}{13311 \cdot 9,73} \\ &= 50,6 \text{ kg/cm}^2 > -27 = \bar{\sigma}_m \quad \text{vérifié} \end{aligned}$$

$$F.I : \frac{3}{5} \frac{P_1}{B} - \left(\frac{3}{5} P_1 \cdot \epsilon_p + M_m \right) \frac{\vartheta'}{I} = 101,5 \text{ kg/cm}^2 < 130 \text{ kg/cm}^2. \quad \text{vérifié}$$

Exploitation à long terme $P_2 = 0,68 P_0 = 440,4 t.$

$$F.S : \frac{P_2}{B} + \left(P_2 \cdot \epsilon_p + M_H \right) \frac{\vartheta}{I} \leq \bar{\sigma}_m \rightarrow \frac{440,4 \cdot 10^3}{13311} + \left(440,4 \cdot 10^3 / -96,667 + 645 \cdot 10^3 \right) \frac{64,767}{13311 \cdot 9,73} = 107 < 210 \quad \text{vérifié}$$

$$F.I : \frac{P_2}{B} - \left(P_2 \cdot \epsilon_p + M_H \right) \frac{\vartheta'}{I} \geq \bar{\sigma}_m \rightarrow \frac{440,4 \cdot 10^3}{13311} - \left(440,4 \cdot 10^3 / -96,667 + 645 \cdot 10^3 \right) \frac{86,165}{13311 \cdot 9,73} = -15 > -27 \text{ kg/cm}^2$$

La section de béton est donc bien dimensionnée.

vérifiée.

tracé des câbles

Dans la section médiane les contraintes dues à la flexion sont maximales on donnera alors à la précontrainte une excentricité maximale. Au fur et à mesure que les contraintes dues à la flexion diminuent en allant vers les appuis on établit l'équilibre en diminuant l'excentricité que l'on annule ou presque aux appuis où l'on a alors pour la même précontrainte une contrainte de compression, on procède alors à un relèvement progressif des câbles dans le plan vertical de la poutre.

tracé individuel des câbles

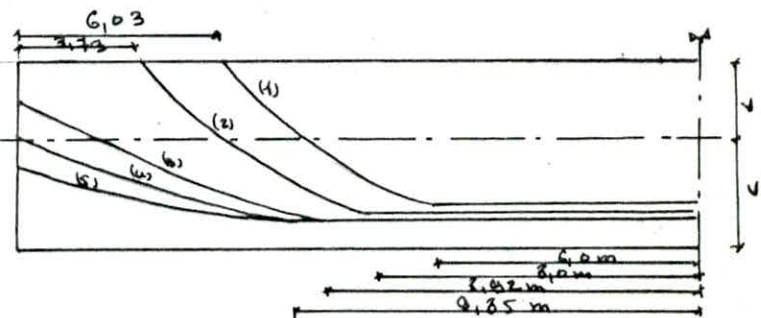
Relèvement des câbles :

t_0 = zone de relèvement des câbles et talusque : $\frac{f}{4} t_0 \leq \frac{f}{3}$ l'épaisseur de la dalle

α = angle de relèvement des câbles : câble d'about $0^\circ < \alpha < 20^\circ$ poutre

" emporté $\alpha = 24,23^\circ$ (standard)

R = rayon de courbure des câbles $R \geq 800 d$ d = diamètre des câbles.
(d'intérieur)



Les câbles présentent un relèvement parabolique d'équation $y = ax^2$

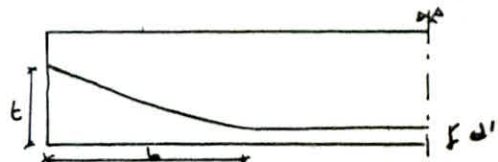
$$\frac{dy}{dx} = \operatorname{tg} \alpha = 2ax$$

$$\text{Pour } x = t_0 \rightarrow y = a t_0^2 \quad \operatorname{tg} \alpha = 2at_0$$

$$y = t - d' = at^2 = \frac{1}{2} \operatorname{tg} \alpha \cdot t$$

$$\text{Si on } t_0 = \frac{2(t-d')}{\operatorname{tg} \alpha}$$

$$a = \frac{\operatorname{tg} \alpha}{2t_0}$$



N° du câble	t (m)	d' (m)	α ($^\circ$)	b (m)	a (m^{-2})
1	150	25,1	24,23	5,58	0,0405
2	150	18,1	24,23	5,86	0,0384
3	134,66	10,5	16	8,66	0,0176
4	106,66	10,5	14	7,71	0,016
5	78,66	10,5	10	7,73	0,0114

calcul des caractéristiques nettes de sections et de excentricités du câble équivalent : le calcul des caractéristiques géométriques nettes sera fait pour la section poutre + dalle.

$$S_{net} = V = \frac{S_{brute}}{B_{brute}} = \frac{S_{Lr} - S(\phi)}{B_{Lr} - B(\phi)} ; \quad d' = \frac{\sum d'_i(\phi)}{n} ; \quad S(\phi) = B(\phi) \cdot d'$$

$$I_{net} = I_{brute} - I_b(\phi) \quad I_{Gnet} = I_{brute}^{net} - S_{brute}^{net} \cdot r_i$$

S_{Lr} = moment statique de la section brute / à la fibre inférieure

S_{brute} = " " " " " nette / " " " "

B_{brute} = section brute, B_{Lr} = section lourde.

$B(\phi)$ = section des câbles

I_{Lr} = moment d'inertie de la section / si l'axe partant par le c.c.d.g de la section.

excentricité du câble équivalent

$$\left\{ \begin{array}{l} N = \sum P_{\text{cables}} = \text{effort horizontal} \\ V = \sum P_{\text{cables}} = \text{effort vertical.} \end{array} \right.$$

soit z_i la distance du point d'application du câble i à la fibre inférieure et z_c la distance du point d'application du câble équivalent à la fibre inférieure

$$z \cdot N = \sum z_i P_{\text{cables}} = P \sum z_i \cos \alpha_i \Rightarrow z = \frac{\sum z_i \cos \alpha_i}{\sum \cos \alpha_i} = e_p.$$

l'excentricité du câble équivalent est par rapport au centre de gravité de la section nette $V' - z_c$.

section d'about :

	α_i	α_c	$\cos \alpha_i$	z_i	$z_i \cos \alpha_i$
3	134,66	16	0,961	28	26,908
4	106,66	14	0,970	0	0
5	78,66	10	0,985	-28	-27,58

$$J_{eq} = \frac{\sum z_i^2}{n} = 106,66 \text{ cm}^4.$$

$$z_c = \frac{\sum z_i \cos \alpha_i}{\sum \cos \alpha_i} = -0,123 \text{ cm}.$$

caractéristiques géométriques de la section poutre + double:

	Dimensions	$B(\text{cm}^2)$	$Z(\text{cm})$	$S_n = B \cdot z$	I_{ext}^{flut}	I_{int}^{flut}
Stirr	-	934,3	106,66	996524	26810760	-
trous	$3,11 \cdot (\frac{\pi}{4})^2$	118,5	+12319	26,565	60342,9	-
section nette		9227,5		986204,8	-	28750477

$$V'_{\text{net}} = \frac{S_{\text{net}}}{B_{\text{ext}}} = 106,66 \text{ cm}.$$

$$V = 63,34 \text{ cm}.$$

$$C^2 = 3116 \text{ cm}^2$$

tableau des caractéristiques géométriques de sections nettes et l'excentricité e_p :

Sections	$B(\text{cm}^2)$	$I(\text{cm}^4)$	$V(\text{cm})$	$V'(\text{cm})$	$C^2(\text{cm}^2)$	$e_p(\text{cm})$
Section d'about	9227,5	28750477	63,34	106,66	3116	-0,123
Section juste avant l'emergence du câble (2)	9189	28192095	62,67	104,33	3068	-62,66
section juste après l'emergence du câble (3)	9227,5	28261869	62,49	107,51	3063	-68,74
section juste avant l'emergence du câble (1)	9150,6	27735883	62,12	107,78	3031	-56,09
section juste après l'emergence du câble (1)	9189	27804198,5	62,05	107,95	3026	-48,87
Section à L/4	7796	228314106	56,24	113,76	2929	-93,68
Section médiane.	7796	226762056	56,1	113,89	2907	-93,95

Perte et chutes de tension.

- Les pertes de tension sont classées en deux familles :
- pertes instantanées qui se produisent dans un temps relativement court au moment de la mise en tension ; ces pertes sont de pertes à court terme.
 - pertes différées : qui se produisent après que la structure ait été précontrainte ce sont des pertes à long terme.

Les pertes instantanées sont :

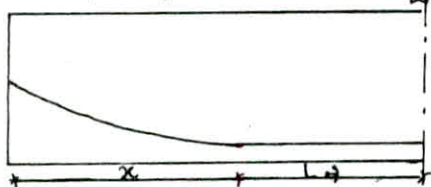
- les pertes par frottement
- les pertes par recul d'ancrage
- les pertes dues au raccourcissement instantané du câble.

Les pertes différées sont :

- les pertes dues au retrait
- " " " due au fléchissement
- " " " à la relaxation des armatures

Calcul de pertes instantanées

Perte par frottement : $\Delta \sigma_q = \sigma_{p0} (\gamma (x_0) + \gamma_{p-x})$.



$\alpha(x)$: angle de relevage du câble (rad)
 γ : coefficient de frottement sur courbe (rad)
 γ_p : " " " " par unité de longueur (m⁻¹)
 x : longueur du câble entre l'origine et la section étudiée
 σ_{p0} : la tension à l'origine.

$$\text{La longueur courbe } L_c = \int ds = \int \sqrt{dx^2 + dy^2} = \int \sqrt{1 + (\frac{dy}{dx})^2} dx = \int \sqrt{1 + (2ax)^2} dx$$

$$L_c = \frac{1}{4a} \left[\ln(2ax + \sqrt{1 + (2ax)^2}) + 2ax \sqrt{1 + (2ax)^2} \right]$$

Perte par frottement entre la section d'about et la section médiane.

câble	α	x_c	$a(m^{-1})$	$L_c(m)$	$L_d(m)$	$L(m)$	$\Delta \sigma_q$
1	24,23	5,55	0,0405	5,69	6	11,69	1325
2	24,23	5,86	0,0384	6,05	8	14,05	1387
3	16	8,66	0,017	8,79	8,92	17,70	1140
4	14	7,71	0,016	7,79	8,66	16,45	1023
5	10	7,73	0,0114	7,77	8,66	16,43	856

$$\Delta \sigma_q^{moy} = 1147 \text{ kg/cm}^2$$

Perte par frottement entre la section d'about et la section d'émergence du câble

câble	α	$L_c = x_c = L$	$\Delta \sigma_q$
2	24,23	-	-
3	9,52	3,73	497
4	7,23	3,73	404
5	5,2	3,73	317

$$\Delta \sigma_q^{moy} = 406 \text{ kg/cm}^2$$

Perte par frottement entre la section d'about et la section d'énergie du câble (1)

Câble	α	$x_c = L_c = L$	$\Delta \sigma_q$
2	15,25	2,04	118
3	5,11	6,03	374
4	3,1	6,03	290
5	2,2	6,03	253

$$\Delta \sigma_q^{\text{moy}} = 260 \text{ kg/cm}^2$$

Perte par rentré d'avantage.

Ces pertes sont dues au raccourcissement du câble après mise en tension.

$$X = \sqrt{\frac{q \cdot E_p \cdot l}{\Delta \sigma_q}} \rightarrow \Delta \sigma_{\text{rentr}} = q \cdot E_p \cdot \frac{X - x}{x^2} \quad q = 6 \text{ mm} \quad E_p = 2 \cdot 10^6 \text{ kg/cm}^2$$

Câble	X	0	3,73	6,03	L/2
1	10,54	-	-	-	0
2	11,30	-	-	1040	0
3	14,10	1726	1321	1025	0
4	14,23	1700	1307	1021	0
5	15,55	1560	1232	992	0
$\Delta \sigma_{\text{rentr}}$	-	1662	1287	1020	0

perte par raccourcissement instantané du béton.

La perte moyenne par câble est :

$$\Delta \sigma_{\text{rac}} = \frac{1}{2} \sigma_b \cdot \frac{E_p}{E_{b,c}} ; \sigma_b \text{ est la contrainte dans le béton sous les actions de la charge calculée dans l'axe du câble moyen.}$$

$$\sigma_b = \frac{M_g \cdot E_p}{I} + \frac{\sigma_p \cdot A_p}{B} \left(1 + \frac{E_p^2}{C^2} \right) .$$

avec $x = L/2$:

$$\sigma_b = \frac{333,10^5 (-98,95)}{2267620,63} + \frac{(12164 - \Delta \sigma_{\text{rac}}) \cdot 9,73 \cdot 5 \left(1 + \frac{(98,95)^2}{2907} \right)}{7796} = 164,5 - 0,0273 \Delta \sigma_{\text{rac}}$$

$$\text{avec } \sigma_p = \sigma_{p0} - \Delta \sigma_q - \Delta \sigma_g - \Delta \sigma_{\text{rac}} = 1331 - 1147 - 0 - \Delta \sigma_{\text{rac}} = 12164 - \Delta \sigma_{\text{rac}}$$

$$\Delta \sigma_{\text{rac}} = \frac{1}{2} (164,5 - 0,0273 \Delta \sigma_{\text{rac}}) \cdot \frac{2 \cdot 10^6}{20000 \sqrt{370}} \quad \text{équation du 1er degré}$$

$$\text{d'où } \Delta \sigma_{\text{rac}} = 345 \text{ kg/cm}^2$$

section	$x=0$	$x=3,73$	$x=6,03$	$x=L/2$
σ_{p0}	-0,123	-56,09	-62,46	-98,95
M_g	0	20213	126	383
$\Delta \sigma_{\text{rac}}$	162	187	125	435

tableau récapitulatif de perte instantanée:

	$x=0$	$x=3,73$	$x=6,03$	$x=L/2$
$\Delta \sigma_q$	-	406	260	1147
$\Delta \sigma_g$	1662	1287	1020	0
$\Delta \sigma_{\text{rac}}$	162	125	187	435
$\Delta \sigma_{\text{inst}}$	1824	1813	1467	1492

$$\Delta \sigma_{\text{inst}}^{\text{moy}} = 1650 \text{ kg/cm}^2$$

calcul des pertes différences :

$$\text{pertes dues au retrait : } \Delta \sigma_{\text{ret}} = \epsilon_r \cdot \sigma_p = 3,10^4 \cdot 2,10^6 = 600 \text{ kg/cm}^2 \text{ constante en tout point}$$

$$\text{pertes dues à la relaxation de l'armature : } \Delta \sigma_{\text{rel}} = 6 \cdot 10^2 f_{1000} (\mu - \mu_0) \cdot G_p ; \quad \mu = \frac{\sigma_{p_c}}{f_{p_{eq}}} ; \quad \mu_0 = 0,43 \text{ (armature TB 2)}$$

$$= 6 \cdot 10^2 \cdot 2,5 \left(\frac{11661}{18490} - 0,43 \right) \cdot 11661 ; \quad f_{1000} = 2,5 ; \quad \sigma_{p_c} = \sigma_{p_0} - \Delta \sigma_{\text{rest}}$$

$$\Delta \sigma_{\text{rel}} = 351 \text{ kg/cm}^2.$$

pertes dues au flageage du béton.

$$\Delta \sigma_{\text{ff}} = (\sigma_b + \sigma_n) \cdot \frac{\epsilon_p}{E_{\text{beton}}}$$

σ_n est la contrainte max de compression du béton au niveau du câble équivalent oblique à la mise en tension.

σ_b est la contrainte finale dans le béton au niveau du câble équivalent lorsque toutes les pertes différences ne sont prises en compte.

$$\text{avec } x = L/2 : \quad \sigma_n = \pi q \frac{\epsilon_p}{I} + \frac{\sigma_{p_c} A_p}{B} \left(1 + \frac{\epsilon_p^2}{c^2} \right) = \frac{383 \cdot 10^5 (-98,95)}{22676205,63} + \frac{11661 \cdot 9,73 \cdot 5}{7796} \left(1 + \frac{(98,95)^2}{2907} \right) = 151$$

$$\sigma_b = \sigma_n - \Delta \sigma_{\text{ff}} \cdot \frac{A_p}{B} \left(1 + \frac{\epsilon_p^2}{c^2} \right) ; \quad \Delta \sigma_{\text{ff}} = \Delta \sigma_{\text{rest}} + \Delta \sigma_{\text{rel}} + \Delta \sigma_{\text{ff}}$$

$$\sigma_b = 151 - \frac{(892,5 + \Delta \sigma_{\text{ff}}) 9,73 \cdot 5}{7796} \left(1 + \frac{(98,95)^2}{2907} \right) = 130 - 0,0273 \Delta \sigma_{\text{ff}}.$$

$$\Delta \sigma_{\text{ff}} = (151 + 130 - 0,0273 \Delta \sigma_{\text{ff}}) \cdot \frac{2 \cdot 10^4}{24000 \sqrt{3} \pi} = \text{équation du } 1^{\text{er}} \text{ degré} \rightarrow$$

$$\Delta \sigma_{\text{ff}} = 1132 \text{ kg/cm}^2.$$

	$x=0$	$x=3,73$	$x=6,03$	$x=L/2$
σ_n	37	56	84,16	151
$\Delta \sigma_{\text{ff}}$	306	458	674	1132

Suivant l'IP II :

$$\Delta \sigma_{\text{diff}} = \begin{cases} \Delta \sigma_{\text{rest}} + \Delta \sigma_{\text{ff}} + \Delta \sigma_{\text{rel}} - \frac{\Delta \sigma_{\text{rest}} (\Delta \sigma_{\text{rest}} + \Delta \sigma_{\text{ff}})}{\sigma_{p_c} - 0,55 f_{p_{eq}}} & \text{si } \Delta \sigma_{\text{rest}} + \Delta \sigma_{\text{ff}} < \sigma_{p_c} - 0,55 f_{p_{eq}} \\ \Delta \sigma_{\text{rest}} + \Delta \sigma_{\text{ff}} & \text{si } \Delta \sigma_{\text{rest}} + \Delta \sigma_{\text{ff}} > \sigma_{p_c} - 0,55 f_{p_{eq}}. \end{cases}$$

tableau récapitulatif des pertes différences :

	$x=0$	$x=3,73$	$x=6,03$	$x=L/2$
$\Delta \sigma_{\text{rest}}$	600	600	600	600
$\Delta \sigma_{\text{rel}}$	351	351	351	351
$\Delta \sigma_{\text{ff}}$	306	458	674	1132
Σ	1257	1409	1625	2083

$$\Delta \sigma_{\text{diff}}^{\text{moy.}} = 1594 \text{ kg/cm}^2.$$

tableau récapitulatif des pertes totales :

	$x=0$	$x=3,73$	$x=6,03$	$x=L/2$
$\Delta \sigma_{\text{rest}}$	1824	1818	1467	1492
$\Delta \sigma_{\text{diff}}$	863	1062	1168	1732
$\Delta \sigma_{\text{totale}}$	2687	2880	2635	3224

$$\Delta \sigma_{\text{tot}}^{\text{moy.}} = 2856 \text{ kg/cm}^2$$

ces pertes représentent 21% de σ_p

Fuseaux limites :

Def : Le fusau limite est une zone limitée par 2 courbes pour laquelle les contraintes limites doivent respecter lorsque le centre de pression des efforts se déplace à l'intérieur de celui-ci.

1^{er} fusau limite : si le fusau à l'intérieur duquel doit se trouver le câble équivalent pour qu'il n'y ait pas de traction, quelque soit le cas de charge sur les 2 filres extrêmes et est défini par les valeurs de l'excentricité $e_1 = a' - \frac{M_G}{N}$ et $e_2 = a - \frac{M_G + M_Q}{N}$ $a = \frac{c^2}{V_1}$, $a' = -\frac{c^2}{V_1}$

2^{de} fusau limite : si le fusau à l'intérieur duquel doit se trouver le câble équivalent pour que la contrainte maximale reste inférieure ou égale à la contrainte limite $\bar{\sigma}$ les valeurs limites de l'excentricité sont : $s = (\frac{\bar{\sigma} \cdot B}{N} - 1) \frac{c^2}{V_1} - \frac{M_G + M_Q}{N}$ (en charge)

1^{er} fusau limite :

$$s' = -(\frac{\bar{\sigma} \cdot B}{N} - 1) \frac{c^2}{V_1} - \frac{M_G}{N} \quad (\text{à vide}).$$

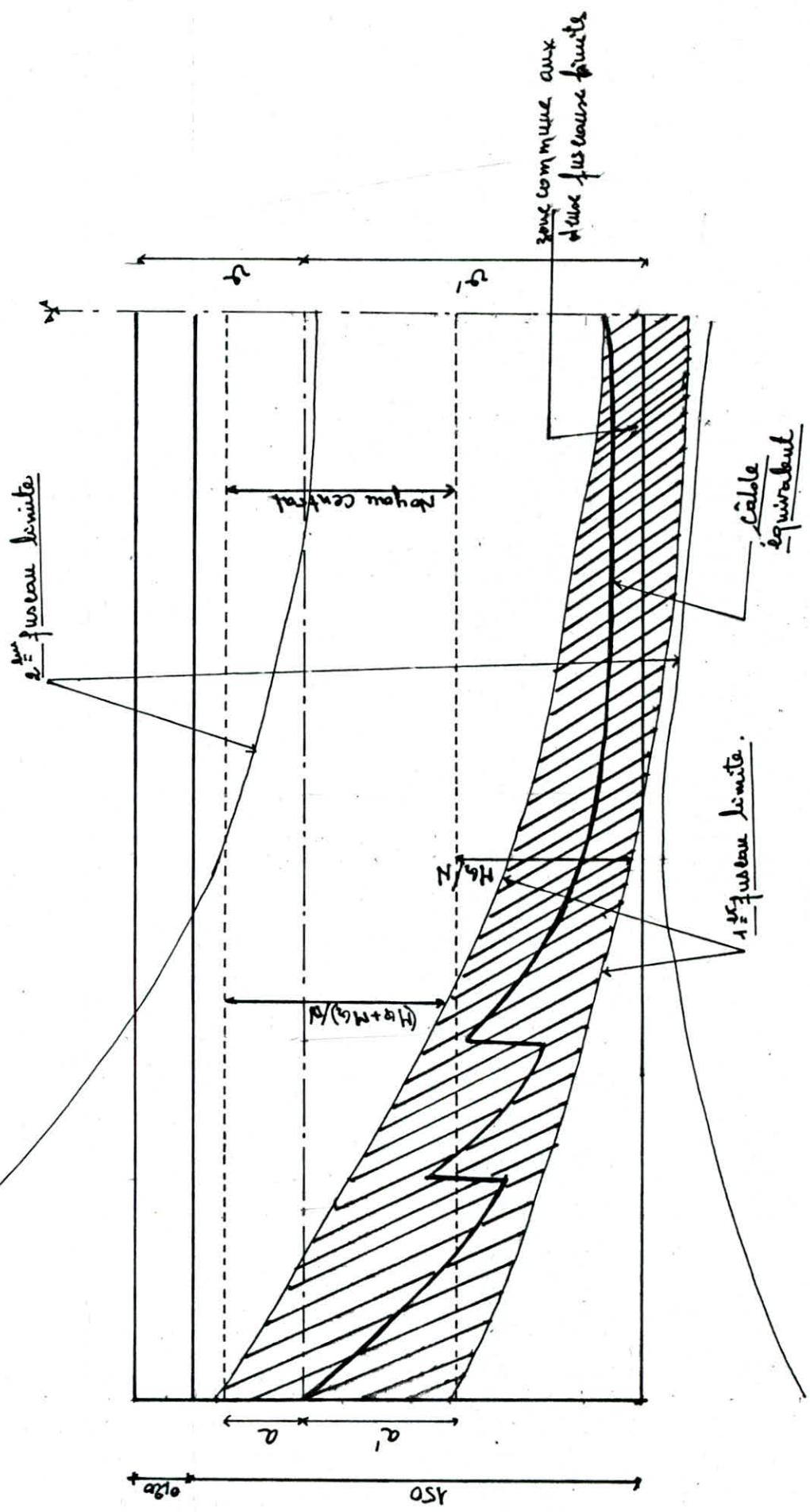
x	0	L14	L12
M_G	0	291	383
M_Q	0	195	262
N	302,6	503	508,4
M_G/N	0	58	75,3
$(M_G + M_Q)/N$	0	96,6	127
a'	-49,2	-52,08	-51,82
a	29,2	25,75	25,82
$e_1 = a' - M_G/N$	-49,2	-10,08	-127
$e_2 = a - \frac{M_G + M_Q}{N}$	29,2	-70,85	-101,5

2^{de} fusau limite :

x	0	L14	L12
B	9227,6	7796	7796
N	302,6	503	508,4
c^2/V_1	49,2	52,08	51,82
c^2/V_1	29,2	25,75	25,82
M_G/N	0	58	75,3
$(M_G + M_Q)/N$	0	96,6	127
$\bar{\sigma} \cdot B / N$	6165	3,4	3,37
D	278	28,4	-4,2
a'	-165	-120	-136

A partir de ces résultats (évaluation de parts de traction nulle et calcul des deux fuseaux limite) nous pourrons tracer le schéma du câble équivalent et les domaines à l'intérieur duquel il peut se déplacer sans que les contraintes limite de compression et de traction soient dépassées.

Cable équivalent et fuscaire limite



Vérification des contraintes normales.

Differentes phases à l'exécution

Phase "1": on boule la poutre après durcissement suffisant de celle-ci (+jrs) on procède à la mise en tension des cables d'about.

* section résistante est la poutre seule.

* les contraints sont ceux des 3 cables et le poids propre de la poutre

* les pertes différées à ce stade ne sont pas encore contommées.

Phase "2": on pose les poutres sur leur appuis, on caule la dalle les fixations sont:

* poids propre de la poutre + dalle.

* précontrainte résiduelle de la 1^{re} série de cables.

* section résistante : poutre seule.

Phase "3": on procède à la mise en tension des cables en surcharge. les contraints sont:

* poids propre de la poutre + dalle

* précontrainte résiduelle de la 1^{re} série de cable

* précontrainte des cables en surcharge.

* section résistante et la poutre + dalle.

Phase "4": on met en place les trottoirs, glissiers et garde corps.

les efforts sont: poids propre de la poutre + dalle

" " " des trottoirs, glissiers, garde corps.

section résistante: poutre + dalle.

Phase 5: cette phase est une phase de vérification à l'état limite de service.

Determination de la largeur des tables de compression :

$$b \leq \inf \left\{ \begin{array}{l} L/10 = 3,40 \text{ m} \\ b_0 = 1,435 \text{ m} \end{array} \right.$$

2/3 de la distance à l'about le plus proche

on ne doit pas attribuer une même zone de charge simultanément à deux portes différentes $\rightarrow b = 1,435 \text{ m}$.

calculs justificatifs:

en phase de construction on doit vérifier que:

$$\text{F.S. : } \frac{P}{B} + (P_{\text{ep}} + M_m) \frac{v}{I} \geq \bar{\sigma}_m \quad \bar{\sigma}_m \text{ en valeur algébrique}$$

et

$$\text{F.I. : } \frac{P}{B} - (P_{\text{ep}} + M_m) \frac{v'}{I} \leq \bar{\sigma}_M$$

en service à long terme on doit vérifier que:

$$\text{F.S. } \frac{P}{B} + (P_{\text{ep}} + M_m) \cdot \frac{v}{I} \leq \bar{\sigma}_m$$

$$\text{et F.I. } \frac{P}{B} - (P_{\text{ep}} + M_m) \cdot \frac{v'}{I} \geq \bar{\sigma}_m \quad \bar{\sigma}_m \text{ en valeur algébrique.}$$

Situation de construction:

Tensions limites à f�: $f_{c7} = 0,685 \cdot 350 \log(1+1) = 217 \text{ kg/cm}^2 \rightarrow \sigma_H = 0,6f_{c7}$
 $\sigma_H = 130 \text{ kg/cm}^2$

$-f_{t7} = 6 + 0,06 \cdot 217 = -19 \text{ kg/cm}^2$. dans la section d'euroelage.

$-1,5f_{t7} = -28,5 \text{ kg/cm}^2$ hors section d'euroelage.

Tensions limites à g8 fgs: $f_{c28} = 350 \text{ kg/cm}^2 \rightarrow \sigma_m = 0,6f_{c28} = 210 \text{ kg/cm}^2$

$-f_{t28} = -(6 + 0,06 \cdot f_{c28}) = -27 \text{ kg/cm}^2$

$-1,5f_{t28} = -40,5 \text{ kg/cm}^2$.

Nous procéderons à la vérification de la section médiane :
Caractéristiques géométriques de la section médiane :

Caract. géom.	B (cm²)	I (cm⁴)	V (cm)	V' (cm)	C² (cm²)	ep (cm)
Portée plate	4915,6	12869468,6	63,13	86,87	2618	-71,93
Portée + dalle	779,6	22676209,6	56,10	113,89	2907	-98,95

Phase "1":

$$\sigma_{pc} = 1,02 \cdot 13311 - 0,8 \cdot 1650 = 12257 \text{ kg/cm}^2$$

$$M_H = 204,5 \text{ t.m.}$$

F.S | $\sigma_p = \frac{P}{B} \left(1 + \frac{f_p V}{C^2} \right) = \frac{12257 \cdot 9,73 \cdot 3}{4915,6} \left(1 + \frac{(-71,93) \cdot 63,13}{2618} \right) = -54 \text{ kg/cm}^2$

| $\sigma_g = \frac{M_g \cdot V}{I} = \frac{204,5 \cdot 10^5 \cdot 63,13}{12869468,6} = 100,3 \text{ kg/cm}^2$

F.I | $\sigma_p = \frac{P}{B} \left(1 - \frac{\sigma_p \cdot V'}{C^2} \right) = \frac{12257 \cdot 9,73 \cdot 3}{4915,6} \left(1 - \frac{(-71,93) \cdot 86,87}{2618} \right) = 246,5 \text{ kg/cm}^2$

| $\sigma_g = -\frac{M_g V'}{I} = -\frac{204,5 \cdot 10^5 \cdot (86,87)}{12869468,6} = -138 \text{ kg/cm}^2$

À la fin de la 1^{re} mise en tension la 1^{re} série de tables subit une perte estimée à $\frac{1}{3}$ et pour la section médiane caractéristique de Merville : $\sigma_{pc} = 1,02 \cdot 12257 - 0,8 \left(\frac{1}{3} \cdot 1211 \right) = 12180 \text{ kg/cm}^2$

Contrainte	σ_p	σ_g	σ_{eff}	σ_{limite}
F.S	-54	100,3	46,3	19
F.I	246	-138	107	130

Phase "2": $M_H = 280 \text{ t.m.}$

contrainte résiduelle de la 1^{re} série de tables: $1,02 \cdot 12180 - 0,8 \left(\frac{1}{3} \cdot 1211 \right) = 12100 \text{ kg/cm}^2$
 (on suppose que les tables subissent une perte estimée à $\frac{1}{3}$ de 6%).

	σ_p	σ_g	σ_{eff}	σ_{limite}
F.S	-53	154	101	27
F.I	243	-212	31	210

Phase "3": précontrainte résiduelle des tables de la 1^{re} série (les tables subissent une perte estimée à $\frac{1}{3}$ de 6%): $\sigma_{pc1} = 12100 \cdot 1,02 - 0,8 \left(\frac{1}{3} \cdot 1211 \right) = 12910 \text{ kg/cm}^2$
 précontrainte de la 2^{re} série de tables: $1,02 \cdot 13311 - 0,8 \cdot 1650 = 12257 \text{ kg/cm}^2$
 à la fin de la mise en tension les tables émergent centralement subissent une perte estimée à $\frac{1}{3}$ de 6%. $\sigma_{pc2} = 12257 \cdot 1,02 - 0,8 \left(\frac{1}{3} \cdot 1211 \right) = 12180 \text{ kg/cm}^2$

d'où $P_1 = 12018,9 + 3,3 = 350,8 t$
 $P_2 = 12180,9 + 3,2 = 234 t$. $\rightarrow P = 584,8 t$.
 $H_G = 315 \text{ t.m.}$

	σ_p	σ_g	σ_{eff}	σ_{limite}
F.S	-68,7	+8,0	9,30	27
F.I	367	-160	207	210

phase "4"

La 1^{re} série de tables a subit toutes les pertes: $\sigma_{P_1} = 12018 \text{ kg/mm}^2$
La 2^{re} série de table va subir une perte estimée à $\frac{1}{3} \Delta \sigma_d \rightarrow \sigma_{P_2} = 12100 \text{ kg/mm}^2$
 $P_1 = 350,8 t$
 $P_2 = 235 t \rightarrow P = P_1 + P_2 = 585,8 t$.
 $H_G = 354 \text{ t.m.}$

	σ_p	σ_g	σ_{eff}	σ_{limite}
F.S	-66	+1,70	21,70	27
F.I	354	-178	176	210

phase "5"

La diminution d'action la plus défavorable est provoquée par le convoi D (poutre P0), d'où $M = H_G + M_{CD} = 383 + 262 = 645 \text{ t.m.}$
Les tables ont subit toutes les pertes, la courbure caractéristique en Mmeille à long terme est:

$$\begin{aligned} \sigma_{P_1} &= 1,02 \cdot \sigma_{P_0} - 0,8 \Delta \sigma_{tot} \\ &= 1,02 \cdot 13311 - 0,8 \cdot 2856 \\ &= 112032,4 \text{ kg/mm}^2 \end{aligned} ; \quad \begin{aligned} \sigma_{P_2} &= 0,98 \sigma_{P_0} - 1,2 \Delta \sigma_{tot}^{(x=4)} \\ &= 0,98 \cdot 13311 - 1,2 \cdot 2856 = 9617,6 \text{ kg/mm}^2 \end{aligned}$$

d'où $P = 508,7 t$.

Justification des courbures extrêmes:

$$\begin{aligned} F.S \quad | \quad \sigma_p &= \frac{508,7 \cdot 10^3}{7796} \left(1 + \frac{(-97,95) \cdot 56,1}{2807} \right) = -60,0 \text{ kg/mm}^2 \\ | \quad \sigma_g &= \frac{645 \cdot 10^6 \cdot 56,1}{22676205,6} = 160 \text{ kg/mm}^2 \end{aligned}$$

$$\begin{aligned} F.I \quad | \quad \sigma_p &= \frac{508,7 \cdot 10^3}{7796} \left(1 - \frac{(-97,95) \cdot 113,89}{2807} \right) = 312,8 \text{ kg/mm}^2 \\ | \quad \sigma_g &= \frac{-645 \cdot 10^6 \cdot 113,89}{22676205,6} = -324 \text{ kg/mm}^2. \end{aligned}$$

	σ_p	σ_g	σ_{eff}	σ_{limite}
F.S	-60	160	100	210
F.I	318	-324	-6	27.

Les courbures limites dans les différents phases sont respectées.

Ferrailage parall longitudinal

Armatures longitudinales de poutre: elles sont disposées dans la zone périphérique de la section.

$$A_{min} \geq \max \left\{ \begin{array}{l} 3 \text{ cm}^2 / \text{m de longueur de parlement} \\ 0,1 \% \text{ de la section du béton de la poutre} = 0,1 \cdot \frac{5660}{100} = 5,66 \text{ cm}^2 \end{array} \right.$$

Armatures longitudinales dans la zone tendue

Règle de non fragilité: $A_s = \frac{B_f}{1000} + \frac{N_{Br}}{f_e} \cdot \frac{f_{tg}}{\sigma_{bt}}$;
 N_{Br} = résultante des effets de tirant
 B_f = section de béton tendu
 f_e = limite élastique des aciers

Partie supérieure de la poutre:

cette partie est tendue lors de la mise en tension de la 2^{me} moitié de câble (généralement).

Dans notre cas la partie supérieure est comprimée; quelque soit la section d'armature, choisie la sécurité est respectée.

Partie inférieure de la poutre:

les armatures seront核算ées à long terme pour l'effet de combinaison rare.

$$A_s = \frac{B_f}{1000} + \frac{N_{Br}}{f_e} \cdot \frac{f_{tg}}{\sigma_{bt}} \quad \frac{x}{x} = 4000 \text{ kg/cm}^2$$

$$N_{Br} = \frac{\sigma_{bt} \cdot y \cdot b}{2} = \frac{6 \times 9,62}{2} \cdot 4 \text{ t} \quad (b = \text{largeur du talon})$$

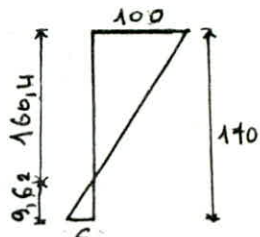
$$N_{Br} = 1356,4 \text{ kg} \rightarrow B_f = \frac{N_{Br}}{\sigma_{bt}} = \frac{1356,4}{6} = 226 \text{ cm}^2$$

d'où

$$A_s = \frac{1}{1000} \left(226 + 10 \cdot \frac{1356,4}{4000} \cdot \frac{27}{6} \right) = 1,45 \text{ cm}^2.$$

on choisira des T12 soit $4 \text{ T12} = 4,52 \text{ cm}^2$ qui sera disposée dans le talon de la poutre.

Armatures longitudinales définitive: $3 \text{ cm}^2 / \text{m de longueur de parlement}$, les armatures vont être placées sur la périphérie soit $4,52 \text{ cm}^2 = 7,52 \text{ cm}^2$ qui est supérieur à la valeur minimale admise ($0,1\% B = 5,66 \text{ cm}^2$).



Vérification des contraintes tangentielles

Contraintes tangentielles dues à la torsion

Principe de calcul des contraintes tangentielles de torsion sollicitant l'âme

1) Inertie de torsion de la section composée:

Pour une section $a \times b$ avec $a < b$ on calcule $\frac{b}{a}$, on trouve la constante K des tables LACROIX-FUENTES, l'inertie de torsion est alors égale à $I_T = K \cdot a^3 \cdot b$.

2) Moment de torsion revenant à l'âme

Le moment de torsion revenant à l'âme est donné par la formule suivante:

$$M_{t(\text{âme})} = M_{xy} = \frac{I_T(\text{âme})}{\sum I_T(\text{talon, âme, table})}$$

La contrainte tangentielle de torsion sera:

$$\tau_T(T) = M_{t(\text{âme})} \cdot \frac{r}{a^3}$$

$r = f (f = \frac{b}{a})$ et donné dans l'aide mémoire de béton armé dans le chapitre réservé à la torsion.

Principe de justification: on doit avoir au tout point $\sigma_T + \sigma_V \leq \bar{\sigma}$

σ_T = contrainte de cisaillement due à la torsion

σ_V = contrainte .. " " " " l'effort tranchant.

Calcul des contraintes dues à la torsion dans différents sections

Zone	a (cm)	b (cm)	$f = b/a$	K	$I_T = K \cdot a^3 \cdot b$
1	35	124	3,54	0,253	0,01345
2	23,5	96	1,02	0,165	0,00064
3	23,5	96	1,02	0,165	0,00064
4	35	71,75	2,05	0,231	0,00411
5	35	71,75	2,05	0,231	0,00411

$$f = 3,54 \rightarrow I = 1,015$$

$$\sum I_T = 0,030 \text{ m}^4$$

Pour la section $x=1/4$ $a = 21 \text{ cm} \rightarrow f = 5,8 \rightarrow K = 0,301 \rightarrow I_T = 0,00346 \text{ m}^4$
 $\tau = 0,57 \quad \sum I_T = 0,01018 \text{ m}^4$

Section	$x=0$	$x=3,73$	$x=6,03$	$x=11,4$	$x=12$
M_{xy}	11,4	11,0	10,18	9,2	0
$M_{t(\text{âme})}$	5,1	4,93	4,56	1,68	0
$\tau_T (\text{t})$	12,0	11,67	10,8	10,34	0

La justification des contraintes tangentes doit montrer que nous l'effet de précontrainte de service dans le cas des charges les plus défavorables et quelle que soit la section considérée l'on est en tout point à l'intérieur du domaine de sécurité on doit donc vérifier que :

$$R^2 \leq 0,14 f_{tj} (f_{tj} + \sigma_x) = \bar{C}^2$$

et

$$C^2 \leq 2 \frac{f_{tj}}{f_{cj}} (0,16 f_{tj} - \sigma_x) (f_{tj} + \sigma_x)$$

avec $C = C_v + C_T(t)$
 $\Sigma_v = \text{effort tranchant réel}$
 $\Sigma_T = \text{effort tranchant résultant}$

Dans ce qui suit nous donnerons le calcul justificatif pour la section l'about et nous présenterons les autres trois formes de tablettes.

	B(cm²)	I(cm⁴)	L _n (cm)	V _s (cm)	V'(cm)	ε _{contr}	ε _{élast}	ε _P (mm)	C²(cm²)
poutre simple	6347,6	14814603	31,5	67,54	82,46	2,916	0,69	25	2384
poutre+dalle	9227,6	2875017	31,5	63,34	106,66	2,916	0,68	-0,23	3116

l'effort tranchant résultant est $T_r = T - V$ $V = \sum P_i \sin \alpha_i$
 la contrainte de cisaillement due à T_r est : $\tau_c = \frac{T_r \cdot S}{I \cdot b_n}$

S = moment statique de la section de l'âme / au cdg

I = moment d'inertie de la section

b_n = épaisseur nette de l'âme

b_n = b₀ - m · k · φ où m est le nombre de câbles par filet (= 1)
 $k = 0,5$ (câble symétrique).

φ = diamètre de la gaine (f cm)

$$b_n = 35 - 1 \cdot 0,5 \cdot 7 = 31,5 \text{ cm.}$$

Phase "1" (poutre simple).

$$\sigma_{P_1} = 122,57 \text{ kg/cm}^2 \rightarrow N = \sum P_i \cos \alpha_i = 348 t$$

$$T = 24 t \quad V = \sum P_i \sin \alpha_i = 82,13 t$$

$$\rightarrow T_{red} = T - V = 24 - 82,13 = -58,13 t.$$

$$\tau_c = \frac{T_{red} \cdot S}{I \cdot b_n} \quad S(\text{âme}) = 35 \frac{(82,46)^2}{2} = 118994 \text{ cm}^3.$$

$$\tau_c = \frac{-58,13 \cdot 10^3 \cdot 118994}{14814603 \cdot 31,5} = -16 \text{ kg/cm}^2$$

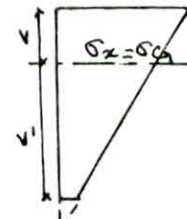
détermination de la contrainte engendrée par la précontrainte due au centre de gravité de la section.

Contrainte produite par N :

$$F.S.: \sigma_s = \frac{348 \cdot 10^3}{6347,6} \left(1 + \frac{25 \cdot 67,54}{2158} \right) = 98 \text{ kg/cm}^2.$$

$$F.I. \quad \sigma_i = \frac{348 \cdot 10^3}{6347,6} \left(1 - \frac{25 \cdot 82,13}{2158} \right) = 2,45 \text{ kg/cm}^2$$

Donc $\sigma_x = \sigma_y = 55 \text{ kg/cm}^2$.



$$\begin{aligned}\bar{\sigma}^2 &= 16^2 \leq 0,4 \cdot 19(19+55) = 24^2 = \bar{\sigma}_1^2 \\ &\leq 2 \cdot \frac{19}{21,5} (130-55)(19+55) = (31)^2 = \bar{\sigma}_2^2 \\ \bar{\sigma} &< \min(\bar{\sigma}_1, \bar{\sigma}_2) = 24 \text{ kg/m}^2.\end{aligned}$$

Phase "2"

$$N = 343t; \quad v = 61t; \quad T = 37,06t. \rightarrow T_{\text{red}} = T - v = -43,94t$$

$$\bar{\sigma} = \frac{-43,94 \cdot 10^3 \cdot 199086}{14814403 \cdot 31,5} = -12 \text{ kg/m}^2. \quad \sigma_s = 95,2 \text{ kg/m}^2 \rightarrow \sigma_a = \sigma_x = 93,1$$

$$\begin{aligned}\bar{\sigma}^2 &= 12^2 \leq 0,4 \cdot 27(27+53,4) = (29,47)^2 \\ &< 2 \cdot \frac{27}{350} (210 - 53,4)(27+53,4) = 44^2.\end{aligned}$$

Phase "3"

$$N = 341t, \quad v = 80,4t, \quad T = 37t \rightarrow T_{\text{red}} = -38,4t$$

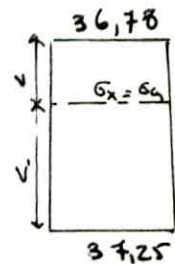
$$\bar{\sigma} = \frac{-38,4 \cdot 10^3 \cdot 199086}{28750417 \cdot 31,5} = -8,5 \text{ kg/m}^2$$

Contrainte produite par N

$$\sigma_s = \frac{341 \cdot 10^3}{9227,6} \left(1 + \frac{(-0,123)63,34}{3116} \right) = 36,78 \text{ kg/m}^2$$

$$\sigma_c = \frac{341 \cdot 10^3}{9227,6} \left(1 - \frac{(-0,123) \cdot 106,66}{3116} \right) = 37,25 \text{ kg/m}^2$$

$$\rightarrow \sigma_a = 36,83 \text{ kg/m}^2$$



$$\begin{aligned}\bar{\sigma}^2 &= (8,5)^2 \leq 0,4 \cdot 27(27+36,83) = (26,3)^2 \\ &< 2 \cdot \frac{27}{350} (210 - 36,83)(27+36,83) = (41,25)^2.\end{aligned}$$

$$\bar{\sigma} = 8,5 < \min(\bar{\sigma}_1, \bar{\sigma}_2) = 26,3 \text{ kg/m}^2.$$

Phase "4":

$$N = 341t \quad v = 80,4t \quad T = 41,65t \rightarrow T_{\text{red}} = -39t$$

$$\bar{\sigma} = \frac{-39 \cdot 10^3 \cdot 199086}{28750417 \cdot 31,5} = -8,6t$$

$$\sigma_s = 35,08t$$

$$\sigma_c = 35,54t \rightarrow \sigma_a = 35 \text{ kg/m}^2$$

$$\bar{\sigma}^2 < 0,4 \cdot 27(27+35) = (26)^2$$

$$< 2 \cdot \frac{27}{350} (210 - 35)(27+35) = (41)^2. \rightarrow \bar{\sigma} < \min(\bar{\sigma}_1, \bar{\sigma}_2)$$

Phase "5":

$$N = 272,1t \quad v = 64,15t \quad T = 47,42t \rightarrow T_{\text{red}} = 13,22t$$

$$\bar{\sigma} = \frac{13,22 \cdot 10^3 \cdot 199086}{28750417 \cdot 31,5} = 21,72 \text{ kg/m}^2$$

Contrainte produite par N

$$\sigma_s = 30,3 \text{ kg/m}^2 \rightarrow \sigma_a = 30,4 \text{ kg/m}^2$$

$$\sigma_c = 30,6 \text{ kg/m}^2$$

$$\bar{\sigma}^2 < 0,4 \cdot 27(27+30,4) = (25)^2$$

avec $\bar{\sigma} = \bar{\sigma}(T) + \bar{\sigma}_T(\text{torsion})$.

$$= 21,72 + 12 = 14,72 \text{ kg/m}^2.$$

	phase 1	phase 2	phase 3	phase 4	phase 5
$ \bar{z} $	16	18	8,5	9,6	9,42
σ_T	-	-	-	-	12
$\min(\bar{z}_1, \bar{z}_2)$	24	29,5	26,3	26	25

Section à l'émergence du câble "2"

	phase 1	phase 2	phase 3	phase 4	phase 5
$ \bar{z} $	6,4	3,3	13,45	12,05	11,03
σ_T	-	-	-	-	11,67
$\min(\bar{z}_1, \bar{z}_2)$	23,6	28,4	26,2	28	26,17

Section à l'émergence du câble "1":

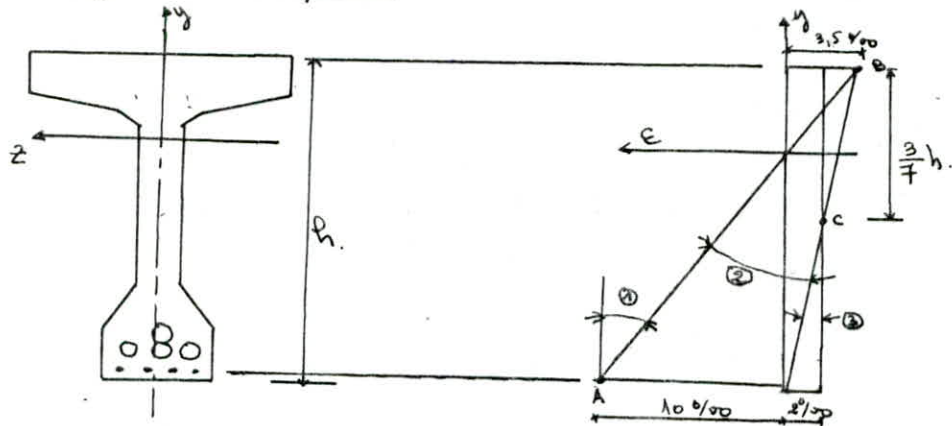
	phase 1	phase 2	phase 3	phase 4	phase 5
$ \bar{z} $	1,44	1,9	14	15,9	1,22
σ_T	-	-	-	-	10,8
$\min(\bar{z}_1, \bar{z}_2)$	24	28,3	30,8	30,65	29

Conclusion: les contraintes limites sont largement respectées.

IX - Calcul aux états limites ultimes

Hypothèses fondamentales:

- La résistance en traction du béton est négligée.
 - Les matériaux béton-acier ne subissent aucun glissement relatif.
 - Les bâtiens droits restent plats.
 - Le diagramme de déformations d'une section correspondant à l'atteinte de l'état limite ultime respecte la règle des trois pivots.
- 1) Justification de la résistance vis à vis des sollicitations normales (M, N):
- Règle des trois pivots



- La flexion composée de traction : l'état limite ultime correspond à l'atteinte de la déformation limite sur les armatures le plus extérieurs qu'elle pourront porter. Le diagramme de déformation passe par le pivot A et la déformation de l'acier correspond à $10\%_0$ donc domaine 1

- Cas de la flexion composée n'entraînant pas une compression complète de la section : l'état limite ultime correspond à l'atteinte de la déformation limite sur les fibres extérieures où le béton est comprimé ($\varepsilon_b = 3,5\%_0$) → pivot B, domaine 2

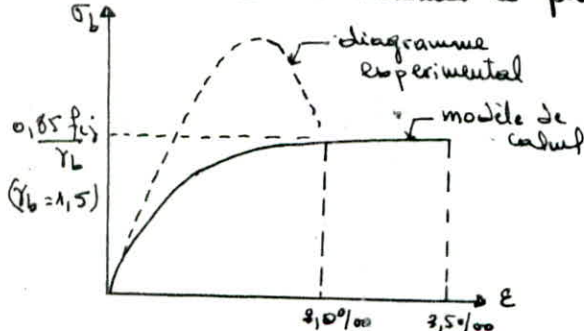
- Cas de la flexion composée de compression (toute la section est comprimée), l'E.L.U correspond à l'atteinte de la déformation limite de compression du béton lorsque $2\%_0 \leq \varepsilon_b \leq 3,5\%_0$, le diagramme de déformation passe alors par le pivot C → domaine 3

Contraintes dans le béton:

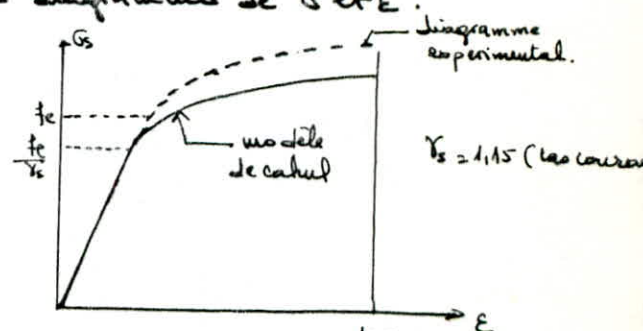
Lorsque la section étudiée n'est pas entièrement comprimée il est visible d'utiliser une distribution de contraintes rectangulaires.

Contraintes dans l'acier:

La contrainte est déterminée à partir des diagrammes de σ et ϵ .

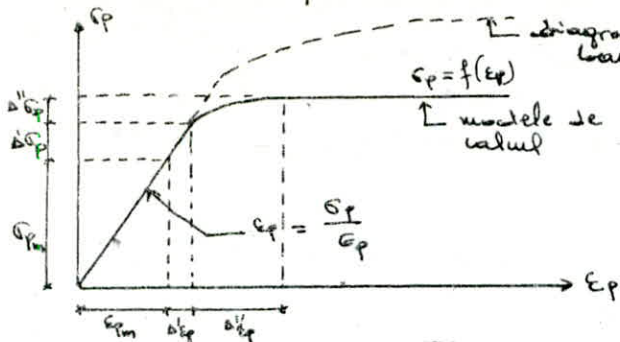


modèle de comportement du béton en compression.



Armatures parallèles.

Calcul des déformations dans le cas des armatures de précontrainte.



$$\epsilon_p = \frac{\sigma_p}{\epsilon_p} + 100 \left(\frac{1,15 \epsilon_p}{f_{p0}} - 0,9 \right)^5$$

(dans la partie lourde)

La déformation à l'état limite ultime d'une armature de précontrainte est la somme des trois termes :

* allongement préalable : $\epsilon_{p0} = \frac{\sigma_{p0}}{\epsilon_p}$; σ_{p0} = contrainte dans les armatures pour l'accroissement

* un allongement $\Delta \epsilon_p$ accompagnant le retour à la déformation nulle du béton au niveau du rebord équivalent

$$\Delta \epsilon_p = 5 \cdot \frac{\sigma_{p0}}{\epsilon_p}$$

le facteur 5 et le coefficient d'équivalence acier-béton.

Et σ_{p0} est la contrainte dans le béton au niveau du rebord équivalent.

* une variation complémentaire $\Delta' \epsilon_p$ accompagnant la déformation du béton au-delà de la valeur nulle.

$$\text{La déformation totale est : } \epsilon_{p(\text{tot})} = \epsilon_{p0} + \Delta \epsilon_p + \Delta' \epsilon_p$$

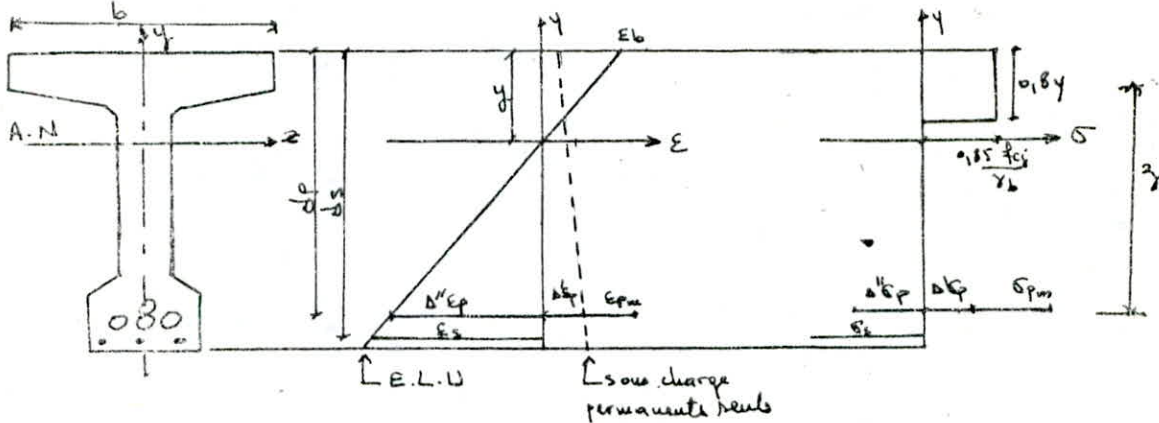


Diagramme de déformations et des contraintes à l'E.L.U.
(sections partiellement comprimées)

Méthode de résolution :

Il faut déterminer un moment M_u tel que $M_u \leq M_{u\text{ult}}$
 $M_{u\text{ult}}$ = moment ultime des charges permanentes et surcharges extérieures à déterminer
 $M_u = " " " " " " " " " " " " " "$, souhaitant la poutre.

Schéma de calcul :

$$S(G_i, G_f + Q, Q)$$

$$\gamma_G = 1,35$$

$\gamma_Q = 1,5$ dans le cas général (charges routières pour caractère particulier)

$\gamma_Q = 1,35$ pour les charges de caractère particulier

La sollicitation maximale est donnée par le courant de poutre P_0)

$$M_u = 1,35 G_i + 1,35 M_{Q0} = 1,35(M_{G_i} + M_{Q0}) = 1,35(383 + 262) = 840,75 \text{ t.m}$$

et $N_u = P_u = P_0 - \Delta P = 13311 \cdot 9,73 \cdot 5 - 2856 \cdot 9,73 \cdot 5 = 508,64 \text{ t.}$

$$\text{Équation d'équilibre : } \bar{N}_u = B_c \cdot \frac{0,85 f_{ckz}}{\gamma_b} - A_p \cdot \Delta \sigma_p - A_s \cdot \epsilon_s \quad (1)$$

Le moment résultant ultime est : \bar{M}_u

$$\bar{M}_u = B_c \cdot \frac{0,85 f_{ckz}}{\gamma_b} \cdot z + A_s (\Delta s - \Delta p) \cdot \epsilon_s \quad (2)$$

$$\rightarrow 0 = 508,640 + 9,73 \cdot 5 \cdot \Delta \sigma_p + 4,152 \cdot \epsilon_s - 198,348 c$$

et $\bar{M}_u = 198,343 + 4,152 (\Delta s - \Delta p) \cdot \epsilon_s$

A partir de l'hypothèse de section plane :

$$\frac{\epsilon''_{sp}}{\epsilon_b} = \frac{\Delta p - y}{4} \quad (3) \quad \text{et} \quad \frac{\epsilon_s}{\epsilon_b} = \frac{\Delta s - y}{4} \quad (4)$$

La perturbation des armatures s'écrit : $\Delta \sigma_p = \sigma (\epsilon_{pm} + \Delta \epsilon_p + \epsilon''_{sp}) - \sigma (\epsilon_{pm})$

$$\epsilon_{pm} = \frac{P_m}{A_p} = \frac{508,6 \cdot 10^3}{9,73 \cdot 5} = 104,55 \text{ kg/cm}^2$$

$$\epsilon_{bp_m} = \frac{P_m}{B} + (P_m \cdot \epsilon_p + M_m) \frac{\epsilon_p}{I} = \frac{508,6 \cdot 10^3}{2796} + (508,6 \cdot 10^3 (-98,95) + 383 \cdot 10^5) \frac{(98)95}{22676205,6}$$

$$\epsilon_{bp_m} = 117,5 \text{ kg/cm}^2$$

$$\rightarrow \epsilon_{pm} = \frac{\epsilon_{pm}}{\epsilon_p} = 5,23 \% \quad \text{et} \quad \Delta \epsilon_p = 5 \cdot \frac{\epsilon_{bp_m}}{\epsilon_p} = 0,294 \%$$

Le problème sera résolu par approximations successives à partir d'un diagramme de déformation choisi à priori.

Notre $\epsilon_s = 10 \% \text{ et } \epsilon_b = 3,5 \% \rightarrow y = \frac{\epsilon_b \cdot \Delta s}{\epsilon_s + \epsilon_b} = 1,78 \text{ cm.}$

$$\rightarrow \Delta \epsilon_p = \epsilon_b \cdot \frac{\Delta p - y}{4} = 9,18 \%$$

$$\Delta \sigma_p = \sigma (5,23 \% + 0,294 \% + 9,18 \%) - \sigma (5,23 \%) = \sigma (14,70 \%) - \sigma (5,23 \%)$$

en utilisant la formule $\epsilon_p = \frac{\sigma_p}{E_p} + 100 \left(\frac{145 \cdot \sigma_p}{E_p} - 0,9 \right)^2$ et par approximation successive on tire $\sigma (14,70 \%) = 135,26 \text{ kg/cm}^2$

Donc $\Delta \sigma_p = 135,26 - 104,55 = 30 \pm 1 \text{ kg/cm}^2$.

$$y = 1,78 \text{ cm} \rightarrow \text{la section de béton comprimé est } B_c = 0,84 \cdot b = 4911,15 \text{ cm}^2$$

(section résistante et la poutre + dalle $\rightarrow b = 143,5 \text{ cm}$)

$$\rightarrow \bar{N}_u = 4911,15 \cdot 198,34 - 5,23 \cdot 3071 - 4,152 \cdot 3480 = 815 \text{ t} \Rightarrow N_u = 508,6 \text{ t}$$

on conclut que le diagramme de déformation choisi entraîne une section de béton trop comprimé donc le diagramme de déformation doit tourner autour du pivot A.

La valeur de $\Delta \epsilon_p$ est alors peu modifiée de l'équation (1) on tire B_c

$$B_c = \frac{1}{198,34} [508,6 \cdot 10^3 + 4,152 \cdot 3480 + 48,65 \cdot 3071] = 3367 \text{ cm}^2$$

$$\rightarrow y = \frac{B_c}{0,8 \cdot b} = \frac{3367}{0,8 \cdot 143,5} = 29,33 \text{ cm}$$

on calcule la nouvelle valeur de $\Delta \sigma_p$; ϵ_b ; et $\Delta \epsilon_p$

$$\epsilon_b = 2,16 \% \text{, } \Delta \epsilon_p = 9,284 \% \rightarrow \Delta \sigma_p = 135,25 - 104,55 = 30 \pm 0 \text{ kg/cm}^2$$

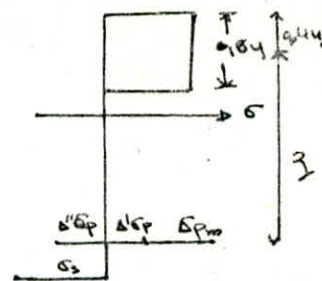
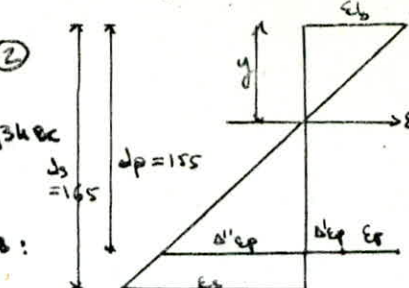
Le diagramme de déformation ultime est atteint pour ($\epsilon_s = 10 \% \text{ et } \epsilon_b = 2,16 \%$)

Justification de la résistance :

$$\bar{M}_u = B_c \cdot \frac{0,85 f_{ckz}}{\gamma_b} \cdot z + A_s (\Delta s - \Delta p) \cdot \epsilon_s = 3367 \cdot \frac{0,85 \cdot 340}{1,5} (140 - 14,94 - 0,44) + 4,152 (165 - 155) \cdot 3480 = 959 \text{ t m}$$

$$\bar{M}_u = 959 \text{ t m} > \bar{M}_u = 870,75 \text{ t m.}$$

La résistance est donc assurée.



b) Justification de la résistance vis à vis des sollicitations tangentielles

- cette justification est formulée à partir de l'hypothèse de la formation d'un treillis aux fissurations du béton, de ce fait elle comporte:
- une vérification de non rupture en traction de armatures transversales
- une vérification à la compression des bâtières de béton décomposées dans l'élément par les fissures.

minimum d'armatures transversales:

Les armatures sont caractérisées par une section A_f et un espacement s_f , et tel que: $S_f \leq \text{inf}(1m, 0,8h, 3,60)$ où h est la hauteur totale de l'arête de la poutre. s_f est alors égale au minimum d'armatures transversales donné par les conditions suivante:

$$\frac{A_f}{b_n \cdot S_f} \frac{f_e}{1,15} \geq 6 \text{ kg/cm}^2.$$

Zone centrale:

$$S_f = \text{inf}(1m, 0,8 \cdot 1,50, 3,21) = 63 \text{ cm}.$$

$$\rightarrow A_f \geq \frac{1,15 \cdot 6 \cdot b_n \cdot S_f}{f_e} = \frac{1,15 \cdot 6 \cdot 21 \cdot 60}{4,600} = 2,07 \text{ cm}^2.$$

Zones d'appui:

Les armatures dans ces zones doivent être suffisantes pour assurer la résistance des parties tendues du treillis, constituées par les bâtières de béton et les armatures. Nous devons donc vérifier que:

$$C_{red,u} \leq \bar{C}_u = \frac{A_f}{b_n \cdot S_f} \frac{f_e}{1,15} \cot \beta + \frac{f_t}{3} \quad \text{avec } C_{red,u} = \frac{\sqrt{v_{red,u} \cdot S}}{I \cdot b_n}.$$

$$T_{red,u} = 1,35 G + 1,35 Q_{cd} = 1,35(44 + 33,67) = 105 t.$$

$$T_p = \sum P_i \sin \alpha_i = 66,4 t$$

$$\rightarrow V_{red,u} = 105 - 66,4 = 38,6 t$$

$$\rightarrow C_{red,u} = \frac{38,6 \cdot 10^3 \cdot 199086,2}{2849085 \cdot 1,5} = 6,5 \text{ kg/cm}^2.$$

$$\bar{C}_u = \frac{A_f}{b_n \cdot S_f} \frac{f_e}{1,15} \cot \beta + \frac{f_t}{3} \quad f_t/3 = 3 \text{ kg/cm}^2 > C_{red,u} = 6,5 \text{ kg/cm}^2$$

quelque soit le type d'armature la vérification est assurée.

Zone d'entrejeu du tableau "Z":

$$T_{G1} = 2,65(1t - 3,15) = 36,70 t$$

$$T_{G2} = 11,70 t \quad (\text{couloir D}) \quad \rightarrow V_{red,u} = 1,35 \cdot (36,7 + 11,7) - 44,18 = 21,18 t$$

$$T_p = 44,18 t$$

$$C_{red,u} = \frac{21,18 \cdot 10^3 \cdot 199086,2}{2849085 \cdot 3,15} = 4,74 \text{ kg/cm}^2 < 3 \text{ kg/cm}^2 = \frac{f_t}{3}$$

Zone d'entrejeu du tableau "Y":

$$T_{G1} = 2,65(1t - 5,45) = 30,6 t$$

$$T_{G2} = 10,45 t$$

$$T_p = 21,54 t$$

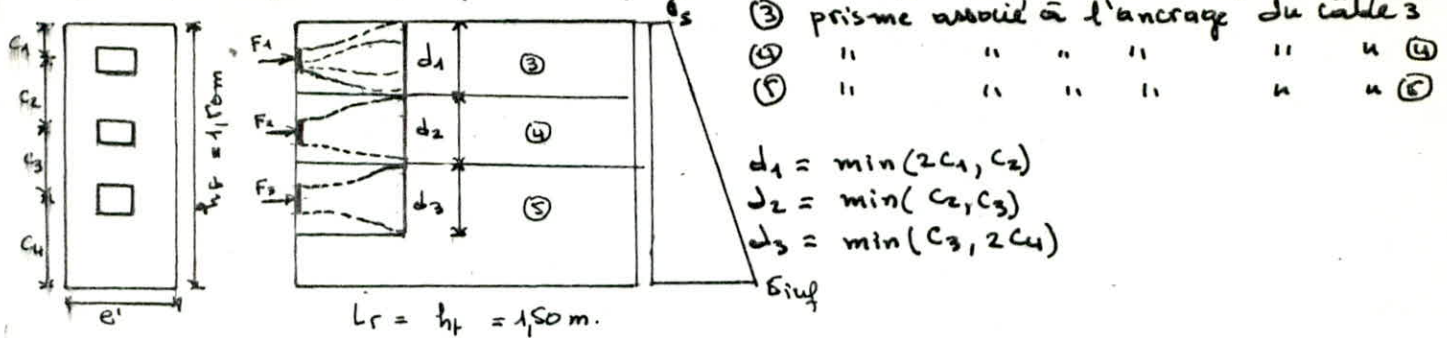
$$\left. \begin{array}{l} \\ \end{array} \right\} \rightarrow V_{red,u} = 1,35(30,6 + 10,45) - 21,54 = 33,88 t$$

$$C_{red,u} = \frac{33,8 \cdot 10^3 \cdot 199086,2}{2849085 \cdot 3,15} = 7,70 \text{ kg/cm}^2 < \frac{f_t}{3} = 3 \text{ kg/cm}^2$$

X- Etude de la zone d'about.

Dans cette zone la distribution des contraintes n'est continue qu'après une certaine distance appelée zone de régularisation des contraintes (principe de NAVIER) la longueur de cette zone est prise égale à la hauteur totale de la poutre.

Dans cette zone il se produit également une diffusion derrière chaque enracinement.



$$c_1 = 15,34 \text{ cm}, c_2 = c_3 = 28 \text{ cm}, c_4 = 73,66 \text{ cm}.$$

$$\text{donc } d_1 = \min(2 \cdot 15,34, 28) = 28 \text{ cm} = d_2 = d_3.$$

on attribue à chaque enracinement un prisme symétrique dans lequel les isostatiques croissent :

les efforts de traction transversaux appellés efforts d'éclatement

les efforts de traction sur la surface appellés efforts de surface qui résultent des compressions transversales derrière les plaques d'enracinement.

1) Efforts de surface : plan de diffusion vertical :

on doit disposer un ferrailage de surface au voisinage de l'enracinement donné par la formule expérimentale : $A_s = 0,04 \frac{\max f_{tj}}{\sigma_{st}} \sigma_{st}^{plast} = \frac{2}{3} f_c$.

f_{tj} est l'effort maximal appliqué par les 3 câbles d'enracinement

$$\sigma_{po} = 1331 \text{ kg/cm}^2 \rightarrow f_{tj} = 1331 \cdot 9,73 = 129,516 \text{ t}$$

$$\text{donc } A_s = 0,04 \cdot \frac{129,516}{\frac{2}{3} \cdot 4200} = 1,85 \text{ cm}^2. \text{ Soit } 1 \text{ cadre HA12} = 2,26 \text{ cm}^2.$$

plan de diffusion horizontal :

max f_{tj} est l'effort maximal appliqué par les 3 câbles d'enracinement.

$$f_{tj} = 129,516 \times 3 = 388,548 \text{ t}$$

$$\rightarrow A_s = 0,04 \cdot \frac{388,548}{\frac{2}{3} \cdot 4200} = 5,55 \text{ cm}^2. \text{ Soit } 1 \text{ cadre HA12 entouré de chaque enracinement } \rightarrow A_s = 6,78 \text{ cm}^2.$$

2) Efforts d'éclatement

la contrainte d'éclatement est donnée par la formule : $\sigma_{tej} = 0,15 \left(1 - \frac{a_j}{d_j}\right) \frac{f_{tj}}{c_j d_j}$ et doit être supérieure ou égale à $1,25 f_{ct}$. La contrainte de compression moyenne $\sigma_{mj} = \frac{f_{tj}}{c_j d_j}$ et doit être $\leq \frac{2}{3} f_{cj}$.

dans le plan vertical :

$$\sigma_{te} = 0,15 \left(1 - \frac{18}{28}\right) \frac{129,516}{35 \cdot 28} = 23,6 \text{ kg/cm}^2 < 1,25 f_{ct} = 1,25 \cdot 18 = 23,75 \text{ kg/cm}^2.$$

dans le plan horizontal :

$$\sigma_{te} = 0,15 \left(1 - \frac{18}{35}\right) \cdot \frac{129,516 \times 3}{150 \cdot 35} = 18,0 \text{ kg/cm}^2 < 1,25 f_{ct} = 23,75 \text{ kg/cm}^2.$$

$$\text{contrainte normale moyenne : } \sigma_{mj} = \frac{\sigma_{po} \cdot A_p}{c_j d_j} = \frac{1331 \cdot 9,73}{35 \cdot 28} = 132 \text{ kg/cm}^2 \\ < \frac{2}{3} f_{cj} = \frac{2}{3} \cdot 216,5 = 144 \text{ kg/cm}^2.$$

donc les contraintes sont vérifiées

Ferrailage d'entretien :

Plan vertical :

$$A_e = \max \left\{ \frac{0,25 \left(1 - \frac{\alpha_s}{d_s}\right) f_{y0}}{\frac{2}{3} \cdot f_e} = \frac{0,25 \left(1 - \frac{18}{28}\right) \cdot 129516}{\frac{2}{3} \cdot 4200} = 4,13 \text{ cm}^2 \right.$$

$$\left. 0,15 \cdot \frac{f_{y0}}{\frac{2}{3} f_e} = 0,15 \cdot \frac{129516}{\frac{2}{3} \cdot 4200} = 6,04 \text{ cm}^2 \right.$$

on disposera 3 laddes HA12 pour la profondeur maximale de prisme (28 cm).

Plan horizontal :

$$A_e = \min \left\{ A_e = \frac{0,25 \left(1 - \frac{18}{35}\right) \cdot 3 \cdot 13311 \cdot 9,73}{\frac{2}{3} \cdot 4200} = 16,85 \text{ cm}^2 \right.$$

$$\left. 0,15 \cdot \frac{3 \cdot 13311 \cdot 9,73}{\frac{2}{3} \cdot 4200} = 20,18 \text{ cm}^2 \right.$$

on disposera trois laddes HA12 autour de chaque ancrage sur une profondeur de 28 cm.

XI. Etude du Platelage.

Le platelage se situe au dessus et une dalle en béton armé coulée sur place, et que assurer cette dalle.

esthétiquement les poutres en l'absence d'entretoises.

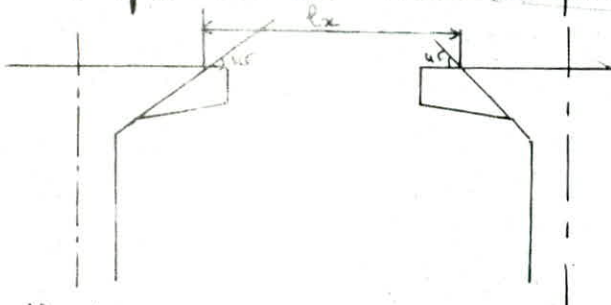
→ revoir la charge permanente et surcharges appliquées pour les transmettre aux poutres. Il sera donc étudié deux types de flexion.

- 1- Flexion locale
- 2- Flexion transversale.

Etude de la flexion locale:

La dalle sera assimilée à un ensemble de panneaux de dimension $l_x \times l_y$ ($l_x < l_y$)

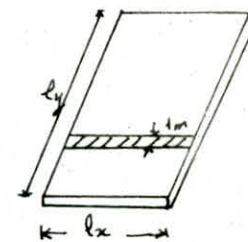
l_x et l_y devront être déterminés conformément aux indications de l'I.P.II.



$$l_x = 0,69 \text{ m.}$$

$$l_y = 3,4 \text{ m.}$$

$$\frac{l_x}{l_y} = 0,20 \rightarrow 0$$



Définition :

on dit que la dalle va porter suivant deux directions l_x :

lorsque le rapport l_x/l_y est compris entre 0,4 et 1 et la dalle est uniformément chargée.

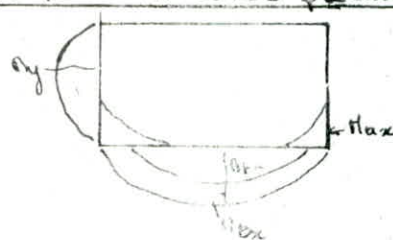
" la dalle va porter suivant deux directions quel que soit le rapport l_x/l_y .

Pour le calcul des moments produits par la charge concentrée il sera utilisé la méthode de M. PIGEAUD.

Calcul des effets sous charge permanente:

Pour une bande de 1m de largeur : poids propre de la dalle = $0,2 \cdot 2500 \cdot 1 = 500 \text{ kg/m}$

calcul des moments fléchissants :



$$M_{tx} = 0,87 M_{ox} = \text{moment au troué}$$

$$M_{ax} = -0,5 M_{ox} = \text{moment aux appuis}$$

$$q = 676 \text{ kg/mel.}$$

$$M_{ox} = q \frac{l_x^2}{8} = 40,23 \text{ kg.m/mel} \rightarrow M_{tx} = 0,87 M_{ox} = 32,12 \text{ kg.m/mel}$$

$$M_{ax} = -0,5 M_{ox} = -20,12 \text{ "}$$

$$\text{ou prenons } M_{tx} = \frac{M_{ox}}{4} = 10,06 \text{ kg.m/mel.}$$

Calcul des effets transversaux:

$$T_x = \frac{q l_x^2}{2 l_y + l_x} = \frac{676 \cdot 0,69 \cdot 3,4}{2 \cdot 3,4 + 0,69} = 231 \text{ kg/mel}$$

$$T_y = \frac{1}{3} q l_x = \frac{1}{3} \cdot 676 \cdot 0,69 = 155,5 \text{ kg/mel.}$$

Calcul des moments fléchissants pour les surcharges:

Surcharge A:

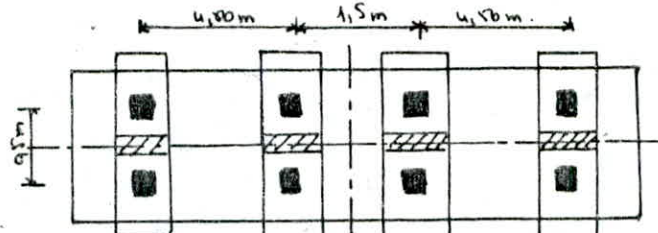
$$A = 1012,6 \text{ kg/m}^2 ; \text{ pour une bande de } 1 \text{ m de largeur } q_A = 1012,6 \text{ kg/m}^2$$

moment statique: $M_{tx} = \frac{q_A l_x^2}{8} = 60,26 \text{ kgm/muf} \rightarrow M_{tx} = 60,26 \text{ kgm/muf}$

$$M_{ty} = \frac{M_{tx}}{4} = 15,07 \text{ kgm/muf} \quad M_{ax} = -30,13 \text{ kgm/muf}$$

Surcharges B

système B:



Système I

$$u = a + 1,5 \cdot b + c = 0,25 + 1,5 \cdot 0,08 + 0,2 = 0,57 = 0,7.$$

zone d'interférence ferme.

$$\text{d'intensité de la charge P est: } p = \frac{P}{u \cdot s} = 18,44 t/m^2$$

Surface ABCD:

on va considérer que la surface surchargée.

$$u' = 0,69$$

$$u' = 1,5 + 0,57 = 2,07 \rightarrow u'/l_x = 1 \quad u'/l_x = \frac{2,07}{0,69} = 3 \rightarrow M_1 = 0,04 \quad M_2 = 0,0009$$

$$M_{tx} = (M_1 + 2M_2) P = (0,04 + 0,15 \cdot 0,0009) \cdot 18,44 \cdot 0,69 \cdot 2,07 = 1,06 \text{ tm/muf.}$$

$$M_{ty} = (M_2 + 2M_1) P = (0,0009 + 0,15 \cdot 0,04) \cdot 18,44 \cdot 0,69 \cdot 2,07 = 0,182 \text{ tm/muf.}$$

Surface A, B, C, D,

$$u' = 0,69 \rightarrow u'/l_x = 1 \quad u'_1 = 0,069 \quad u' = 0,93 \quad u'/l_x = 1,35 \rightarrow u'_2 = 0,013$$

$$P = p \cdot u' u' = 11,85 t \rightarrow M_{tx} = 0,847 \text{ tm} \quad M_{ty} = 0,128 \text{ tm}$$

Surface 1234

$$u' = 0,07 \rightarrow u'/l_x = 0,1 \rightarrow M_1 = 0,078 \quad u' = 2,07 \rightarrow u'/l_x = 3 \rightarrow M_2 = 0,0020 ; \quad P = p \cdot u' u' = 2,68 t \rightarrow M_{tx} = 0,121 \text{ tm} \quad M_{ty} = 0,037 \text{ tm}$$

Surface 3456

$$u' = 0,07 \rightarrow u'/l_x = 0,1 \rightarrow M_1 = 0,14 \rightarrow M_{tx} = 0,172 \text{ tm} \quad u' = 0,93 \rightarrow u'/l_x = 1,35 \rightarrow M_2 = 0,0205 \quad M_{ty} = 0,05 \text{ tm}$$

$$P = p \cdot u' u' = 1,2 t.$$

$$M_x^I = M_{ABCD} - M_{ABC,C,D_1} + M_{123456} - M_{345666} = 0,25 \text{ tm.}$$

$$M_y^I = " " " " = -0,11 \text{ tm.}$$

Système II

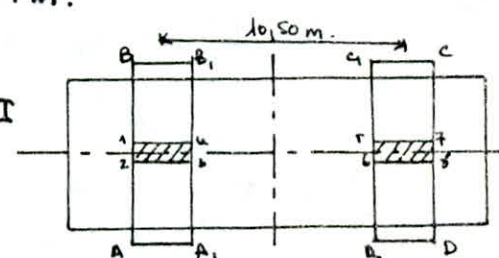
On utilise le même procédé que pour le syst. I

$$M_x^{II} = 0,34 \text{ tm}$$

$$M_y^{II} = 0,043 \text{ tm.}$$

$$M_x^{II} = M_x^I + M_x^{II} = 0,596 \text{ tm} \rightarrow M_{tx} = 0,48 \text{ tm}$$

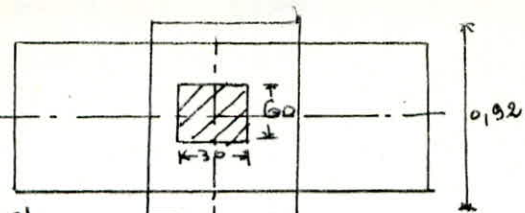
$$M_y^{II} = M_y^I + M_y^{II} \approx -0,038 \text{ tm} \quad M_{ty} = -0,30 \text{ tm.}$$



Système B₁

$$u = 0,6 + 1,5 \cdot 0,08 + 0,2 = 0,92$$

$$v = 0,30 + 1,5 \cdot 0,08 + 0,2 = 0,62$$



L'intensité de la charge P est

$$p = \frac{P}{uv} = \frac{10}{0,92 \cdot 0,62} = 14,53 \text{ t/m}^2$$

$$u' = 0,63 \quad u' l_{xx} = 1 \quad \rightarrow \quad n_x = 0,34 \text{ t/m} \quad \rightarrow \quad M_{tx} = 0,67 \text{ tm}$$

$$v' = 0,62 \quad v' l_{xx} = 0,8 \quad \rightarrow \quad n_y = 0,36 \text{ t/m} \quad \rightarrow \quad n_{txy} = -0,42 \text{ tm.}$$

$$p = 14,53 \text{ t/m}^2$$

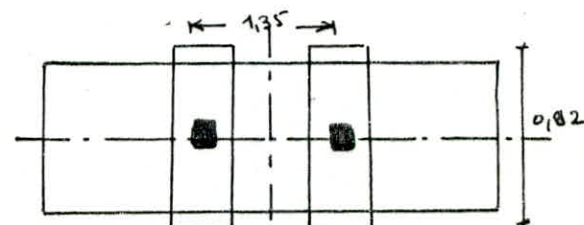
Système B₂

$$u = 0,6 + 1,5 \cdot 0,08 + 0,2 = 0,92.$$

$$v = 0,30 + 1,5 \cdot 0,08 + 0,2 = 0,57$$

L'intensité de la charge P est

$$p = \frac{P}{uv} = \frac{8}{0,92 \cdot 0,57} = 15,26 \text{ t/m}^2.$$



$$\text{tout calcul fait ou obtient} \rightarrow n_x = 0,264 \text{ t/m} \quad \rightarrow \quad n_{tx} = 0,211 \text{ tm}$$

$$n_y = 0,6694 \text{ t/m.} \quad \rightarrow \quad n_{txy} = -0,132 \text{ tm}$$

Surcharge militaire H₁₂₀

$$a = 1 \text{ m}$$

$$b = 6,10 \text{ m.} \rightarrow u = 1 + 1,5 \cdot 0,08 + 0,2 = 1,32$$

$$v = 6,1 + 1,5 \cdot 0,08 + 0,2 = 6,42 \rightarrow n_x = 1,16 \text{ t/m}$$

$$n_y = 0,2 \text{ t/m.}$$

Surcharge exceptionnelle Convoy D:

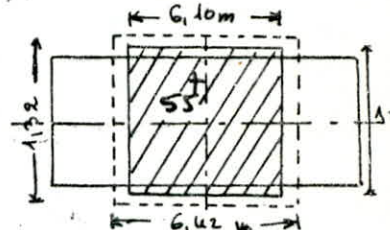
$$u = 3,2 + 0,08 \cdot 1,5 + 0,2 = 3,52$$

$$v = 18,6 + 1,5 \cdot 0,08 + 0,2 = 18,82$$

$$p = \frac{P}{uv} = \frac{120}{3,52 \cdot 18,82} = 1,8 \text{ t/m}^2$$

$$u' l_{xx} = 1 \quad \rightarrow \quad n_x = 0,84 \text{ t/m} \quad \rightarrow \quad M_{tx} = 0,75 \text{ tm}$$

$$u' l_{xx} = 2 \cdot 1,62 \quad n_y = 0,16 \text{ t/m} \quad \rightarrow \quad n_{tx} = -0,44 \text{ tm.}$$

Calcul des efforts tranchants sous les charges.

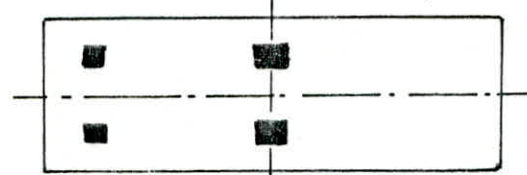
$$\text{Surcharge A: } T_x = \frac{q l_x l_y}{2l_y + l_x} = 346 \text{ kg/mf}$$

$$T_y = \frac{1}{2} q l_x = 233 \text{ kg/mf.}$$

Pour les charges concentrées il faut utiliser les formules suivantes:

	$u > v$	$u \leq v$
Au milieu de u	$T = \frac{P}{2u+v}$	$T = \frac{P}{3u}$
Au milieu de v	$T = \frac{P}{3u}$	$T = \frac{P}{2v+u}$

Système B_C: L'effort tranchant est maximum pour le chargement suivant:



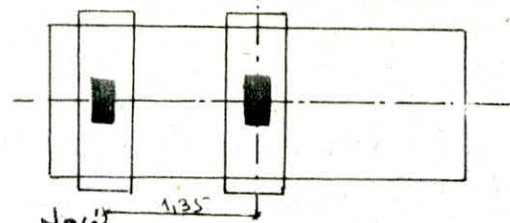
$$T_{x1} = 1,16 \text{ t/mf}$$

$$T_{x2} = 1,4 \text{ t/mf}$$

système B_T

$$T_{u1} = 3,08 \text{ t/muf}$$

$$T_{u1} = 3,06 \text{ t/muf.}$$



Système Pre: la roue est au centre du parallèle.

$$T_{u1} = 3,75 \text{ t/muf}$$

$$T_{s1} = 3,62 \text{ t/muf.}$$

M_{C120} (charge militaire):

$$T_u = 1,49 \text{ t/muf}$$

$$T_{u1} = 2,73 \text{ t/muf.}$$

Goulotte D:

$$T_{u1} = 0,466 \text{ t/muf}$$

$$T_{u1} = 0,64 \text{ t/muf.}$$

Surcharge de trottoirs:

$$q = 450 \text{ kg/m}^2 \rightarrow q = 450 \text{ kg/muf}$$

$$\Pi_{ax} = 2,7 \text{ kg/m} \rightarrow M_{tx} = 0,022 \text{ t.m}$$

$$\Pi_y = \frac{\Pi_{ax}}{4} = 0,68 \text{ kg/m}; \quad \Pi_{az} = -0,0135 \text{ t.m}$$

$$T_x = 0,15 \text{ t/muf}$$

$$T_y = 0,1 \text{ t/muf.}$$

Tableau récapitulatif des efforts majorés de coefficient de pénétration dynamique

	A	Bc	B _T	B _c	M _{C120}	D
M_{tx}	0,106	0,168	0,1214	0,1054	1,054	0,175
Π_{az}	-0,103	-0,1625	-0,14	-0,144	-0,166	-0,147
Π_y	0,0161	-0,0154	-0,04	0,38	0,1226	0,162
T_x	0,346	1,84	1,14	3,6	2,08	0,414
T_y	0,233	6,18	1,115	3,45	2,82	0,61

Flexion transversale:

Elle sera calculée par la méthode de Guyon-Gassouret, nous tracerons les lignes d'influence du coefficient de répartition transversal μ_2 et déterminerons M_{tx} pour chaque type de chargement.

Nous tracerons dans nos calculs à termes du développement de la série de Fourier, le coefficient μ_2 sera calculé de la même manière que pour μ_1 , c'est que $\mu_2 = \mu_0 + (\mu_1 - \mu_0) \sqrt{2}$ avec $\mu_0 = f(d=0)$, $\mu_1 = f(d=1)$ pour le calcul de μ_2 il sera tenu compte du coefficient de position $\beta = 0,15$.

$$10^4 \mu_2; \theta = 1,113.$$

$y \in$	-b	-3b/4	-b/2	-b/4	0	b/4	b/2	3b/4	b
0	-228,73	-94,79	-106,33	189,47	1008,15	189,47	-106,33	-184,79	-229,73
b/4	-36,89	-119,38	-134,96	-78,64	204,64	1009,9	155,8	-223,36	-459,32
b/2	-22,83	-57,39	-92,19	-104,54	-45,75	222,39	964,26	-44	-666,52
3b/4	-5,67	-20,18	-34,51	-55	-58,87	-11,12	176,57	705,6	-738
b	0	0	0	0	0	0	0	0	0

$$10^4 \cdot \mu_{\text{m},m=3} \quad (30 = 3,339) \rightarrow 0,35$$

$\frac{y}{L}$	-6	-36/4	-6/2	-6/4	0	6/4	6/2	36/4	L
0	-0,137	0,15	-0,01	-0,153	3,03,61	-3,8,53	-0,101	0,150	-0,137
6/4	-0,023	-0,064	0,047	-0,02	-3,8,53	3,03,62	-3,8,55	-0,1	1,16
6/2	-0,01	-0,02	-0,062	0,047	-0,02	-3,8,5	3,03,64	-0,010	2,435
36/4	0	0	-0,02	-0,056	0,04	-0,1256	-3,7,59	3,06,136	-116,6
6	0	0	0	0	0	0	0	0	0

valeurs de μ_d pour les positions actives :

$$\mu_d \cdot 10^4 \quad (0 = 1,113)$$

	-6	-36/4	-6/2	-6/4	0	6/4	6/2	36/4	L
0	-229,73	-494,79	-106,33	+189,7	1008,15	189,7	-106,33	-194,79	-229,73
2/13 b	-141,83	-148,38	-129,79	24,59	513,68	694,4	+54,98	-212,37	-371,01
4/13 b	-72,107	-105,07	-127,4	-85,33	146,85	828,17	342,37	-182,10	-507,13
6/13 b	-32,68	-66,13	-89,23	-103,09	-7,23	343,55	840	-71,6	-634,64
8/13 b	-14,91	-40,216	-66,853	-89,29	-91,805	114,616	600,71	301,97	-690,51
10/13 b	-5,234	-18,63	-34,625	-50,77	-54,34	-10,265	163,10	651,32	-631,23
12/13 b	-1,45	-6,21	-11,54	-16,923	-18,11	-3,42	54,33	217,108	-827,08

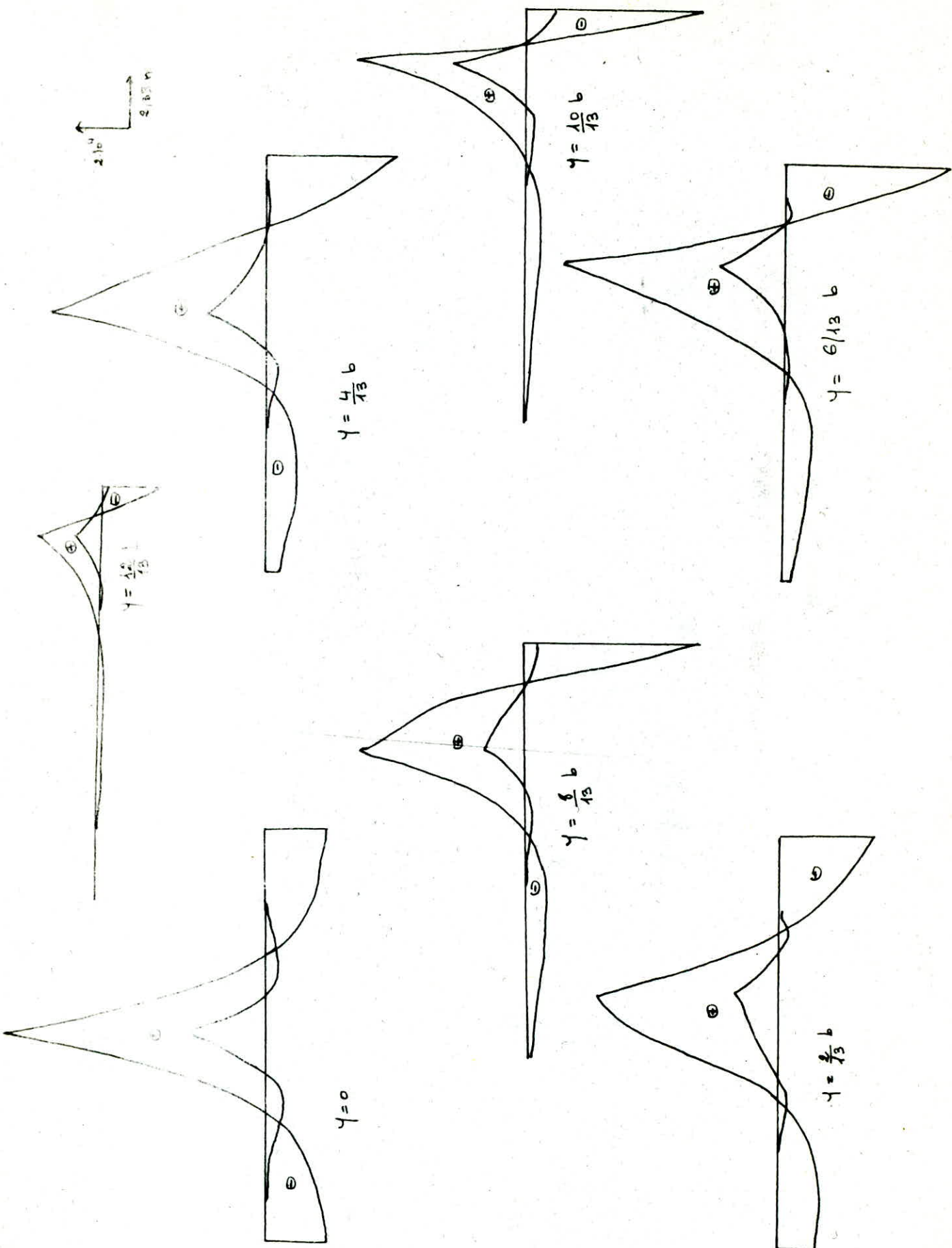
$$\mu_d \cdot 10^4 \quad (0 = 3,339)$$

	-6	-36/4	-6/2	-6/4	0	6/4	6/2	36/4	L
0	-0,137	0,15	-0,01	-0,153	3,03,61	-3,8,53	-0,101	0,15	-0,137
2/13 b	-0,156	0,153	-1,253	-17,29	93,06	172,02	-25,265	-2,33	0,157
4/13 b	-0,02	-0,054	0,147	-2,98	-30,57	224,67	45,37	-12,39	1,454
6/13 b	-0,012	-0,024	0,02	-0,221	-9,33	14,134	250,83	-34,48	2,24
8/13 b	-0,005	-0,0108	-0,0043	0,927	-1,952	-22,70	146,04	40,05	-61,55
10/13 b	0	0	0,0185	-0,0517	0,425	-3,93	34,70	282,8	-107,45
12/13 b	0	0	-0,006	-0,017	-0,162	-1,31	-11,57	-94,269	-37,315

A partir de ces tableaux nous tracerons les lignes d'influence pour la différentes positions de y , et nous combinerons les valeurs positives et négatives de μ_d .

	1	$\mu_d (0)$		$\mu_d (30)$	
		(0)	(30)	(0)	(30)
Surcharge A	1	0,044	-0,0139	0,0099	-0,0009
	2	0,034	-0,0101	0,00707	-0,0015
	3	0,0277	-0,00675	0,0047	-0,00135
	4	0,0209	-0,0063	0,0035	-0,0012
Surcharge B	1	0,066	-0,0165	0,0142	-0,0029
	2	0,0602	-0,0128	0,0111	-0,0024
	3	0,0420	-0,00817	0,0065	-0,00117
	4	0,0316	-0,00726	0,0049	-0,00088
Bf	1	0,066	-0,0165	0,0142	-0,0028
	2	0,054	-0,012	0,00734	-0,0016
Bf		0,1009	-0,027	0,0303	0,00385
Hc120		0,0356	-0,014	0,0188	-0,0035
D		0,034	-0,0144	0,0132	-0,00355
trottoir	1	—	-0,043	—	-0,00174
	2	—	-0,0466	—	-0,00087

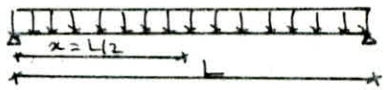
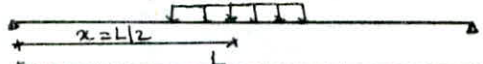
Lignes d'influence de M_{dm} .



Moments engendrés par les différents chargements.

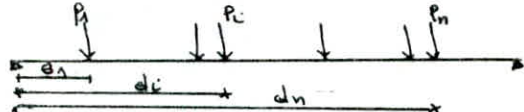
* charge uniforme (A et trottinettes) $M_y = \sum_{m=1,3} M_{dm} \frac{4P}{\pi m} b \sin \frac{m\pi x}{L}$

* charge linéairement répartie (M_{Cl20}, C)



$$M_y = \frac{4P}{\pi} b \sum_{m=1,3} \frac{1}{m} M_{dm} \sin \frac{m\pi C}{L} \sin \frac{m\pi x}{L} \sin \frac{m\pi z}{L}$$

* charges concentrées : B_c, B_r, B_f .



$$M_y = \frac{2b}{L} \sum_{m=1,3} \sum_{i=1}^n P_i M_{dm} \sin \frac{m\pi d_i}{L} \sin \frac{m\pi x}{L} \quad x = L/2.$$

trottoirs	Surcharge A				Surcharge Bc				Bf		B_r	Fluxion D			
	1	2	1	2	3	4	1	2	3	4	1	2			
1 ^e terme	-	-	1,852	2,186	3,15	2,64	0,91	0,83	0,58	0,44	0,58	0,48	0,155	2,38	4,18
2 ^e terme	-	-	-0,139	-0,120	-0,178	-0,147	-0,105	-0,103	-0,049	-0,036	0,22	0,12	0,17	0,68	0,36
η_f	-	-	1,413	2,66	2,87	2,49	0,80	0,75	0,53	0,40	0,80	0,6	0,172	3,06	4,54
1 ^e terme	-0,145	-0,154	-0,187	-0,181	-0,167	-0,176	-0,123	-0,176	-0,113	-0,110	-0,145	-0,105	-0,148	-0,83	-1,67
2 ^e terme	0,0109	0,0107	0,0126	0,0142	0,051	0,0505	0,022	0,018	0,0087	0,0066	-0,145	-0,125	-0,021	-0,187	-0,096
M_y	-0,134	-0,143	-0,177	-0,181	-0,176	-0,174	-0,126	-0,158	-0,104	-0,094	-0,160	-0,13	-0,169	-1,02	-1,77

Sollicitations maximales sous flexion locale et transversale (les efforts dus à la flexion transversale seront pondérés par le coefficient de majoration dynamique).

	G ₁	A	Bc	Bf	B _r	M _{Cl20}	D	trottoirs
M_{Tx}	0,102	0,106	0,168	0,214	0,171	1,104	0,175	0,122
M_{Tx}	-0,102	-0,103	-0,1425	-0,114	-0,144	-0,166	-0,147	-0,014
M_y	0,1008	0,1015	0,195	0,190	1,14	3,128	4,176	-
M_y	-	-	-0,13	-0,174	-0,118	1,17	-1,177	0,134
T _x	0,123	0,1346	1,17	1,17	3,6	2,05	0,152	0,15
T _y	0,1151	0,1233	6,18	6,12	3,45	2,92	0,176	0,1

Combinaisons d'actions :

$$\text{E.L.S : } M_{Tx} = G_1 + M_{Cl20} + T_r = 1,108 \text{ tm/mel} ; \quad M_y^+ = G_1 + D = 4,1708 \text{ tm/mel}$$

$$M_{Tx} = G_1 + M_{Cl20} + T_r = -0,1694 \text{ tm/mel} ; \quad M_y^- = G_1 + D = -1,177 \text{ tm/mel}.$$

$$\text{E.L.U} \quad M_{Tx} = 1,35 G_1 + 1,35 M_{Cl20} + T_r = 1,5 \text{ tm/mel}$$

$$M_{Tx} = 1,35 G_1 + 1,35 M_{Cl20} + T_r = -0,93 \text{ tm/mel}$$

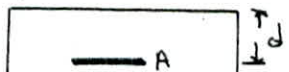
$$\eta_f^+ = 1,35 G_1 + 1,35 D = 6,36 \text{ tm/mel}$$

$$\eta_f^- = 1,35 G_1 + 1,35 D = 2,4 \text{ tm/mel}$$

Ferrailage :

A l'état limite de service la quantité d'armatures de calcul comme suit :

$$\mu = \frac{M}{b d^2 \sigma_s} \rightarrow \left| \begin{array}{l} K \\ \beta \end{array} \right.$$



$$\text{on calcul } \sigma_b = K \bar{\sigma}_s ,$$

si $K \bar{\sigma}_s < \bar{\sigma}_M = 0,6 \cdot f_{ck,3} = 210 \rightarrow$ la section ne comporte que des armatures tendues

$$\text{et } A_1 = \frac{\gamma}{B d \sigma_s} \quad \alpha \rightarrow \text{determination du domaine}$$

$$\text{A l'E.L.U on calcul } \mu = \frac{M}{\sigma_b \cdot b \cdot d^2} \rightarrow \begin{cases} \alpha \\ B \\ 1000 \sigma_s \rightarrow \sigma_s \end{cases}$$

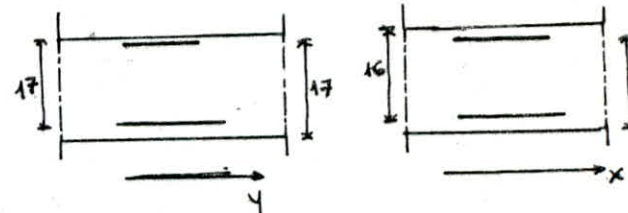
$$\text{et } A_2 = \frac{H}{B d \sigma_s}$$

La section d'armature à retenir sera le maximum de A_1 et A_2 majoré de 20%.

N.B les valeurs de κ , d , β , $1000 \sigma_s$, σ_s sont données en annexes du BAEL 3 de M. Pierre CHARON.

Tableau donnant les valeurs de A_1 et A_2

	Ferraillage supérieur	Ferraillage inférieur	
E.L.S	E.L.U	E.L.S	E.L.U
Dess 1x	1,142	1,5	2,134
Dess 1y	4,03	4,14	11,23
			11,41



Dess 1y:

Ferraillage supérieur $A = 4,14 \text{ cm}^2 \rightarrow 1,2 \cdot 4,14 = 5 \text{ cm}^2 \rightarrow A = 5,24 \text{ cm}^2/\text{muf} + 20\%$

Ferraillage inférieur $A = 11,41 \text{ cm}^2 \rightarrow 1,2 \cdot 11,41 = 13,69 \text{ cm}^2 \rightarrow A = 13,87 \text{ cm}^2/\text{muf} (+10\%)$

Le diamètre des barres doit être $< \frac{h_f}{19} = 20 \text{ mm}$. h_f = épaisseur totale du hourdis.

Les écarts entre les armatures d'une même nappe ne doit pas excéder le min(25 cm, 2ht)

$ht \leq 25 \text{ cm}$.

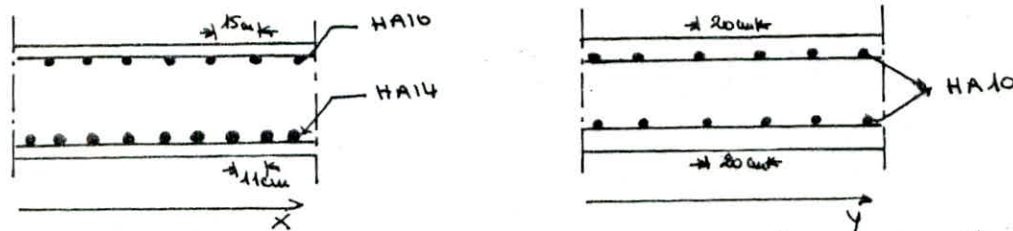
Dess 1x:

ferraillage supérieur: $1,5 \cdot 1,2 = 1,8 \text{ cm}^2$ ou disposera de $s_s + 10 \quad A = 3,93 \text{ cm}^2/\text{muf}$

" " inférieur: $1,5 \cdot 2,61 = 3,13 \text{ cm}^2$ " " " " $A = 3,93 \text{ cm}^2/\text{muf}$

avec $s_p = 20 \text{ cm}$.

Schéma de ferraillage



La dalle étant soumise à des charges concentrées mobiles les armatures inférieures seront prolongées jusqu'aux appuis dans leur totalité

Poinçonnement:

Il est nécessaire de vérifier la résistance au poinçonnement lorsque des charges concentrées importantes peuvent être appliquées sur une hourdis.

On admet qu'aucune armature particulière n'est nécessaire si la charge concentrée étais éloignée de 1,5 fois le diamètre de la dalle et la condition suivante est satisfaite:

$$P_u \leq 0,045 \cdot U_c \cdot h_o \cdot f_{ck}$$

P_u = charge de calcul pour l'état limite ultime.

$$P_u = 1,5 \text{ t}$$

U_c = périmètre du contour de l'aire S sur laquelle agit la charge dans le plan du feuilletage.

h_o = épaisseur du hourdis.

f_{ck} = résistance caractéristique du béton à la compression à 28 jours.

Charge	P_u	$U_c = 2(u_1 + u_2)$	h_o	f_{ck}	$0,045 \cdot U_c \cdot h_o \cdot f_{ck}$	Observation
roue avant Bc	4,5t	20,8	20	350	68,52t	Vérifié
roue arrière Bc	9t	22,8	"	"	44,82t	"
Bc	12t	29,8	"	"	93,84t	"
Bf	15t	30,8	"	"	97,02t	"

Vérification des contraintes de cisaillement:

Sollicitation de calcul: $T_{max} = 1,35 G_1 + 1,5 \cdot B_c = 1,35 \cdot 0,231 + 1,5 \cdot 5,37 = 9,12 \text{ t}$

$$C_{xmax} = \frac{T_x}{b \cdot z} = \frac{9,12 \cdot 10^3}{100 \cdot \frac{2}{8} \cdot 17} = 6,13 \text{ kg/mm}^2$$

$$\rightarrow C_{ymax} = \max(C_x, C_y) = 6,13 \text{ kg/mm}^2$$

$$T_y = 1,35 G_1 + 1,5 \cdot B_c = 9,5 \text{ t} \rightarrow C_{ymin} = \frac{T_y}{b \cdot z} = 6,13 \text{ kg/mm}^2 < C_u = (u_1^2 + 0,13 \cdot k_{28} \cdot u_1^4)^{1/2}$$

$C_{ymin} < C_u \rightarrow$ aucune armature transversale n'est nécessaire,

III calcul des déformations

I) flèche et contre flèche :

1) flèche due au poids propre: $f_G = \frac{f}{384} q \frac{l^4}{EI}$

$$f_G = 13,43 \text{ cm.}$$

$$E = \frac{1}{3} E_c = 1,4 \cdot 10^5 \text{ kg/cm}^2$$

$$I = 24521481 \text{ cm}^4$$

$$q = 2,65 \text{ t/mf} \quad l = 34 \text{ m.}$$

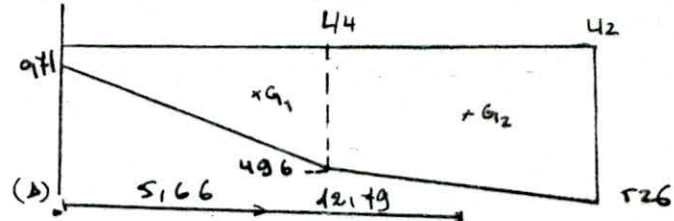
2) flèche de précontrainte (contre flèche)

à la 1^{re} mise en tension $\sigma_p = 12257 \text{ kg/cm}^2$
 " " 2^{me} " " " $\sigma_p = 12218 \text{ kg/cm}^2$ $\rightarrow \sigma_{p\text{ moy}} = 12237,5 \text{ kg/cm}^2$
 en service à long terme: $\sigma_p = 9,98 \sigma_p - 1,2 \Delta \sigma_p = 10927,6 \text{ kg/cm}^2$

on prendra la contrainte moyenne: $10827,6 \text{ kg/cm}^2$

Calcul des efforts de compression liés à N et des moments fléchissants dus à P.

	N(t)	e_p(cm)	M = N.e_p(tm)
L1R2	531,6	-93,95	-526,0
L4	520,4	-93,68	-496
0	310,0	-0,23	-0,71



moment statique / " "

$$S_1 G_1 + S_2 G_2 = S_D$$

S_1 et S_2 sont respectivement l'aire délimitée par l'axe horizontal et la courbe des moments ($S_1 = 0,1H$ et $S_2 = u96$) et ($G_1 = u96$ et $G_2 = 526$)

$$S_1 = 0,111 \text{ t.m}^2 \text{ et } S_2 = 4343,5 \text{ t.m}^2.$$

$$S_D = -201 \times 5,66 + (-1) \cdot 4343,5 \cdot 12,79 = -64501,6 \text{ t.m}^3.$$

La flèche de précontrainte est donnée par la formule: $f_p = \int \frac{M(x) dx}{EI} = \frac{S_D}{EI}$

$$f_p = -19,66 \text{ cm}$$

3) flèche de construction: on adoptera pour le fond de coffrage une flèche de construction f_c vers le bas:

$$f_c = \frac{3}{4} (f_p - f_G) = 4,67 \text{ cm.}$$

4) flèche de surcharge (sous const D):

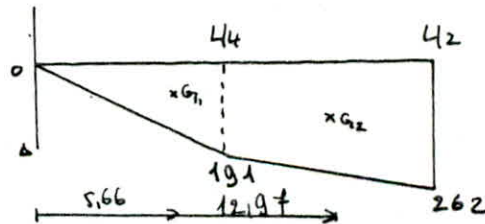
on procédera de la même façon que pour f_p .

$$S_1 = \frac{195,815}{2}; S_2 = \frac{191 + 262}{2} \cdot 8,15$$

$$S_D = 829,75 \text{ t.m}^2 \text{ et } S_2 = 1925,25 \text{ t.m}^2.$$

$$S_D = S_1 G_1 + S_2 G_2 = 29661,2 \text{ t.m}^3$$

$$f_Q = \frac{S_D}{EI} = 7,37 \text{ cm.}$$



$$\text{En service à vide: } f = f_G + f_p + f_c = 13,43 - 19,66 + 4,67 = -1,56 \text{ cm.}$$

$$\text{En service en charge: } f = f_G + f_p + f_c + f_Q = -1,56 + 7,37 = 5,81 \text{ cm.}$$

II) Calcul des rotations d'appuis

1) sous poids propre: $\beta_G = \frac{q_G \cdot l^3}{24EI} = 0,0108 \text{ rad}$

2) sous précontrainte: $\beta_p = \frac{1}{2EI} \int M(x) dx$ l'intégrale représente l'aire délimitée par le diagramme des moments sous précontrainte et l'axe longitudinal de référence sur tout le long de la partie.

$$\int M(x) dx = 2(S_1 + S_2) = -12909 \text{ t.m}^2$$

$$\rightarrow \beta_p = \frac{-12909 \cdot 10^4}{2 \cdot 1,4 \cdot 10^5 \cdot 2,8 + 50417} = -0,0160 \text{ rad}$$

Sous charge (cas 1D).

$$\beta_q = \int_0^L \frac{M dx}{2EI} = \frac{-973,125 \cdot 10^3}{2 \cdot 1,4 \cdot 10^5 \cdot 2452148} = -0,011 \text{ rad}$$

en service à vide : $\beta = \beta_g + \beta_p = 0,0108 - 0,0160 = -0,0052 \text{ rad}$

en service en charge : $\beta = \beta_g + \beta_p + \beta_q = -0,0052 + 0,011 = +0,0058 \text{ rad}$.

III Calcul des déplacements d'appuis:

Les déplacements d'appuis sont dus au retrait, fléchage, rotation d'appui et à la variation de température.

Déplacement dû au retrait : $\Delta r = -\epsilon_r \cdot \frac{L}{2} = -4 \cdot 10^{-4} \cdot \frac{34}{2} \cdot 10^3 = -6,8 \text{ mm}$.

Déplacement dû au fléchage : $\Delta f = -\frac{L}{2} \frac{\sigma_{moy}}{E}$.

$$\sigma_{moy} = \frac{\sigma_g + \sigma_A}{2}$$

σ_g contrainte de compression de la fibre inf dans la section médiane.

σ_A " " " " " " dans la section d'about.

la contrainte étant prise égale aux contraintes moyenne entre la mise en tension et la phase en service.

Section médiane :

à la mise en tension : $\sigma = 10f \text{ kg/mm}^2$

en service : $\sigma = +6$ "

la contrainte moyenne est $\sigma_0 \text{ kg/mm}^2$.

$$\rightarrow \Delta f = -\frac{34}{2} \frac{\sigma_0 \cdot 10^3}{1,4 \cdot 10^5} = -6,07 \text{ mm}$$

Section d'about :

$$\sigma = 54,3 \text{ kg/mm}^2$$

$$\sigma = 32,15 \text{ "}$$

Déplacement dû à la rotation :

$$\Delta \beta = \beta \cdot \frac{h_f}{2} = -0,0052 \cdot \frac{1500}{2} = -39 \text{ mm.}$$

h_f = hauteur de la poutre
 β = rotation d'appui.

Déplacement dû à la variation de température :

on considérera $\Delta T = \pm L/1000 = \pm 3,4 \text{ mm}$.

Déplacement maximal : $\frac{2}{3} (\Delta \beta + \Delta r + \Delta f) + \Delta T = -14,58 \text{ mm}$.

" minimal + 3,4 mm que.

Le facteur $\frac{2}{3}$ tient compte du fait le poutre ne peut pas sur ses appuis qu'assez suffisant et après mise en précontrainte.

XIII - Calcul des appareils d'appui.

Pour le dimensionnement des appareils d'appui nous calculerons la charge sollicitant l'ensemble de l'ouvrage.

1- charges verticales:

le tablier repose directement sur les culées nous calculerons les efforts verticaux les sollicitant. Système BC!

↓ ↓ . ↓ ↓ ↓



$$R_0 = R_1 = F_{bc} \cdot l_{bc} \sum P_i u_{dc} = 163,68 t$$

Nous procéderons de la même manière pour les autres jumelles et nous groupons les valeurs pondérées si il ya lieu de réactions de différentes charges et marchages sous le tableau suivant : (les efforts sont donnés entours)

charges APPUI	G(t)	A(t)	travaux(t)	Bc(t)	Mclzo(t)	couvoi D(t)	charge verticale(t)
Culée	578	258,06	9,56	163,68	124,82	144,30	41

l'effort nénique vertical a été calculé en considérant l'accélération nénique verticale $E_v = 0,07$ conformément aux recommandations du C.P.S $\rightarrow H_v = 0,07 G_t$.

2- charge horizontale:

l'effort nénique horizontal : $H_s = 0,1 \cdot G_t = 53,65 t$

effort développé par le vent : $H_r = P \cdot L_p \cdot h$.

Prenons la pression du vent $P = 250 \text{ kg/m}^2$ (ouvrage situé en zone II)

L_p : longueur totale du tablier = 34 m.

h : hauteur totale du tablier = 1,78

$$\rightarrow H_r = 0,25 \cdot 34 \cdot 1,78 = 15,13 t.$$

3-2 effort de freinage:

effort de freinage développé par A : $F_A = \frac{A}{20 + 0,035 s}$

$s = L \times L_s = \text{Surface chargée}$

$$F_A = 23,7 t.$$

effort de freinage développé par Bc : On peut néanmoins supposer freiner et développer une force de freinage égale à l'effort $F_{Bc} = 30 t$.

3- Variation linéaire du tablier:

Pour le calcul de la variation ΔL au retrait et au fléchissement on admet que 60% des effets de soutien perdus avant la mise en place des poutres sur leur appuis.

$$\Delta L_r = -0,4 E_r \cdot L_r = -0,4 \cdot 3 \cdot 10^{-4} \cdot 34 = -4,08 \text{ mm. } (E_r = \text{effet de retrait } = 3 \cdot 10^{-4})$$

Fléchissement : $\Delta L_{fp} = 3 \cdot 0,4 \cdot \frac{G_m}{E_L} \quad G_m = 50 \text{ kg/m}^2$

$$\Delta L_{fp} = 2 \cdot 0,4 \cdot \frac{50}{E_L} \quad E_{fp} = 3 E_i \quad E_i = \text{déformation élastique.}$$

$$\Delta L_{fp} = -13,7 \text{ mm.}$$

Température : $\Delta L_t = \pm \epsilon_{st} \cdot L_p = \pm 3 \cdot 10^{-4} \cdot 34 = \pm 10,2 \text{ mm.}$

$$\Delta L_{max} = \Delta L_t + \Delta L_r + \Delta L_{fp} = -27,98 \text{ mm, } \Delta L_{max} = 10,2 \text{ mm} = \Delta L_t.$$

Réaction des appuis:

Il sera disposé sur la culée 13 appareils d'appui sous le poutre qui devra supporter les charges permanentes et les marchages défavorables.

Réaction maximale sur chaque appui $R_{max} = \frac{78 + 253,06}{13} = 64,31 t$

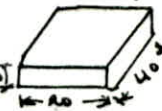
" " minimale " " " $R_{min} = \frac{578}{13} = 44,46 t$.

Choix des appareils d'appui. Nous choisissons (sous réserve de vérification) des appareils d'appui de dimension 200 x 100 x 83/43 type 5 donné par le catalogue GRUNBAU dont la capacité est de 100 t sur un elastomère fretté.

Vérification des contraintes normales:

contrainte admissible de l'appui charri : $\frac{100 \times 103}{40 \times 20} = 125 \text{ kg/m}^2$

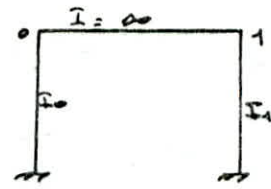
contrainte maximale : $\sigma_{max} = \frac{R_{max}}{a \cdot b} = \frac{64,3 \cdot 10^3}{20 \times 100} = 80,4 \text{ kg/m}^2 < \sigma_{ad} = 125 \text{ kg/m}^2$.



XX - Répartition des efforts horizontaux sur l'infrastructure

hypotheses:

- * La structure sera assimilée à un pontique
- * Le tablier sera supposé parfaitement rigide.
- * Les efforts horizontaux seront répartis entre les culées.



Notation:

I : inertie de la section

b : diamètre du piliers.

E : module d'élasticité du matériau.

La déformation d'un élément sous l'effet d'un effort horizontal unitaire ($H=1t$) est:

$$\sum \delta_{ij} = \delta_{11} + \delta_{21} + \delta_{31} = \frac{Tr}{nG_A} + \frac{h^3}{3EI} + f = \sum_{j=1}^3 \delta_{ji}$$

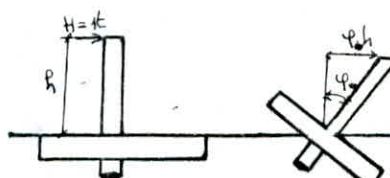
δ_{11} = déformation de l'élastomère = $\frac{Tr}{nG_A}$ n: nbre d'appareils d'appui

G: module de cisaillement

A: section de l'appareil d'appui

δ_{21} = déformation de la pile (=0).

δ_{31} = déformation de la fondation = $f = w_0 + \varphi_{ph}$



φ_{ph} = déplacement du à la rotation de la fondation.

La hauteur de piliers et $f = w_0 + \varphi_{ph}$. : $w_0 = \frac{1}{EI} \left(\chi_{wp} \frac{P^*}{\lambda^3} + \chi_{wH} \frac{H^*}{\lambda^2} \right)$

avec $\lambda = \left(\frac{b \cdot c_u}{4EI} \right)^{1/4}$ c_u = module de réaction du sol = $6000 t/m^2$.

$P^* = \frac{1t}{n}$ n: nbre de piliers.

Les valeurs de χ_{wp} , χ_{wH} , χ_{wp^*} , χ_{wp^*} sont données par le tableau de Werner en fonction de $\lambda \cdot l$.

Application:

$$P^* = \frac{1}{n} = \frac{1}{5} = 0,2t ; H^* = \frac{h \cdot H}{5} = \frac{1,51}{5} = 0,3t m.$$

pour une longueur de piliers $l = 10m$; $b = 1,20m$; $I = \frac{b^4 \pi}{4} = 0,1018 m^4$, $E = 3 \cdot 10^6 t/m^2$.
 $\lambda = \left(\frac{b \cdot c_u}{4EI} \right)^{1/4} = \left(\frac{1,20 \cdot 6 \cdot 10^3}{4 \cdot 3 \cdot 10^6 \cdot 0,1018} \right)^{1/4} = 0,277$. $c_u = 6000 t/m^2$.

$$\lambda \cdot l = 0,277 \rightarrow \chi_{wp} = -1,5253 ; \chi_{wp^*} = 1,2037$$

$$\chi_{wH} = -1,205 ; \chi_{wH^*} = 1,5283.$$

Donc:

$$w_0 = \frac{1}{EI} \left(\chi_{wp} \frac{P^*}{\lambda^3} + \chi_{wH} \frac{H^*}{\lambda^2} \right) = 0,24 \cdot 10^{-5} m \quad \frac{Tr}{nG_A}$$

$$\varphi_{ph} = \frac{1}{EI} \left(\chi_{wp^*} \frac{P^*}{\lambda^2} + \chi_{wH^*} \frac{H^*}{\lambda} \right) = 1,57 \cdot 10^{-5} m.$$

Donc $f = w_0 + \varphi_{ph} = 8,6 \cdot 10^{-5} m = f_{30} = \delta_{31}$.

Tableau de rigidités et des efforts horizontaux pour chaque culée.

	appareil $\chi_{C(i)}$	$\delta_{11}(10^{-5} m)$	$\delta_{31}(10^{-5} m)$	$\sum \delta_{ij}(10^{-5} m)$	rigidité K_{ij}	$K_{11}x_i$	$H \cdot \%$	freinage(t)	pliométrie(t)
culée 0	0	0,4	8,6	9	0,111	0	50	15	29,825
culée 1	34	0,4	8,6	9	0,111	3,48	50	15	29,825

Calcul de la déformation de l'élastomère: $\delta_{10} = \delta_{11} = \frac{Tr}{nG_A} = \frac{8,6}{13 \cdot 20 \cdot 60 \times 10^3} = 0,4 \cdot 10^{-5} m$.

Calcul des efforts résultant de variation linéaire du tablier.

Centre de déplacement: est défini comme étant la position de la section du tablier qui ne peut aucun déplacement. La position du centre de déplacement est définie par la formule

$$X_c = \frac{\sum K_{ij} x_i}{\sum K_{ij}} = 17m = L/2$$

La variation linéaire d'un point d'abscisse x_i s'écrit : $U_{Lc} = \Delta L_{max} \cdot \frac{x_i}{L}$
 ΔL_{max} = déplacement maximal de la variation linéaire $\Delta L_{max} = 27,98 \text{ mm}$.
 cette variation engendre un effort horizontal $H_{VL} = \frac{n_G \cdot U_{Lc} \cdot a \cdot b}{T_r}$ (a, b, T_r étant les caractéristiques de l'appareil d'appui)

au niveau du point $x_i = 0 \rightarrow U_{Lc} = 0 \rightarrow H_{VL} = 0$.
 au niveau de la culée $x_i = 17 \text{ fm} \rightarrow U_{Lc} = \frac{17}{34} \cdot 27,98 = 13,89 \text{ mm} \rightarrow H_{VLc} = \frac{13,89 \cdot 1,399 \cdot 20,400}{8,3}$
 $\rightarrow H_{VLc} = 17,53 \text{ t.}$

XXV - Vérification des appareils d'appui

Vérification au débordement.

a) Sous variation linéaire :

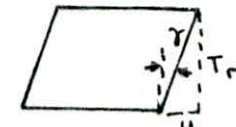
Nous devons vérifier que: $\Sigma H = G_1 \cdot \operatorname{tg} \gamma \leq 0,5 G_1 \rightarrow \operatorname{tg} \gamma \leq 0,5$

et la déformation de l'appui sous variation linéaire

Le module de cisaillement de l'élastomère sous un effort dynamique est 2 fois plus grand que celui du même élastomère sous un effort statique.

$$\operatorname{tg} \gamma = \frac{u}{l}$$

$$u_{lc} = 13,99 \text{ mm} \rightarrow \operatorname{tg} \gamma = \frac{u_{lc}}{l_r} = \frac{13,99}{83} = 0,168 < 0,5 \quad \text{vérifiée.}$$



b) Sous variation linéaire + frottement :

$$\Sigma H = G_1 \operatorname{tg} \gamma + \frac{H_f r}{n \cdot a \cdot b} \leq 0,1 + G_1.$$

$$\operatorname{tg} \gamma + \frac{H_f r}{n \cdot a \cdot b \cdot G_1} \leq 0,1$$

$$\frac{13,99}{83} + \frac{15 \cdot 10^3}{13 \cdot 20 \cdot 40 \cdot 20} = 0,24 < 0,1. \quad \text{Vérifié.}$$

c) Sous variation linéaire + flexion :

$$\Sigma H = G_1 \cdot \operatorname{tg} \gamma + \frac{H_d}{n \cdot a \cdot b} \leq 1,33 G_1 \rightarrow \operatorname{tg} \gamma + \frac{H_d}{n \cdot a \cdot b \cdot G_1} \leq 1,33$$

$$\frac{13,99}{83} + \frac{58,65 \cdot 10^3}{13 \cdot 20 \cdot 40 \cdot 20} = 0,46 < 1,33 \quad \text{vérifié.}$$

d) Sous charge verticale + charge horizontale + rotation d'appui

$$\Sigma N + \Sigma H + \Sigma \alpha \leq \Sigma = 5 G_1.$$

$$\Sigma N = 1,5 \frac{\sigma_{max}}{\beta}; \quad \beta = \frac{a \cdot b}{2t(a+b)} = \frac{200 \times 100}{2 \cdot 83(400+200)} = 8,33 \quad (t = \text{épaisseur du failllet moyen} = 8,3 \text{ mm})$$

$$\sigma_{max} = 80,4 \text{ kg/mm}^2 = \frac{f_{max}}{a \cdot b}.$$

$$\Sigma N = 1,5 \cdot \frac{80,4}{8,33} = 14,473 \text{ kg/mm}^2 = 144,73 \text{ t/mm}^2.$$

$$\Sigma H = G_1 \operatorname{tg} \gamma + \frac{H_d}{n \cdot a \cdot b} + \frac{H_d}{n \cdot a \cdot b} = 20 \cdot 0,168 + \frac{15 \cdot 10^3}{13 \cdot 20 \cdot 40} + \frac{29,325 \cdot 10^3}{13 \cdot 20 \cdot 40} = 7,62 \text{ kg/mm}^2$$

$$\Sigma \alpha = \frac{1}{2} \frac{\alpha^2}{\beta^2} \left(\frac{\alpha_T + \alpha_\alpha}{n} \right) \cdot G_1 \quad n = \text{nbre de failllets de l'élastomère} = 10 \\ t = \text{épaisseur du failllet moyen} = 8 \text{ mm}.$$

$\alpha_0 = 0,01$ nd due aux imperfections des appareils d'appuis et aux défauts d'exécution.

$\alpha_T = \text{rotation d'appui} \quad \alpha_T = 0,0052 \text{ rad}$

$$\Sigma \alpha = \frac{1}{2} \frac{(100)^2}{(8,33)^2} \left(\frac{0,0052 + 0,01}{10} \right) \cdot 10 = 4,75 \text{ kg/mm}^2.$$

$$\Sigma = \Sigma N + \Sigma H + \Sigma \alpha = 144,473 + 7,62 + 4,75 = 156,848 \text{ kg/mm}^2 < 5 G_1 = 50 \text{ kg/mm}^2$$

Condition de non rebondissement:

$$\text{on doit vérifier que: } \alpha_t = \frac{\alpha_T + \alpha_\alpha}{n} \leq \frac{3}{\beta} \frac{t^2}{a^2} \quad \frac{\sigma_{max}}{G_1} = \frac{3}{8,33} \left(\frac{8}{20} \right)^2 \frac{80,4}{10} = 0,44 \\ = \frac{0,0052 + 0,01}{10} = 1,52 \cdot 10^{-3} < 0,44 \quad \text{vérifié.}$$

Condition de non cheminement et de non glissement:

La condition de non glissement s'écrit: $H \leq f \cdot N$.

Effort normal provenant du tablier à vide $\approx R_{min} = 44,46 \text{ t}$

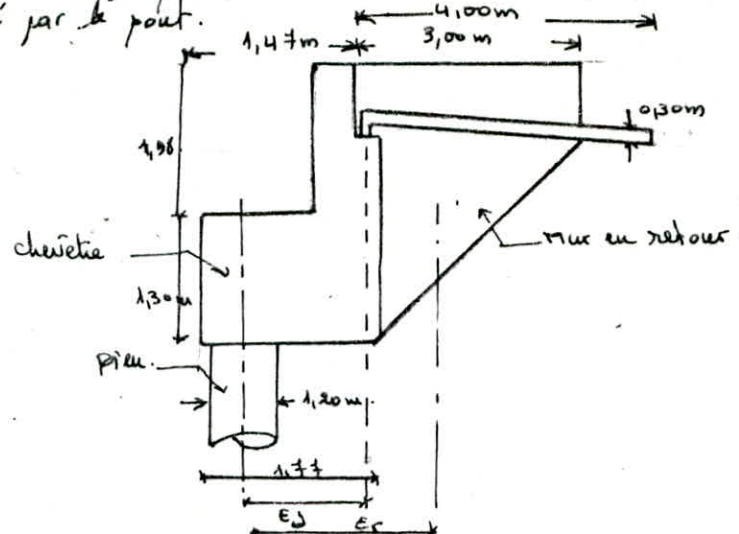
f : coefficient de frottement total $= 0,1 + \frac{6}{\sigma_{max}} + 0,15 = 0,325$.

$$H = \frac{1}{13} (H_f r + H_d) = \frac{1}{13} (15 + 29,325) = 3,41 \text{ t} < f \cdot N = 0,325 \cdot 44,46 = 14,45 \text{ t}$$

Conclusion: les rotules résistent à toute la révolution. $\text{f} \approx 0,325 \quad \text{vérifié}$

XX - ÉTUDE DE LA CULÉE

La culée est un des éléments le plus sollicité elle doit assurer la continuité entre la chaussée de la route et celle portée par le pont.



D) Etude du chevêtre :

Le chevêtre peut-être soumis au plus de son poids propre à des actions telles que :

- Mur garde-grève
- dalle de transition
- Mur en retour
- tablier lorsque les points d'appui ne sont pas au droit de colonnes ou poteaux.

Evaluation des charges : (Documents SETRA)

Poids propre : $q_1 = 2 \cdot 2,15 \cdot S = 55$ s'étant la section totale du chevêtre (y compris le garde-grève) $S = 3,09 \text{ m}^2 \rightarrow q_1 = 15,45 \text{ t/nel.}$

D) Mur garde-grève :

* charges verticales : dans le cas de l'absence de la dalle de transition la charge verticale peut être négligée.

D) Charge horizontale :

$$- q_1 = \text{poussée des terres} : q_1 = \frac{k_a \cdot \delta \cdot h^2}{2}$$

$$q_1 = \frac{0,33 \cdot 2 \cdot (3,28)^2}{2} = 3,55 \text{ t/nel}$$

k_a : coefficient de poussée.

δ : poids volumique du cailloutier = 24 t/m^3

D) Poussée d'une charge locale située en arrière du garde grève :

Il a été vérifié que la sollicitation totale due aux camions Bc était la plus défavorable cet effet fut produit par les 2 roues arrières de Bc de deux camions accolés placés de telle manière que le rectangle d'impact soit au contact de la face arrière du garde grève. Les charges réelles ($2 \times 6t$) instaurées de 0,5m pour remplacer par une charge uniformément répartie équivalente de 1t repartie sur un rectangle de $(0,45 \times 0,26) \text{ m}^2$.

$$q_2 = k \cdot \frac{P}{0,45 + 2h} \quad k = k_a \cdot \delta \cdot b_c = 0,33 \cdot 1,2 \cdot 1 \cdot 1,1 = 0,43 \quad (\gamma: \text{coeff de fondation})$$

$$q_2 = 0,43 \cdot \frac{12}{0,45 + 2 \cdot 0,26} = 0,71 \text{ t/nel.}$$

δ : " " majoration dynamique

$$- \text{Force de freinage} : q_3 = \frac{P \cdot b_c}{0,45 + 2h} = \frac{6}{0,45 + 2 \cdot 0,26} = 1,2 = 1,06 \text{ t/nel}$$

$$Q = q_1 + q_2 + q_3 = 3,55 + 0,71 + 1,06 = 5,32 \text{ t/nel.}$$

E) Dalle de transition :

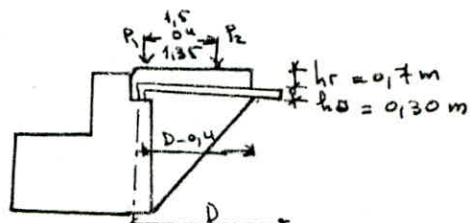
* Réaction de la charge permanente :

$$D_{G_1} = D (1,25 h_r + 1,1 h_d) = 4,58 \text{ t/nel.}$$

* Réaction des charges Bc ou Bt :

Les roues sont placées comme indiqué sur le schéma à droite. On admet que les deux charges P_1 et P_2 sont équivalentes chacune à une charge répartie de 5,5 t/nel arrivée en un roulement indéfini.

Pour tenir compte du choc d'un roulement sur voisinage de l'appui la charge P_1 sera frappée de majoration ($\delta = 2$). La charge P_2 se répartie entre les deux appuis de la dalle de transition et sera affectée d'un coefficient de majoration dynamique pris égale à 1,2.



La force égale à $275,5 + \frac{8,5(4-0,4-1,35)}{4-0,4} \cdot 1,2 = 15,13 \text{ t/mf}$.
 La réaction totale de la dalle de transition est: $4,58 + 15,13 = 19,71 \text{ t/mf} = Q_f$
 moment de torsion dû à la dalle de transition:

$$C_{\min} = -\frac{1}{2} \cdot Q_f \cdot e \cdot E_d$$

E_d : distance de l'appui de la dalle à l'axe du chevêtre.
 $E_d = 0,82 \text{ m}$.

e : entre axe des piliers = 4 m.

$$C_{\min} = -\frac{1}{2} \cdot 19,71 \cdot 4 \cdot 0,82 = -36,27 \text{ t/m}$$

D) Mise en retour:

Les charges les plus importantes sont dues à la charge variable concentrée appliquée aux murets de charge verticale et prise égale à $4t = V_r$

" " horizontale et prise égale à $2t = H_r$

Moment d'axe horizontal: $M_r = -a \cdot V_r = 1,3 + 5 \cdot 4 = -5,5 \text{ t.m}$

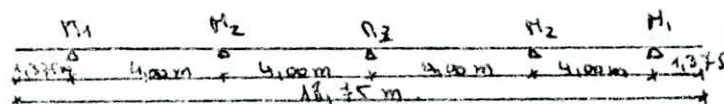
Moment d'axe vertical: $M_r = (e-1) H_r = (3,9-1) \cdot 2 = -5,8 \text{ t.m}$

$C_{\max} = 0$.

E) Réactions du tablier:

Dans notre cas le chevêtre est porteur, les moments de torsion sont nuls, car le tablier repose sur l'axe du chevêtre.

$$q = \frac{13,5 + 33,67 \cdot 1,35}{18,75} = 33,67 \text{ t/mf} =$$



$$\eta_1 = -q_i \frac{a^3}{2} \quad a = 1,3 + 5 \text{ m}$$

$$M_2 = \eta_2 = q_i \frac{e^2}{10} \quad e = 4 \text{ m}$$

moment en trave:

$$M_A = \eta_B = q_i \frac{e^2}{10}$$

$$T = 0,6 q_i \cdot e = T_{\max}$$

Tableau récapitulatif des efforts:

Nature de la charge	M ₁ de flexion d'axe horizontal	M ₂ de flexion d'axe vertical	Moment d'axe horizontal	Moment d'axe vertical	Effort tranchant ext (t)	
prise propre	20,6	-24,72	-	-	-	34,08
Dalle de transition	26,3	-31,95	-	-	-36,27	44,32
Mur garde-gêne	-	-	7,09	-8,5	14,52	12,77
Sur le retour	4,90	-5,5	-	-5,8	0	-11,6
réaction au tablier	1,65	-5,87	-	-	0	80,8
combiné sur l'action	31,8	-45,64	7,09	-14,3	14,52	177,8
Sur l'action	42,93	-56,1	9,57	-19,3	19,16	240,03

Les moments de torsion ont été calculés comme suit: (d'après le document SETRA).

Dalle de transition: $C_{\max} = 0$.

$$C_{\min} = -\frac{1}{2} \cdot q \cdot e \cdot E_d$$

Sur garde-gêne: $C_{\max} = M_{gh}/2 = 1,25 (h_g + 0,5 h_c + 1) \cdot e$.

$$C_{\min} = -1,15 \cdot e$$

Sur le retour: $C_r = V_r \cdot E_r$.

h_g = hauteur du garde-gêne
 h_c = hauteur du chevêtre
 e = entre axe des piliers
 $(=4 \text{ m})$

1.2 Ferrailage:

1.2.1) Ferrailage de flexion: g E.L.S.

$$M_a = 115,6 \text{ t.m.} \quad M_t = 91,8 \text{ t.m.}$$

Armatures supérieures:

$$\mu = \frac{M}{b d^2 \bar{\sigma}_s} = \frac{115,6 \cdot 10^5}{177(120)^2 \cdot 2800} = 0,0016 \rightarrow \beta = 0,9325 \quad k_{\bar{\sigma}_s} = 47,6 \text{ kg/cm}^2 < 0,6 f_{c28} = 162$$

$$\rightarrow A = \frac{M}{\beta d \bar{\sigma}_s} = \frac{115,6 \cdot 10^5}{0,9325 \cdot 120 \cdot 2800} = 36,9 \text{ cm}^2.$$

ferrailage inférieur:

$$\mu = \frac{M}{b d^2 \bar{\sigma}_s} = \frac{91,8 \cdot 10^5}{177(120)^2 \cdot 2800} = 1,28 \cdot 10^{-3} \rightarrow \beta = 0,94 \quad k_{\bar{\sigma}_s} = 42 \text{ kg/cm}^2 < 162$$

$$\rightarrow A_{inf} = \frac{M}{\beta d \bar{\sigma}_s} = \frac{91,8 \cdot 10^5}{0,94 \cdot 120 \cdot 2800} = 20,07 \text{ cm}^2.$$

b) à l'E.L.U.:

$$n_9 = 156 \text{ t.m.} \quad n_t = 123,93 \text{ t.m.}$$

ferrailage supérieure:

$$\mu = \frac{M}{b d^2 \bar{\sigma}_b} = \frac{156 \cdot 10^5}{177(120)^2 \cdot 153} = 0,04$$

$$\mu = 0,04 \rightarrow \alpha = 0,051 < \mu_f = 0,392$$

$$\rightarrow 1000 \bar{\sigma}_s = 10 \rightarrow \bar{\sigma}_s = 3480 \text{ kg/cm}^2$$

$$\rightarrow A = \frac{M}{\beta d \bar{\sigma}_s} = \frac{156 \cdot 10^5}{0,98 \cdot 120 \cdot 3480} = 0,98$$

$$A = \frac{156 \cdot 10^5}{0,98 \cdot 120 \cdot 3480} = 38,11 \text{ cm}^2.$$

$$\bar{\sigma}_b = \frac{0,95 f_{c28}}{\gamma_b = 1,15} \quad f_{c28} = 270 \text{ kg/cm}^2$$

$$\bar{\sigma}_b = 153 \text{ kg/cm}^2.$$

ferrailage supérieur:

$$\mu = \frac{M}{b d^2 \bar{\sigma}_b} = \frac{123,93 \cdot 10^5}{177(120)^2 \cdot 153} = 0,031 \rightarrow$$

$$\alpha = 0,03939 < \mu_f = 0,392$$

$$\rightarrow \bar{\sigma}_s = 3480 \text{ kg/cm}^2$$

$$\beta = 0,9845$$

$$\rightarrow A = \frac{M}{\beta d \bar{\sigma}_s} = \frac{123,93 \cdot 10^5}{0,98 \cdot 0,9845 \cdot 3480} = 30,14 \text{ cm}^2.$$

1.2.2) Ferrailage de torsion:

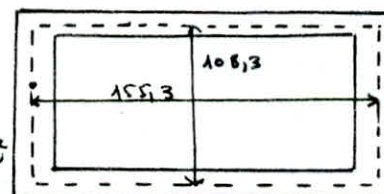
$$M_c = 74,07 \text{ t.m.}, \quad \frac{f_e}{\gamma_s} = \frac{4200}{1,15} = 3652,17 \text{ kg/cm}^2. \quad f_{c28} = 270 \text{ kg/cm}^2.$$

Verification au cisaillement:

$$Sv = 108,3 \cdot 155,3 = 16819 \text{ cm}^2$$

$$U = 2(108,3 + 155,3) = 527,2 \text{ cm}$$

$$* C = \frac{T}{Sv \cdot e} = \frac{74,07 \cdot 10^5}{2 \cdot 16819 \cdot 21,7} = 10,14 \text{ kg/cm}^2$$



$$e = \frac{130}{6} = 21,7$$

$$* effort de cisaillement \Delta \text{à l'effort tranchant: } C_T = \frac{T}{b \cdot d} = \frac{240 \cdot 10^3}{177 \cdot 120} = 11,3 \text{ kg/cm}^2$$

$$- C_{torsion} + C_T = 10,14 + 11,3 = 21,43 \text{ kg/cm}^2 < C_u = \min(0,13 f_{c28}, 46 \text{ kg/cm}^2) = 35,1 \text{ kg/cm}^2.$$

* les armatures longitudinale de torsion sont:

Verifie

$$A_f = \frac{4 \cdot M_t}{2 \cdot \gamma_s \cdot \frac{f_e}{\gamma_s}} = \frac{527,2 \cdot 74,07 \cdot 10^5}{2 \cdot 16819 \cdot \frac{4200}{1,15}} = 31,8 \text{ cm}^2.$$

1.2.3*) Calcul des armatures transversales de torsion:

$$\frac{A_f}{B_f} = \frac{A_{t0}}{B_f} \rightarrow A_{t0} = A_f \cdot \frac{B_f}{B_t} = 31,8 \cdot \frac{177 \cdot 100}{177 \cdot 130} = 24,44 \text{ cm}^2.$$

*) Calcul des armatures transversales due à l'effort tranchant:

$$A_f = \frac{T \cdot S_f}{3 \cdot \frac{f_e}{\gamma_s}} = \frac{240 \cdot 10^3 \cdot 100}{105 \cdot \frac{4200}{1,15}} = 62,58 \text{ cm}^2.$$

la portion d'armature transversale totale par mètre linéaire est: $24,44 + 62,58 = 87,02 \text{ cm}^2$

$$A_f = 87,02 \text{ cm}^2.$$

Calcul de l'espacement t des barres: $A_f = 9,05 \text{ cm}^2$ (soit 8 T12)

$$t \leq \frac{100}{9,05} = 10,4$$

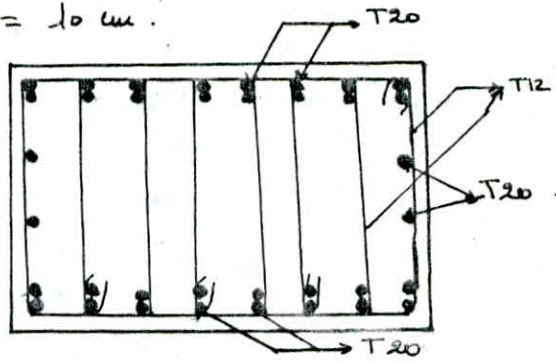
$$87,02$$

on prendra: $t = 10 \text{ cm}$.

$$A_{sup} = 13T20 = 40,84 \text{ cm}^2. A_{torsion} = 10T20$$

$$A_{inf} = 13T20 = 40,84 \text{ cm}^2.$$

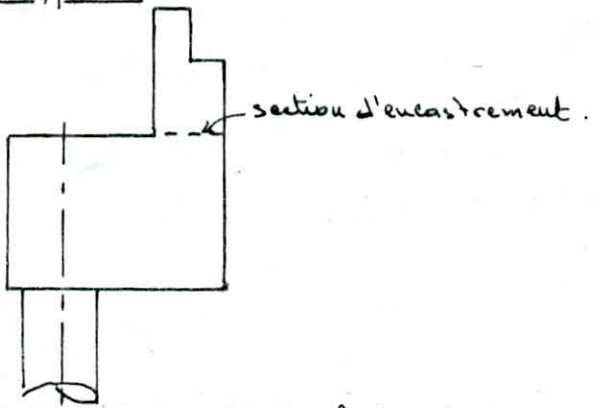
NOTA: lorsque l'espacement des pieux est modéré les armatures supérieures et inférieures doivent être identiques (SETRA).



II Calcul du mur garde-grève :

Le mur garde grève est soumis essentiellement à l'action des forces horizontales sur la face arrière du bâtiment avec le terre.

II.1 Évaluation des effets:



2.1.1) charges horizontales: l'effet maximal est obtenu par la combinaison de forces équivalentes de l'arrière vers l'avant

$$\times \text{ poussée sur terre: } M_f = \frac{k_a \cdot \Delta \cdot h^3}{6} = \frac{0,33 \cdot 2 \cdot (1,98)^3}{6} = 0,85 \text{ tm/mf}.$$

× poussée d'une charge locale située au arrière du mur:

$$M_p = \frac{12 \cdot k}{0,12r + 2h} \int_0^{h-x} \frac{h-x}{0,12r+x} dx \quad (\text{tm/mf}) \quad k = k_a \cdot \delta \cdot L_c$$

$$k_a = 1,1 \quad (\text{pour la 1ère classe})$$

$$k_a: \text{coefficent de poussée} = 0,33$$

$$\delta = 1: \text{charge sur mur}$$

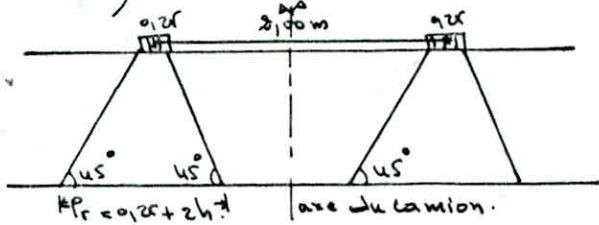
$$k = k_a \cdot \delta \cdot L_c = 0,33 \cdot 1,1 \cdot 1,1 = 0,43.$$

La valeur de M_p/k est fonction de la hauteur h :

h	$M_p/k \text{ (tm/mf)}$
0,5	2,23
0,75	3,40
1,0	4,41
1,15	6,11
2,0	7,145
2,15	8,156
3,0	9,49

$$h = 1,98 \text{ m} \rightarrow \frac{M_p}{k} = 7,140 \text{ tm/mf} \rightarrow M_p = 7,14 \cdot 0,43 = 3,18 \text{ tm/mf}.$$

* force de freinage d'un essieu lourd du camion BC:



La force de freinage est égale au poids d'une roue, soit 6t ou M_F :

$$M_F = \frac{6h}{0,12r + 2h} \cdot \delta = \frac{6 \cdot 1,98 \cdot 1,12}{0,12r + 2 \cdot 1,98} = 3,39 \text{ tm/mf}.$$

* Moment à l'encastrément: $M_{tot} = M_f + M_p + M_F = 7,142 \text{ tm/mf}.$

- i) Charge verticale:
 les charges verticales comprennent:
 - le poids propre du mur.
 - la réaction d'une charge directement appliquée sur le garde-grève.
 - la réaction de la dalle de transition.
 le poids propre et la réaction d'une charge supposée centrale créent un moment favorable vis à vis des efforts dues aux forces horizontales, le moment due à la dalle de transition est nul pendant la hauteur du garde-grève.
 pour ces différents raisons on peut négliger l'effet des forces verticales.

ii) Effort tranchant:

$$\text{Poussée de terre: } T_1 = \frac{k_a \cdot D \cdot h^2}{2} = 0,33 \cdot 2 \cdot (1,98)^2 = 1,3 \text{ t/mel}$$

$$\text{Fermeage: } T_2 = \frac{6 \cdot \gamma}{0,75 + 2h} = 1,4 + 1 + 1 \text{ t/mel}$$

$$\text{charge localisée: } T_3 = \frac{12 \cdot k}{0,75 + 2h} = \frac{12 \cdot 0,43}{0,75 + 2 \cdot 1,98} = 1,09 \text{ t/mel}$$

$$\text{Effort tranchant total } T = \sum_{i=1}^3 T_i = 4,09 \text{ t/mel.}$$

2.4 Ferrailage:

* Ferrailage de l'arrière du garde grève.

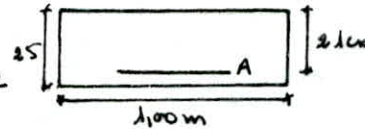
$$M_u = 1,35 M_s = 1,35 \cdot 4,142 = 10 \text{ t.m/mel.}$$

$$T_u = 1,35 T = 1,35 \cdot 4,09 = 5,52 \text{ t/mel.}$$

$$M = \frac{M_u}{b \cdot J^2 \cdot \bar{\epsilon}_b} = \frac{10 \cdot 10^5}{100 \cdot (21)^2 \cdot 153} = 0,11482 < \mu_f = 0,392$$

$$\rightarrow \beta = 0,318$$

$$\alpha = 0,2013 \rightarrow 1000 \epsilon_s = 10 \rightarrow \epsilon_s = 3480 \text{ kg/cm}^2.$$



$$\text{d'où la section d'armature est: } A = \frac{M_u}{\beta \cdot J_s} = \frac{10 \cdot 10^5}{0,318 \cdot 21 \cdot 3480} = 15 \text{ cm}^2.$$

on prendra une section $A = 10 T_{14} = 15,31 \text{ cm}^2$ avec un espaceur de 14 cm

* Ferrailage de la face avant:

Le moment à l'encastrement est dû au fermeage minoré de la poussée de terre. quelle que soit la hauteur du mur le moment est pris égal à $M = -3,2 \text{ t.m/mel}$.
 dans notre cas la dalle de transition s'appuie sur le garde grève il est recommandé de disposer sur la face avant au moins la même armature que celle de la face arrière (documents SETRA).

* Ferrailage horizontal:

Il sera adopté de T_{10} tous 15 cm pour la deux face. (documents SETRA).

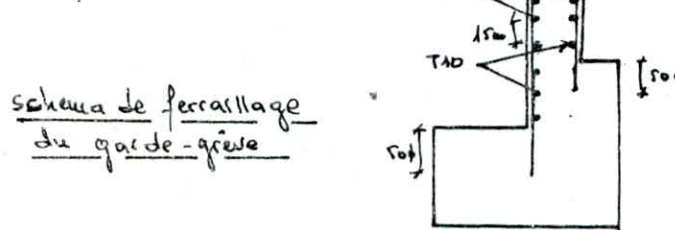


Schéma de ferrailage
du garde-grève

* Ferrailage du corbeau de la dalle de transition:

Nous adopterons le schéma de ferrailage publié dans les documents SETRA.

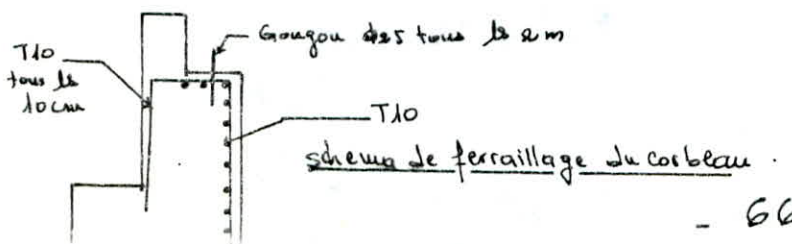
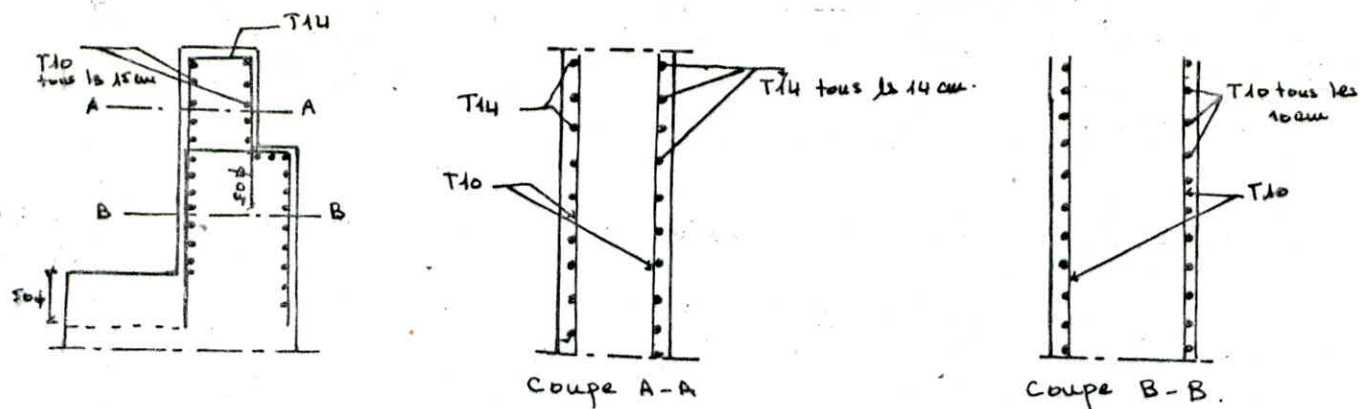


Schéma de ferrailage du corbeau

Schéma de ferrailage du mur garde-grève et du corbeau:



Calcul du mur en retour

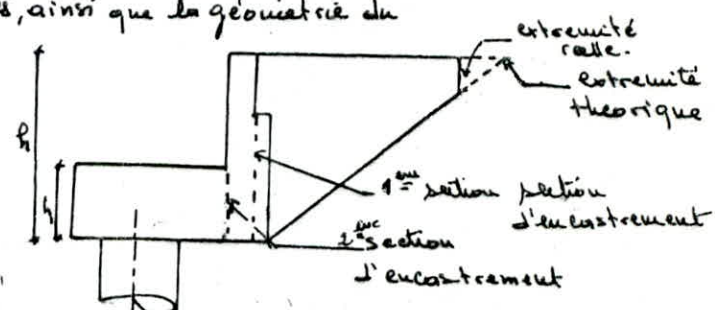
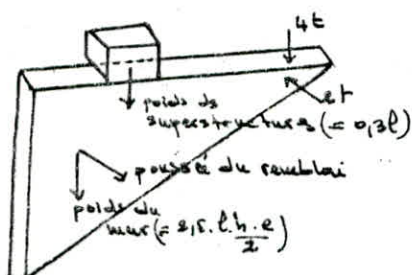
Action sollicitant le mur en retour:

poids propre du mur y compris la superstructure (trottoir, garde corps ...)

charge horizontale répartie

charges concentrées appliquées à 1m de l'extrémité théorique du mur comprenant une charge verticale de 4t et une charge horizontale de 2t.

Les schémas ci-dessous détaillent les forces appliquées, ainsi que la géométrie du mur prise en compte pour le calcul.



Evaluation des efforts: Nous effectuerons nos calculs par rapport à la 2^{me} section d'encastrement.

3.1.1 Force verticale:

poids propre du mur y compris la superstructure) + la charge de 4t.

$$T = 2,15 \cdot \frac{l \cdot h}{2} \cdot e + 0,3 \cdot l + 4$$

$$\text{et le moment d'axe horizontal } M_H = 2,15 \cdot \frac{l^2 \cdot h}{6} + 0,3 \cdot \frac{l^2}{6} + 4(l-1)$$

$$M_H = 2,15 \cdot \frac{3,9^2 \cdot 3,28}{6} \cdot 0,3 + 0,3 \cdot \frac{(3,9)^2}{6} + 4(3,9-1) = 20,12 \text{ t.m.}$$

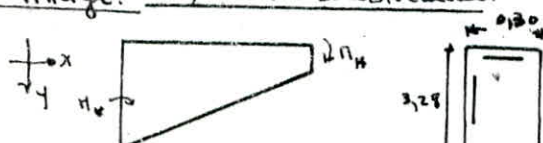
3.1.2 Forces horizontales

les forces horizontales exercent à l'encastrement :

$$\text{un effort tranchant } H = \left(\frac{h}{3} + 0,5\right) \frac{l \cdot h}{2} + 2 = \left(\frac{3,28}{3} + 0,5\right) \frac{3,9 \cdot 3,28}{2} + 2 = 12,12 \text{ t}$$

$$\text{un moment d'axe vertical. } M_V = \left(\frac{h}{3} + 0,5\right) \frac{l^2 \cdot h}{8} + 2(l-1) = \left(\frac{3,28}{3} + 0,5\right) (3,9)^2 \cdot \frac{3,28}{8} + 2(3,9-1) = 19,05 \text{ t.m.}$$

3.2 Ferrailage: 1^{re} section d'encastrement:



3.2.1 Ferrailage horizontal: $M_H = 20,12 \text{ t.m.} \rightarrow F_{H,H} = 1,35 \cdot 20,12 = 27,16 \text{ t.m.}$
 $h_p = 3,28 \text{ m} \quad b = 3,0 \text{ m} \rightarrow t = 3,20 \text{ cm}$

$$f_b = \frac{H_u}{b \cdot t^2 \cdot S_b} = 0,006 \leftarrow M_F = 0,302 \rightarrow \alpha = 0,0075 \rightarrow 1000 \cdot \epsilon_s = 10 \rightarrow \epsilon_s = 3480 \text{ kg/m}^2$$

$$A = \frac{M_u}{\beta \cdot d \cdot \epsilon_s} = 2,144 \text{ cm}^2 \rightarrow 2T14 = 3,08 \text{ cm}^2$$

$$b = 320 \text{ cm}, h_f = 30 \text{ cm} \rightarrow h = b = 260 \text{ cm} \quad T_{10} = 1,35 \cdot 19,05 = 25,72 \text{ t/m}$$

$$\mu = \frac{\mu_u}{b \cdot h^2 \cdot b_0} = 0,076 < \mu_f = 0,382 \rightarrow \sigma_s = 3430 \text{ kg/cm}^2 \rightarrow \beta = 0,36 \rightarrow A = 29,6 \text{ cm}^2 \rightarrow (15T/6 = 30)$$

$$\rightarrow \mu = 0,0712 \rightarrow \alpha^2 = 0,0825$$

$$\beta = 0,386 \rightarrow A = 6,163 \text{ cm}^2 \rightarrow (C \Gamma 12 = 6,178 \text{ cm}^2)$$

$$\sigma_s = 3430 \text{ kg/cm}^2$$

3.2.3 Principe du ferrailage:

Le mur de retour est attaché au poteau de rive pour une hauteur h_1 , pour assurer la reprise du moment dû aux charges verticales et pour tenir compte du fait que le poteau d'application de force horizontale est fortement excentré vers le haut / à h_1 , le ferrailage total correspondant à la forces pouvant au moment dû aux charges horizontales et à disposer pour moitié de la quatrième de la hauteur d'attache h_1 .



$$s_{10} = \frac{A(\text{dû aux charges horizontales})}{2}$$

3.2.4 Vérification à l'effort tranchant:

$$T_{bx} = \frac{T_x}{b_0 \cdot z} \quad z = \frac{1}{8} h = \frac{1}{8} \cdot 320 = 280 \text{ cm}.$$

$$b_0 = 30 \text{ cm}.$$

$$T_{bx} = T_{by} = \frac{0,97 \cdot 1,35 \cdot 10^3}{30 \cdot 280} = 1,6 \text{ kg/cm}^2.$$

$$T_{bx} = T_{by} = \frac{1,35 \cdot 12,12 \cdot 10^3}{328 \cdot \frac{1}{8} \cdot 26} = 2,12 \text{ kg/cm}^2.$$

$$T_b = \sqrt{T_{bx}^2 + T_{by}^2} = 2,42 \text{ kg/cm}^2 \leftarrow T_{bx} = \min(0,13f_{c23}, 4,0 \text{ kg/cm}^2) = 35,1 \text{ kg/cm}^2$$

3.2.5 Armatures transversales:

Les efforts tranchants étant faibles on disposera des cadres T10 tous les 30 cm (documents SETRA).

IV Calcul de la dalle de transition:

La dalle de transition est appuyée sur l'arrière de la cabine et sur le rebord, et a pour but d'éviter la déviation en cas de tassement du rebord.

Elle sera calculée comme une poutre appuyée simplement sur 2 échelons.

4.1.1 Évaluation des efforts:

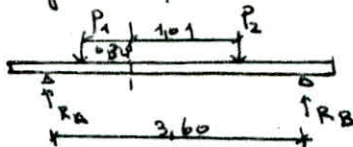
Poids propre: $2,15 \times 0,3 = 0,75 \text{ t/mf}$

poids du rebord (terre + revêtement) = $2,12 \times 0,70 = 1,54 \text{ t/mf}$

4.2.2. Surcharge:

on assimilera le sous à un coude à charge uniforme de $5,5 \text{ t/mf}$

$$R_A = \frac{P_1 \cdot 1,2 \cdot 2,14}{3,6} + \frac{P_2 \cdot 1,2 \cdot 0,70}{3,6} = 5,37 \text{ t/mf}$$



$$H_{max} = R_A (1,8 - 0,34) = 7,84 \text{ t/mf}$$

$$T_{max} = 2P_1 + 1,2P_2 \left(\frac{3,60 - 1,35}{3,60} \right) = 15,13 \text{ t/mf}$$

$$\text{Moment dû au poids propre + rebord: } q = q_f + r + 1,54 = 2,29 \text{ t/mf/mf}$$

$$F_{max} = q \frac{l^2}{8} = 3,171 \text{ t/mf}$$

$$T_{max} = q \frac{l}{2} = 4,12 \text{ t/mf}$$

→ efforts de calcul : $M = 11,55 \text{ t.m/mf}$
 $T = 1,92 \text{ t/mf}$.

4.8 Ferrailage de la dalle de transition:

$$M_u = 1,35 \cdot 11,55 = 15,6 \text{ t.m./muf}$$

$$\mu = \frac{1516 \cdot 10^5}{153 \cdot 100 (25)^2} = 0,163 < \mu_f = 0,382$$

$$\rightarrow \alpha = 0,2253, \beta = 0,93$$

$$\rightarrow g_s = 34,80 \text{ kg/cm}^2$$

$$\rightarrow A = \frac{\pi}{\beta \sqrt{g_s}} = 19,28 \text{ cm}^2$$

ou disposer de T_{20} ($19,64 \text{ cm}^2/\text{muf}$ avec $t = 16 \text{ cm}$)

Vérification au cisaillement:

$$\Sigma_u = \frac{T_u}{b_0 \cdot g} = \frac{1,35 \cdot 19,28 \cdot 10^3}{100 \cdot \frac{7}{8} \cdot 25} = 11,88 \text{ kg/cm}^2 < \Sigma_u = \min(0,13 \cdot f_{c23}, 40 \text{ kg/cm}^2) = 35 \text{ bar}$$

XXVII - Calcul des Fondations.

Calcul des efforts en tête de pieux

Efforts horizontaux:

effort engendré par les variations linéaires du tablier :

$$H_{BL} = \frac{G \cdot U_L \cdot a \cdot b}{T_r} = 17,53 t$$

5.1.2 effort horizontal engendré par le freinage

$$H_{fr} = 15 t \quad (\text{voir étude des appuis d'application})$$

5.1.3 " " " " "

$$H_D = 29,32 t \quad (" " " " ")$$

5.1.4 poussée de terre: $H_{Pr} = K_q \cdot \gamma \frac{h^2 \cdot l}{2}$

$$K_q = \tan^2 \left(\frac{\pi}{4} - \frac{\varphi}{2} \right) = 0,33$$

$$\begin{cases} \varphi = 30^\circ \\ \gamma = 20 \text{ kN/m}^3 \\ K_q = 0,33 \\ h = 3,28 \text{ m} \\ l = 18,75 \text{ m} \end{cases}$$

$$\rightarrow H_{Pr} = 66,56 t$$

5.1.5 poussée de surcharges sur le remblai:

$$H_{Pr} = K_s q_r \cdot h \cdot l = 0,33 \cdot 1 \cdot 3,28 \cdot 18,75 = 20,3 t$$

5.2 Tableau récapitulatif des efforts en tête de pieux

5.2.1 Compositions normales:

	$H(t)$	$F_v(t)$	$\delta(\text{tire})$	$M_{10}(\text{tm})$
poids propre du châssis: 1,77. 1,30. 18,75. 2,15	—	107,65	0,185	19,85
poids propre du garde-grêle 0,25. 1,88. 18,75. 2,15	—	23,2	0,645	14,96
Poids propre du cockpit: 0,30. 0,98. 18,75. 2,15	—	13,78	0,92	12,67
poids propre du mur de retour $2 \times 2,15 (0,25 + 3,28) \cdot \frac{3,10}{2} \cdot 0,3$	—	9,30	1,97	18,36
Palle de transitoire	—	2 t	0,92	24,84
poids propre du tablier	—	578	0	0
poussée de terre	66,56	—	1,09	-72,55
variations linéaires	17,53	—	1,50	-26,215
remblai pour la dalle de transition (1.18,75. 4)	—	72	0,92	66,24
poussée de la charge sur remblai	20,295	—	1,64	-33,28
surcharge pour le remblai (18,25. 4) . 1	—	36	0,92	33,12
surcharge routière	—	174,82	0	0
freinage	15	—	1,5	± 22,5
lourdeur:	119,24	1041,08		80,455

Effort horizontal par pieu: $H_{max} = 119,415 = 23,87 t$

Effort vertical par pieu: $F_{vmax} = 1041,0815 = 208,2 t$

Moment de tête par pieu: $\frac{80,455}{5} = 16,1 \text{ tm}$

Calcul des effets le long du piéz:

La répartition des moments le long du piéz sera déterminé par la méthode de WERNER avec les mêmes paramètres calculés dans le chapitre correspondant au calcul des appareils d'appui.

$$\lambda = 0,277 \text{ m}^{-1} \rightarrow \alpha = \frac{1}{\lambda} = 3,61$$

Le moment est donné par la formule suivante:

$$M(\frac{x}{l}) = X_{MH} \cdot M + X_{MM} \cdot \frac{H}{\lambda} = 16,09 \cdot X_{MM} + \frac{23,87}{0,277} \cdot X_{MH}$$

$$M(\frac{x}{l}) = 16,1 X_{MH} + 86,11 X_{MM}$$

Les tables de WERNER donnent les valeurs de X_{MM} et X_{MH} en fonction de x/l .

x/l	X_{MH}	X_{MM}	$M(x/l)$ (Nm)
0,0	0,00	1,00	16,1
0,1	0,125	1,00	37,6
0,2	0,148	0,95	56,6
0,3	0,152	0,86	53,6
0,4	0,157	0,70	60,32
0,5	0,150	0,55	51,88
0,6	0,140	0,39	40,703
0,7	0,126	0,24	22,61
0,8	0,115	0,11	14,70

§.2.2 conditions géométriques:

Lorsqu'on tient compte des effets géométriques le coefficient de poussée des terres est calculé par la formule de MONOBÉ-OKABE elle est telle que:

$$K_a = \frac{\cos^2(\varphi - \theta - \beta)}{\cos \theta \cos^2 \beta \cos(\varepsilon + \beta + \theta) \left[1 + \sqrt{\frac{\sin(4\varphi + \delta) \cdot \sin(4\varphi - \theta - \alpha)}{\cos(\varepsilon + \beta + \theta) \cdot \cos(\alpha - \beta)}} \right]}$$

β : inclinaison de la talus par rapport à la verticale $\beta = 0$

α : inclinaison du talus par rapport à l'horizontale $\alpha = 0$

ε : inclinaison de la résultante des forces / à l'horizontal $\varepsilon = 0$

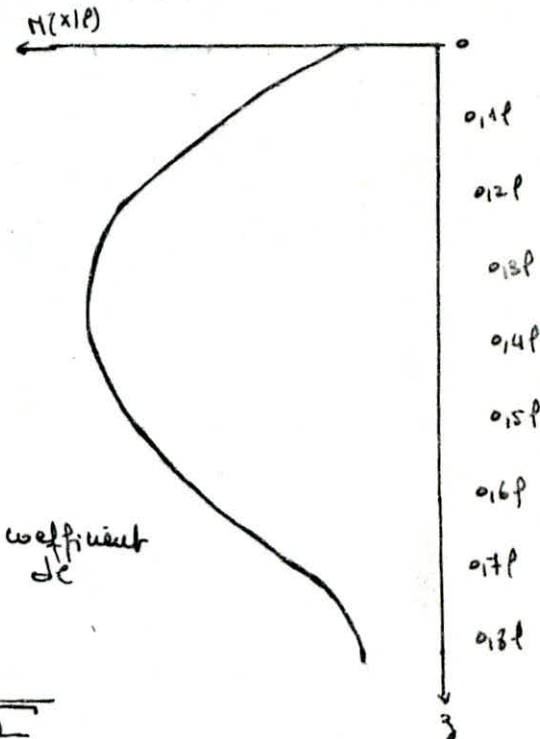
$$\theta = \operatorname{Arctg} \frac{\varepsilon h}{1 - \varepsilon v} \quad \varepsilon_h = 0,1 \quad ; \quad \varepsilon_v = 0,07$$

$$\theta = 6,13^\circ \rightarrow K = 0,58$$

La poussée des terres exerce un effet horizontal H :

$$H = 0,58 \cdot 2 \cdot (3,28)^2 \cdot \frac{18,75}{2} = 117 t.$$

Recapitulation des effets (voir tableau ci-après).



	$H(t)$	$F_V(t)$	$\Delta(m)$	$M_0(tm)$
nature de la charge chevêtre 10t + 85. $1,07$ $0,93$	—	115,4 100,3	0,135 18,55	2,135 18,55
grande-grève 23 $1,07$ $0,93$	—	25,46 22,13	0,645	16,42 14,27
corbeau 13,70 $1,07$ $0,93$	—	14,65 12,74	0,82	13,48 11,72
Flux en retour 9,30 $1,07$ $0,93$	—	9,94 8,64	1,97	19,16 17,02
Jalle de transition + rebordai jour jalle 99. $1,07$ ou $0,93$	—	105,93 92,07	0,92	97,45 84,57
poids du tablier 578 $1,07$ $0,93$	—	618,46 537,54	0	0
poussée vs terre	11+	—	1,09	-12,53
Variations linéaires	17,53	—	1,15	-66,24
poussée de surcharge cumulai	26,29	—	1,64	-33,28
surcharge du rebordai	—	36	0,92	33,12
surcharge routière	—	174,82	0	0
freinage	15	—	1,15	± 22,5
blesme horizontal	47,12	—	1,17	± 55,22
Combinaison d'action:	217,02	1113,5 971,37	—	+ 63,95 -137,234

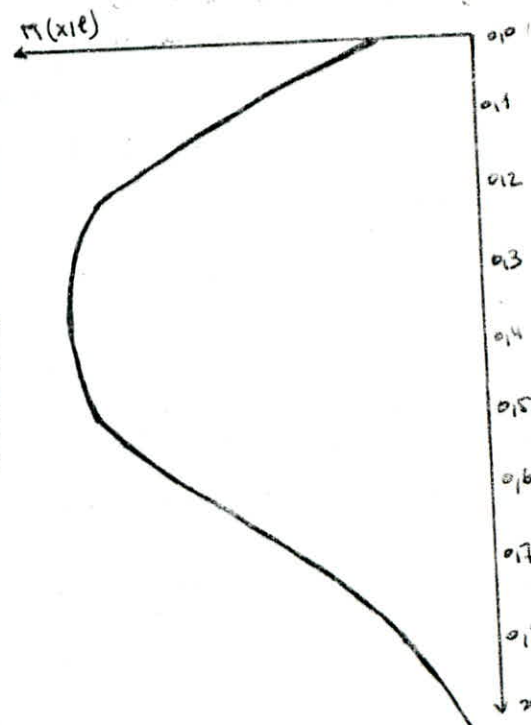
Effort horizontal par pieu: $H_{\max} = \frac{217,02}{5} = 43,4 \text{ t}$
 " vertical par pieu: $F_{V\max} = \frac{1113,5}{5} = 222,7 \text{ t}$
 $F_{V\min} = \frac{971,37}{5} = 194,27 \text{ t}$
 $M_{\max} = \frac{137,234}{5} = 27,5 \text{ tm.}$

Moment maximal par pieu

Repartition des efforts le long du pieu.

$$H(x|t) = 27,5 X_{RH} + 194,27 X_{HT}$$

$x t$	X_{RH}	X_{HT}	$H(x t) (\text{tm})$
0,0	0,00	1,00	27,44
0,1	0,25	1,00	66,47
0,2	0,48	0,95	101
0,3	0,52	0,86	104,75
0,4	0,57	0,76	108,16
0,5	0,50	0,55	93,12
0,6	0,40	0,39	73,12
0,7	0,26	0,24	47,16
0,8	0,15	0,11	26,42.



Ferrailage des pieux.

conditions normales:

$$N = 208,1 \text{ t}$$

$$M = 60,32 \text{ tm.}$$

conditions particulières:

$$N_{\max} = 222,7 \text{ t}$$

$$N_{\min} = 194,27 \text{ t}$$

$$M = 108,16 \text{ tm.}$$

Le ferrailage se calculera par la méthode exposée dans "l'aide mémoire de Béton armé" chapitre concernant les sections circulaires pleins soumises à la flexion courbée (cas des sections partiellement comprimées).

$$M = 108,16 \text{ t.m}$$

$$N = 222,7 \text{ t}$$

$$e = \frac{M}{N} = \frac{108,16 \cdot 10^2}{222,7} = 48,157 \text{ cm} > \frac{I}{B \cdot V} = 15 \text{ cm}$$

$e > \frac{I}{B \cdot V}$ la section est partiellement comprimée.

Calcul des paramètres K_e , K_a :

$$K_e = \frac{N \cdot e}{M} = \frac{222,7 \cdot 60}{108,16 \cdot 10^2} = 1,24$$

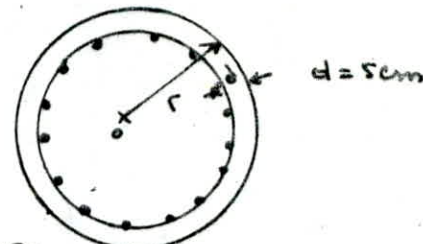
$$K_a = \frac{N}{V \cdot G_a} = \frac{108,16 \cdot 10^2}{(60)^3 \cdot 2666,67} = 0,02$$

$$\frac{d}{2r} = \frac{5}{2 \cdot 60} = 0,0417$$

$$K_e = 1,24 \quad \text{alors} \quad \bar{\omega} \% = 0,27 \rightarrow A = \frac{\bar{\omega} \cdot \pi r^2}{100} = 30,54 \text{ cm}^2.$$

$$K_a = 0,02 \quad K = 19,87$$

$$\text{La densité du béton est } \sigma_b' = \frac{G_a}{K} = 134,2 \text{ kg/m}^3 < \bar{\sigma}_b' = 153 \text{ kg/m}^3.$$



$$2) M = 108,16 \text{ t.m} \quad \text{et} \quad e = \frac{M}{N} = 55,68 \text{ cm} > \frac{I}{B \cdot V} \rightarrow \text{section partiellement comprimée.}$$

$$K_e = 1,08 \quad \text{et} \quad \bar{\omega} \% = 0,35 \rightarrow A = 40,172 \text{ cm}^2$$

$$K_a = 0,02 \quad K = 20,154 \rightarrow \sigma_b' = 130 \text{ kg/m}^3 < \bar{\sigma}_b'.$$

Acier minimale d'acier à utiliser:

$$\text{La section du bâti à prendre en compte est: } 0,8 \cdot 8 = 0,8 \cdot \frac{\pi \cdot (120)^2}{4} = 9047,3 \text{ cm}^2.$$

$$\text{La section d'acier minimale est } 0,8\% (9047,3) = 72,38 \text{ cm}^2$$

$$\text{on prendra une section } A = 16 \text{ T25} = 78,6 \text{ cm}^2.$$

Cette section est largement suffisante pour reprendre la flexion composée la plus prédominante.

Armatures transversales:

On disposera de T12 tous le 35 cm.

Calcul de la portance de pile:

plus chargé en pointe: tout les piles qui doivent reprendre pratiquement tous les charges pour une couche résistante intitulée à une profondeur importante au dessous de l'ouvrage.

Pour le calcul de la force portante nous utiliserons les formules statiques qui tiennent compte de l'effort de pointe et du frottement latéral.

1) Effort de pointe Q_p :

$$Q_p = B \left(N_q \sum \gamma_i D + 1,3 N_c C \right) = \frac{\pi \phi^2}{4} \sigma_{ad}$$

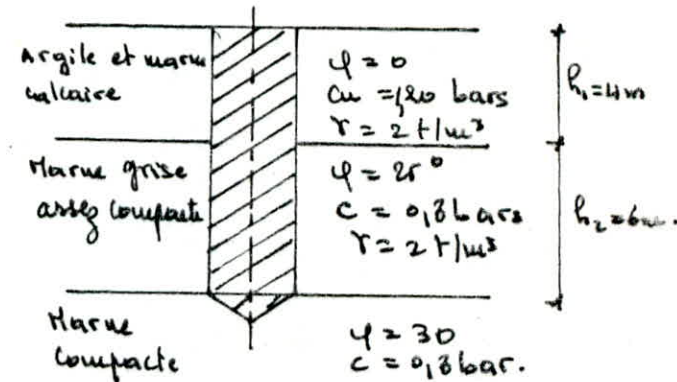
$$\phi = 30^\circ \rightarrow N_q = 18,4$$

$$N_c = 30,1$$

$$C = 3 \text{ t/m}^3 \quad \gamma = 1,20 \text{ m.}$$

$$1^{\text{er}} \text{ u } Q_p = \frac{\pi \phi^2}{4} (18,4 \cdot 1 \cdot 10 + 1,3 \cdot 30,1)$$

$$Q_p = 561,65 \text{ t} \approx 562 \text{ t.}$$



$$\text{NOTA: } Q_p = (0,3 \gamma B \cdot N_f + \delta D N_q + 1,3 C N_c) \cdot B$$

fonction profonde $B \ll D \rightarrow$ le terme $0,3 \gamma B N_f$ sera négligé.

Effort de frottement latéral Q_f :

profondeur nécessaire pour mobiliser l'effort de pointe (profondeur critique)
 $D_c = \frac{\phi}{4} Nq^{2/3} = 1,20 \left(\frac{\pi q^2}{4} \left(\frac{\pi}{4} + \frac{\phi}{2} \right) \right)^{2/3} = 2,09 \text{ m} = \text{profondeur critique}$

le frottement lateral agira jusqu'à la profondeur $D - D_c$

le frottement lateral est donné par la formule:

$$Q_f = \text{tsp.} \sin \delta \cdot \gamma \cdot (D - D_c)^2 \frac{\alpha}{2} + \text{tsp.} \cdot c \cdot \text{cote} q \cdot \sin \delta \cdot (D - D_c) \cdot q$$

($\frac{\pi}{4} \sin \delta + \frac{\phi}{2} \sin \delta$)

du piliers: $\bar{Q} = \frac{Q}{3} = 300 \text{ t}$

$$\delta = \delta' = 2/3 \phi \quad \text{tsp.} \sin \delta = \text{tsp.} \sin \delta' = 1,1$$

$$1^{\text{ère}} \text{ couche: } \phi = 0 \rightarrow \delta = \delta' = 0 \rightarrow Q_f = 0$$

$$2^{\text{ème}} \text{ couche: } \phi = 26^\circ \rightarrow \delta = \delta' = 2/3 \phi = 16,67^\circ$$

$$Q_f = 420 \text{ t}.$$

$$\text{La force admissible du pilier est: } \bar{Q} = \frac{Q_p + Q_f}{3} = \frac{770 + 562}{3} = 444 \text{ t}$$

$$\underline{\bar{Q}_{ad} = 444 \text{ t.}}$$

étude des affouillements:

Nous supposons que la profondeur des affouillements peut atteindre la hauteur de la 1^{ère} couche soit 4 m.

effort de pointe:

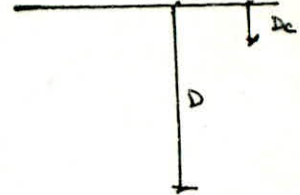
$$Q_p = \frac{\pi \phi^2}{4} (Nq \tan \delta' D + 1,3 C Nc) = 479 \text{ t.}$$

Effort de frottement lateral:

$$Q_f = \text{tsp.} \sin \delta' \cdot \gamma \cdot \frac{D^2}{2} \cdot \alpha + \text{tsp.} \sin \delta' \cdot c \cdot \text{cote} q \cdot q \cdot D \cdot q = 420 \text{ t}$$

$$Q_f + Q_p = 899 \text{ t.}$$

$$\text{portance admissible du pilier: } \bar{Q} = \frac{Q}{3} = 300 \text{ t.}$$



BIBLIOGRAPHIE

- Calcul des grillages de poutres et dalles orthotropes --- BARES-MASSONNET
- Cours pratique de béton précontraint Règles B.P.E.L ... G. DREUX
- Béton Précontraint ----- Y. GUYON.
- Projet de béton Précontraint ----- R. LACROIX et A. FUENTES
- Aide mémoire de Béton armé ----- V. DAVIDOVICI
- Cours de mécanique des sols ----- COSTET-SANGLERAT
- Cahier des prescriptions communes ----- Ministère des Travaux Publics
- APPuis des tabliers P.P 73 ----- SETRA.
- Calcul des ouvrages en béton armé suivant ----- P. CHARON.
- les règles B.A.E.L 80
- Conception et calcul du béton précontraint
(instruction provisoire II) 1973.
- Cours de poutres (réunion des ingénieurs édition 73)

